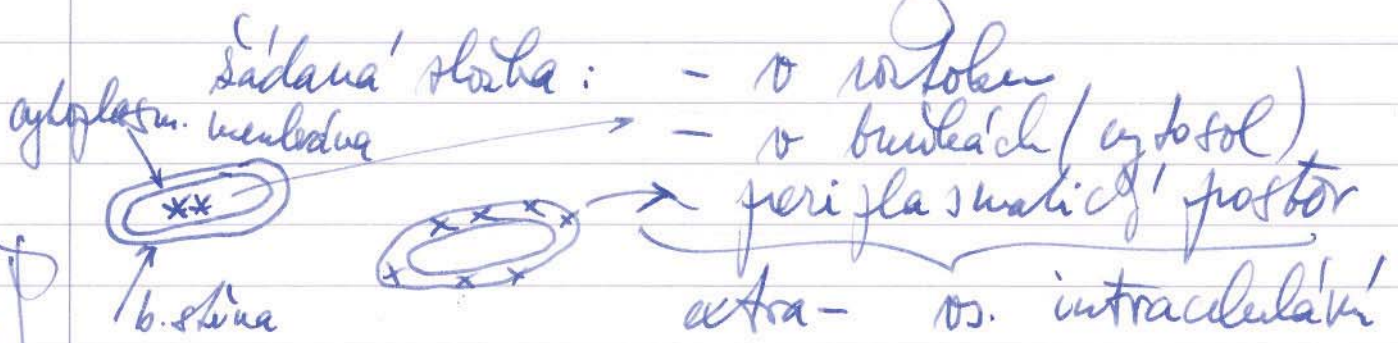


Specifické' nebo separační metody v biotechnologických

- metoda 'separaci' proces bývající v OTT-I a OTT-II (?)
 - extrakce, destilace, absorpcie, adsorpcie (?)
 - filtrace, membranová separace
- biotechnologie (fermentace, enzymatická vaření, rostlinné detektivní techniky, bb) produkující různou klasifikaci (komplexní) (obrovské množství) (až velmi komplikované) sadaná sladka



downstream proceses

výběr výrobků nebo funkční chemického skladu
a mechanického vlastnostech funkce a obal
(bakterie, houby, řasy, řasnice, bb., rostlinné bb.)

separace a purifikace produktu - výčerpavý
nebo mnoha stupňový proces

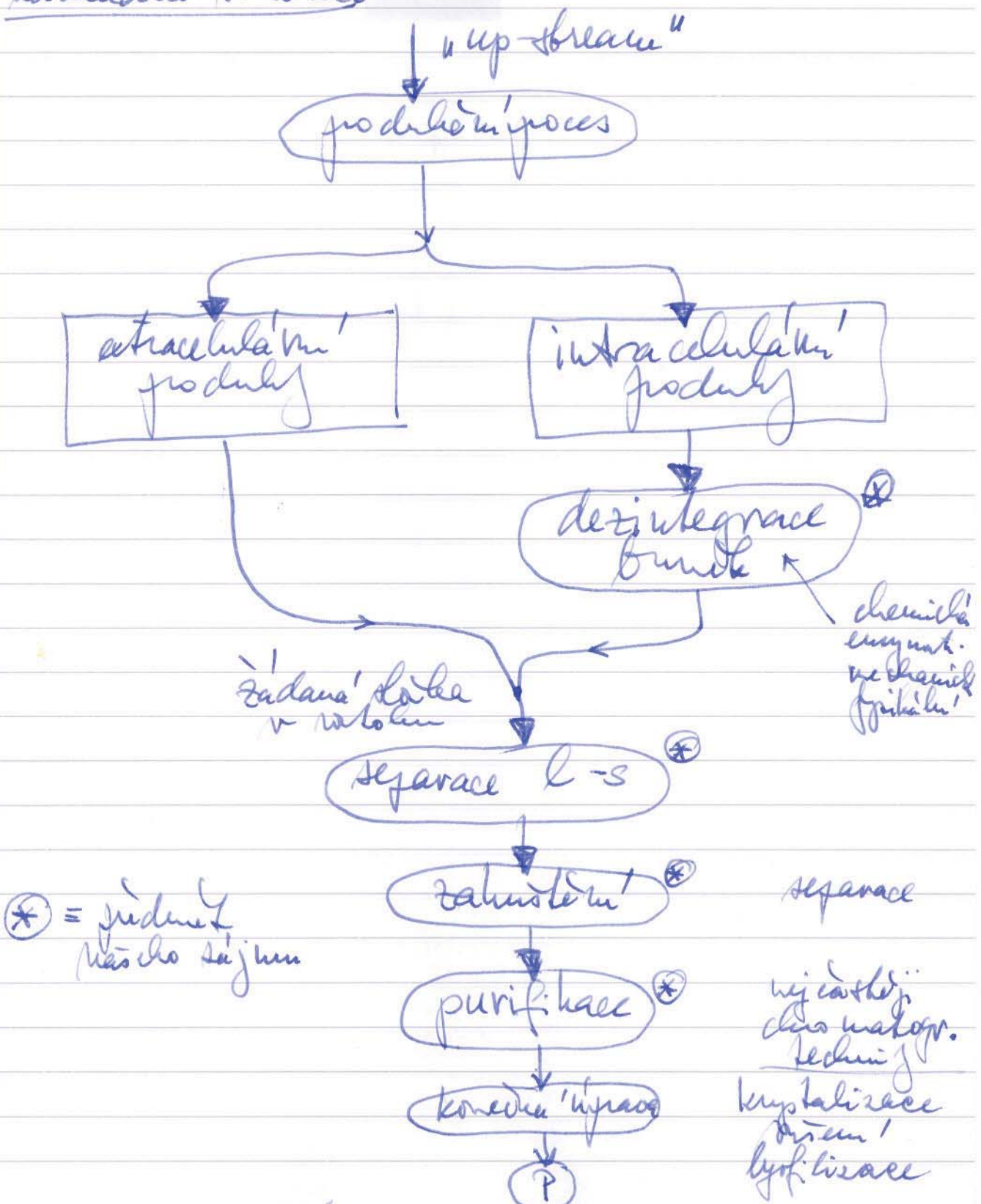
oddelení se suroviny

bezplatného
několika typů materiálů

odstranění mikrobiální
filtrací

- existují některé techniky používané pro segregaci a funkcionální výběrovost logických molekul podle jejich oboru aplikace, jiné pro specifické.

založený schéma:



(3.)

Základní klasifikace biologických produktů

- ha sa'hlade' velikosti ca'šic
(\Rightarrow mnoho dalších klasif. a spisobů)!

biol. produkt	pr.	MW (Da)	Výměrka ca'sice
"male" molekuly"	aniony aminoacyl. titaničky org. kysidlo	200 - 600 60 - 200 300 - 600 30 - 300	0,5 nm 0,5 nm 1-2 nm 0,5 nm
"velké" molekuly"	proteiny polysacharidy makromolekul.	10^3 - 10^6 10^4 - 10^7 10^3 - 10^{10}	3-10 nm 4-20 nm 2-10 ³ nm
"ca'sice"	ribosomy viry bakterie organely kvásinky zivočišné bb.		25 nm 100 nm 1 μm 1 μm 4 μm 10 μm

- ### Specifické / problematické mytí:
- inkluze nae biol. produktů
 - (stála schůdková možnost! \rightarrow proteiny)
 - velmi velké koncentrace
 - velmi "vodotíp" silně půsí
 - zádva využití mytí, případně díky

fermenta!

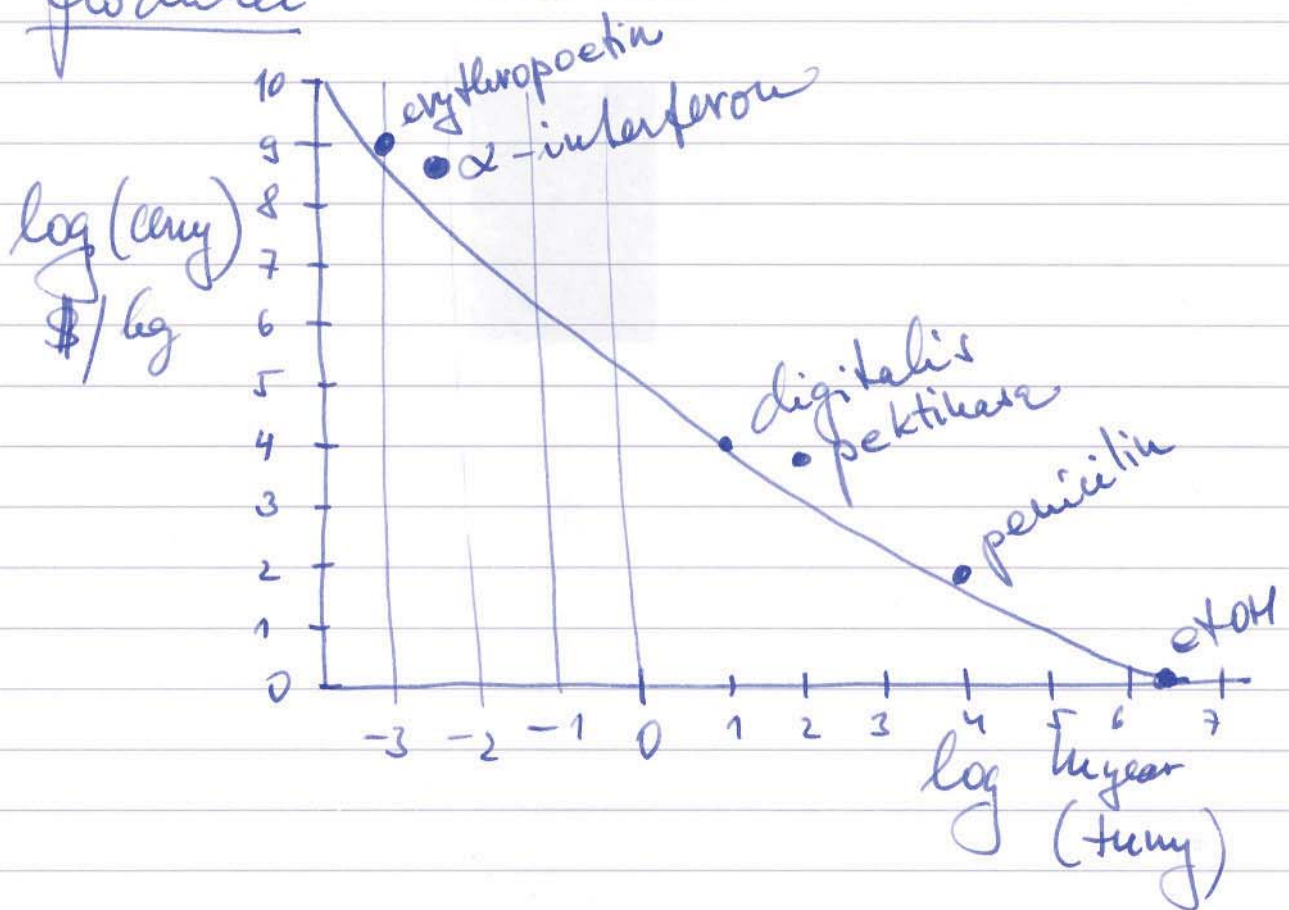
pH

chemická

nukleováda!

(4)

Vzťah mezi celou produkciou a výrobnou
produkce



konzentrácia produktu v „pravike“

produkt	g/dm ³
antibiotika	10 - 30
puszta	2 - 5
ethanol	70 - 120
lipidy	10 - 30
org. kyseliny	40 - 100
riboflavine	10 - 15
vitamin B12	0,02

: log \$

ekonomická výroba
 jake / čistotadl /
 purifikacii / metody užívania

log C₀

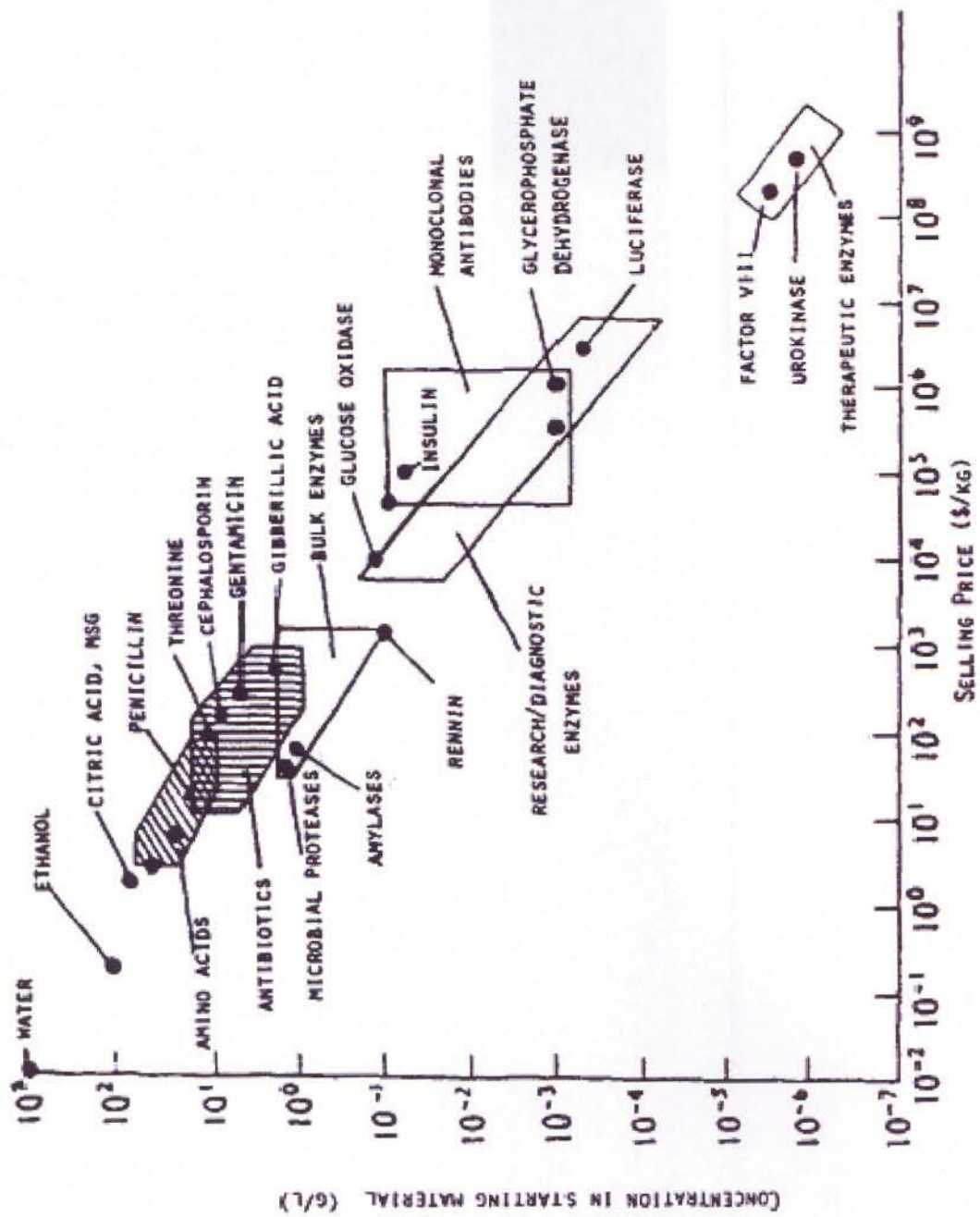
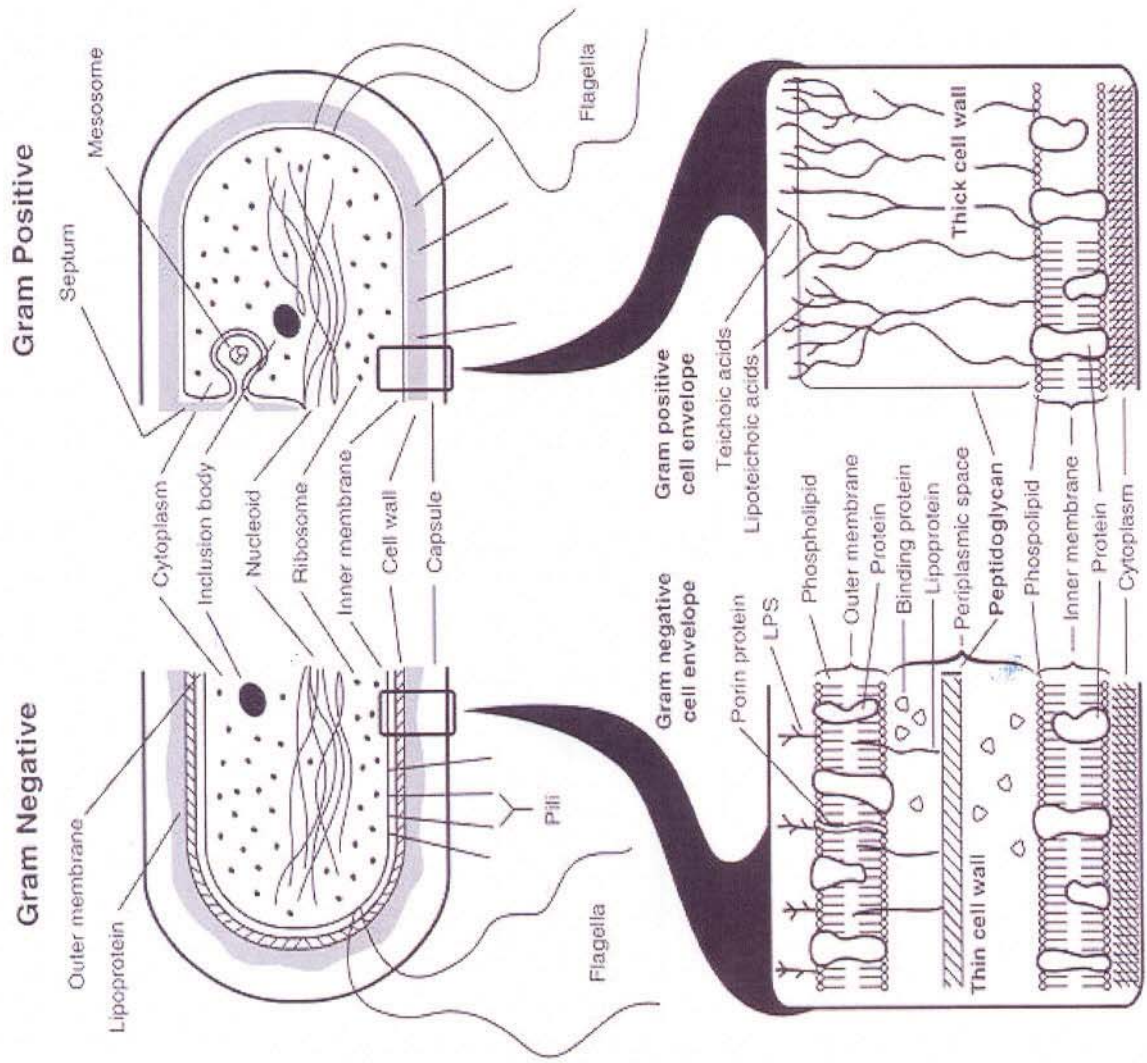


Figure 1.32. Relation between starting product concentration and final selling price of prepared product (Reference 61).

What are we disrupting?



Dezintegrace buňek:

- mrtvou buňkou spolu s mrtvou bb. + sloučením buněkých obalů



- Glu+ bálkové:

- mají silnou bb. stenu ($0,02 - 0,04 \mu\text{m}$): peptidoglykan + polysacharidy + kys. teichoické
- mají fosfolipidickou membránou membránu

- Glu- bálkové:

- menší hustota bb. než Glu+
- tenha peptidoglykanová vrstva / stena
- mají klasickou, resp. membránu
- mají malou, menší obalovou, než Glu+
- chemický rizice resistenter, než Glu+

- Kvasinky a plísne:

kvasinky: 2-20 μm, sférické - elipsoidální
plísne: vláknité

kvas. i plísne: velmi silná bb. stena
obsahuje (typick) = polysacharidy
(glukan, mannan, chitin)

plasmatická membrána: fosfolipidická

- Živočišné buňky:

menší bb. stena \Rightarrow mají jenou membránu
 \Rightarrow jsou velmi krčké

Roslinine' belyky:

- velke' ramey'
- zilka'a odolna' flera / celulosa
- oblik'e se desinbegruji',
- rostlinne' bb a thakso yich kultur jen
velke' odcine' her bb a rostlin

Metody pro dezintegraci bb:

Mechaniche'

- kuličeve' / perlve' belyky
- koloiden belyky
- haloz' / homogenizacii
- ultrasvuk'

ryzivaj' + trizne' na-
peh' (sly) pisoh'ci'
to la farline

nebo heci' sly messi'
ferry' mi ca'shi e hei'

chemicke' / fysicke' - de- mische'

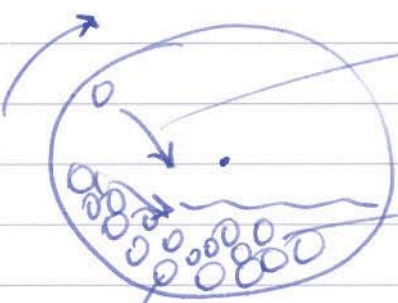
- zmražovani' / halni'
- dehydratace bb. (?)
- org. rozpouštadla, de-
- fagenty, alkaliche',
pohledi', modovina
- dusivatice' (+ faz) (+)
- ozonatice'

namen' * bey
a membrana'

desinbegraditeli metod je mnohoes ⇒
vyber?

- plastnost' bb
 - stabilita produktu
 - veklost' prosteu
 - DNA
-

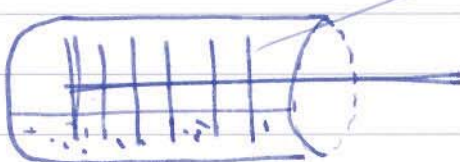
Kultivore' my/my



impact
tear

\Rightarrow chlasem'

0.2-1mm schleuder' balotina
30-60% kon. bb v. partie
1500-2000 r.p.m. (?)

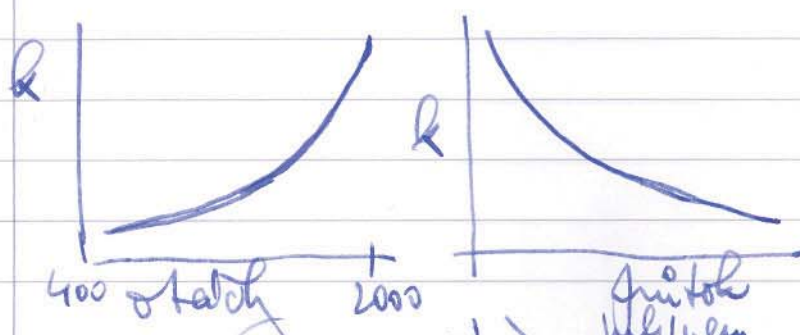


logistik/disk

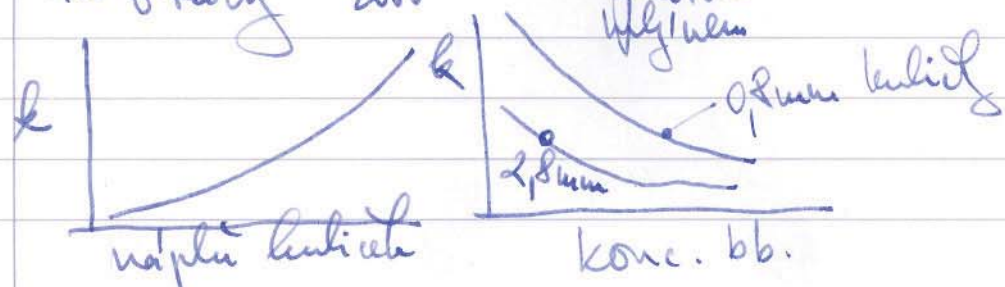
Wool's ván' produktu („release“)

kinetika 1. rádu

$$\ln \frac{R_m}{R_m - R} = k t \rightarrow \%$$



kinetická korov.
(rychlosť okádnu),
konc. bb., pri-
mer cistic, kundr,
cistic, tylota ...)



F

$$\frac{R_m}{R_m - R} = e^{ht}$$

$$\frac{R_m - R}{R_m} = e^{-ht}$$

$$1 - \frac{R}{R_m} = e^{-ht}$$

$$\frac{R}{R_m} = 1 - e^{-ht}$$



- popis procesu s libedivou způsobem energie
(empirickým) Rittigera

$$\frac{dE}{dL} = -CL^P \leftarrow \text{"rad" procesu (temperatura, veličina)}$$

charakteristickým vlivem
konečného materiálu

provoz se pro popis
tvaru ještě lehčí

konstanta
uvedeností (popisu vlastností materiálu (drzeviny))
a kde sahají parametry už (um)

je dle!

pro $P = -2$:

$$E = C \left(\frac{1}{L_2} - \frac{1}{L_1} \right)$$

• Rittigerovo, "záhon"

konečný, počáteční vliv
→ praktická rovba (?) distribuce
zdroje

pro $P = -1$:

$$E = C \ln \frac{L_1}{L_2}$$

• Kickov záhon

pro $P = -3/2$:

$$E = \alpha C \sqrt{\frac{1}{L_2}} \left(1 - \frac{1}{\sqrt{q}} \right)$$

• Boudivo záhon

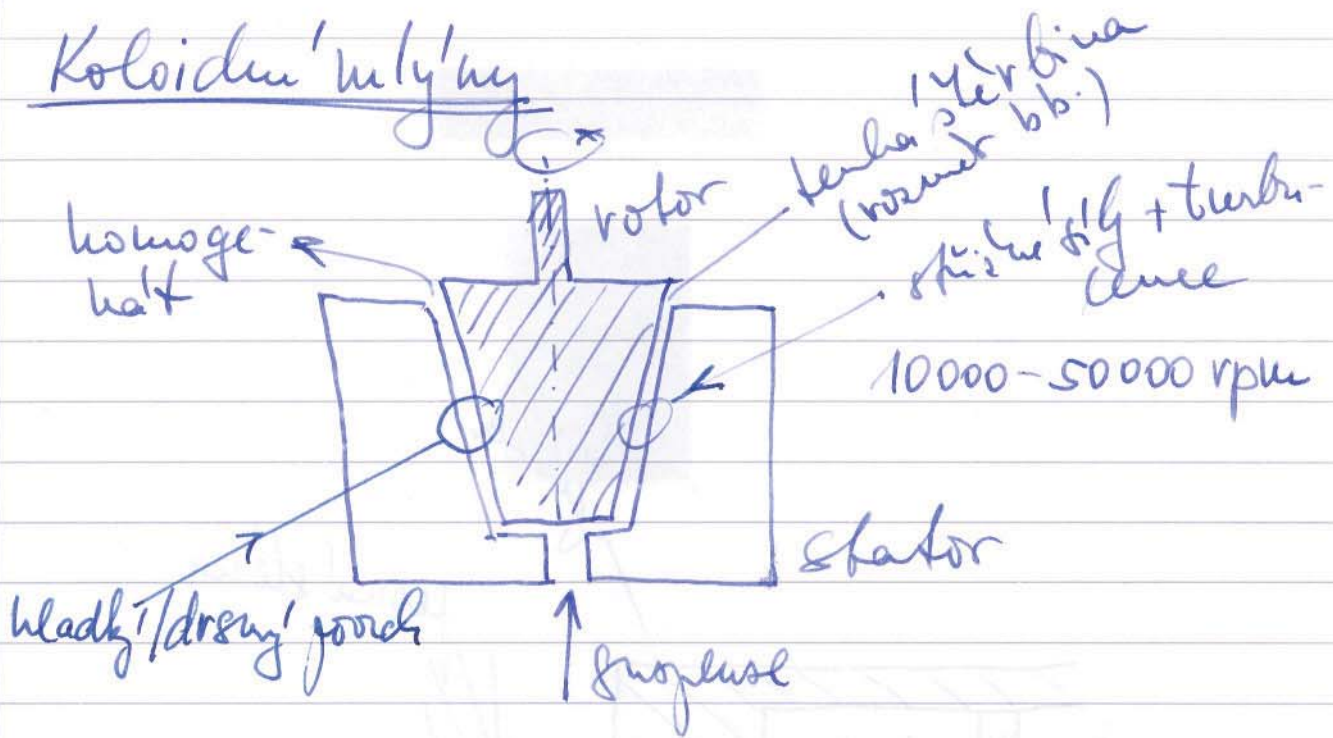
$$q = \frac{L_1}{L_2}$$

konstanta C se mení empiricky, obykle
je dána stručně

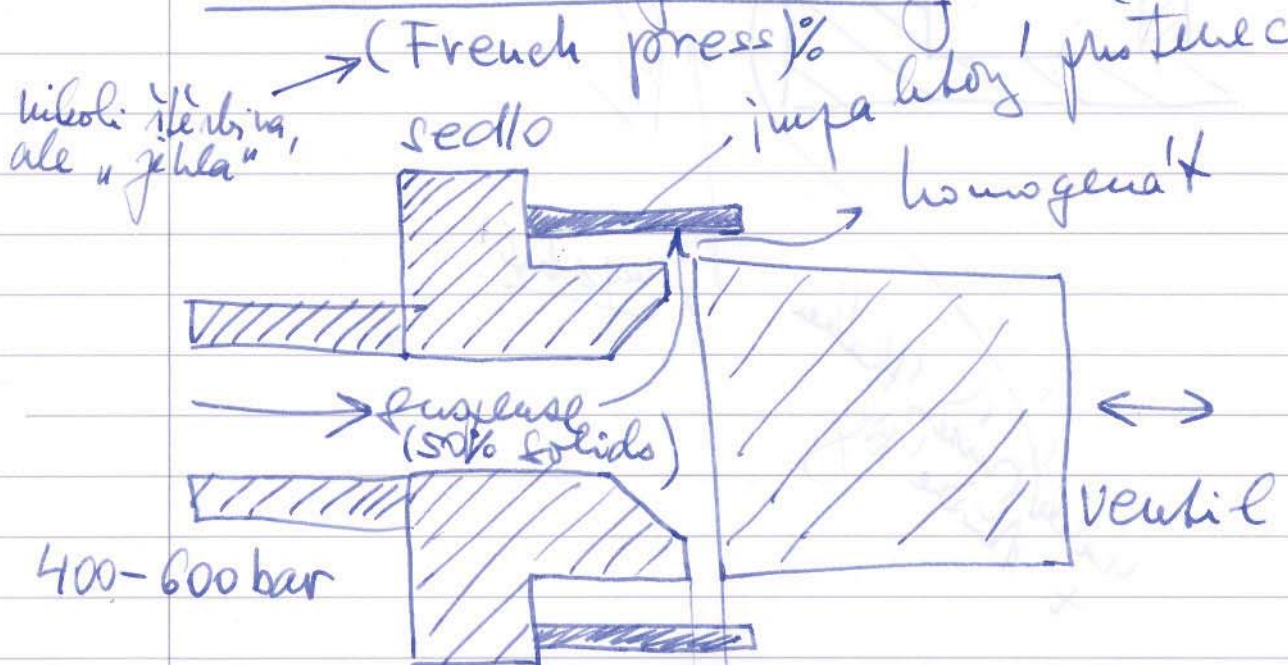
$$C = K_f f_c \leftarrow \begin{array}{l} \text{odolnost materiálu} \\ \uparrow \end{array}$$

Rittigera, Kickova už
Boudova konstanta

Koloidem'uly'ny



Hlakové homogenizá'tory : (Fiatton-Gauvin)

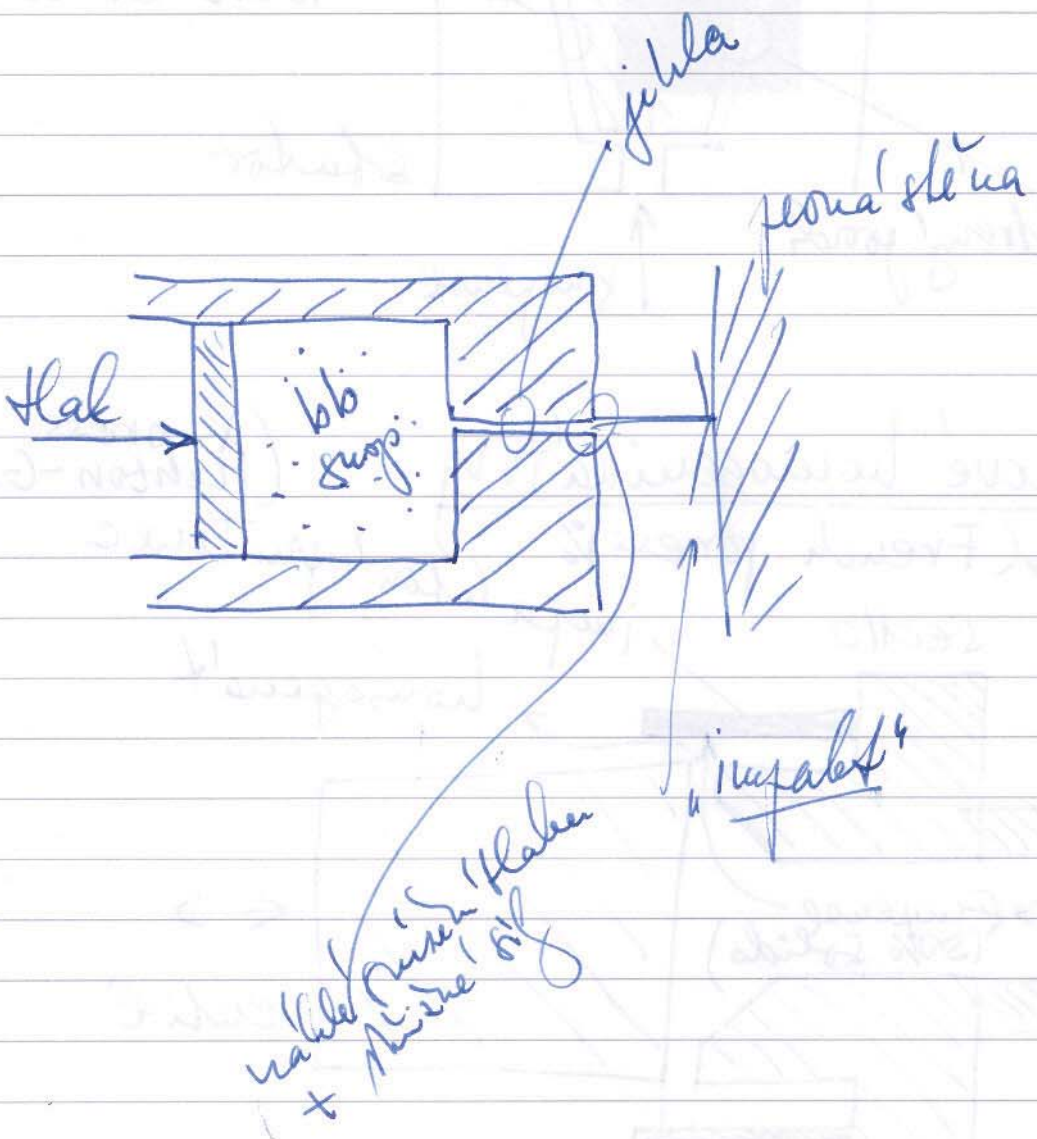


→ ← Hrachka řeříví !

mechanismus: řezání říž ve řeřívě
+ náraz říž na píslenec
+ kavitace (?)

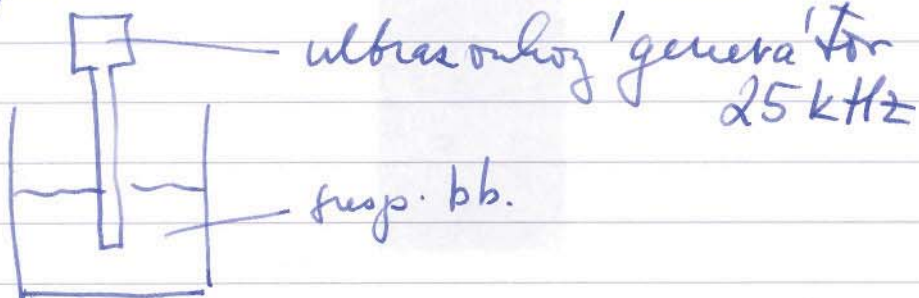
$$\frac{R_m - R}{R_m - R} = \frac{R_m P}{R_m P + R_{\text{rest}}} \rightarrow \text{pracovní říž}$$

↓ říž se vrací do řeřív



Ultrazvuková desintegrace

- "grise" laboratorní metoda



- hřív! sily (flak. vlny) + kavitace
- vysází vysokou 'kmitací' energie
- občas vypadá
- alik?!

bahání: 30-60 sec

kvašení: 2-10 minut

obvykle se doplňuje některým chemickým
reaktorem (plastidem nebo org. rozpouštědlem)

Zmražování/bašení

- zimá dave směr ohřevu může být s vedením
tepla mimo plánku rostovat. hydraulický

Osmotrichy! zde: při výrobení fréz do
rostování je zdeho ho dostat otrv. fla-
du (do vody?) může opotřebit jejich
práškování!

$$\pi = RTC$$

frézovací membrán, pás
secijská měřítka, \equiv pře-
plochnutí otrvaticího
membranu

+ detergent, Span...
Tweez, 11.

Organicha' wipous' kida acetone
 - jin' davele tolueum, DMSO atp.
 k suspensi bb huic rest ke posko-
 zem' bb membranu (izomikase)

Enzyme' method doba jisoben'?
 ↓ pH Pyrolyse
 lysozym - enzymatiche' menidu
 bb hlyz

E.C. 3.2.1.17 : katalyzuje lydolyzén
 1,4-β-nukleotidu hlyz. N-acetylneuramino-
 novon a N-acetyl-β-glukoamino-
 vini styl v peptido glykane

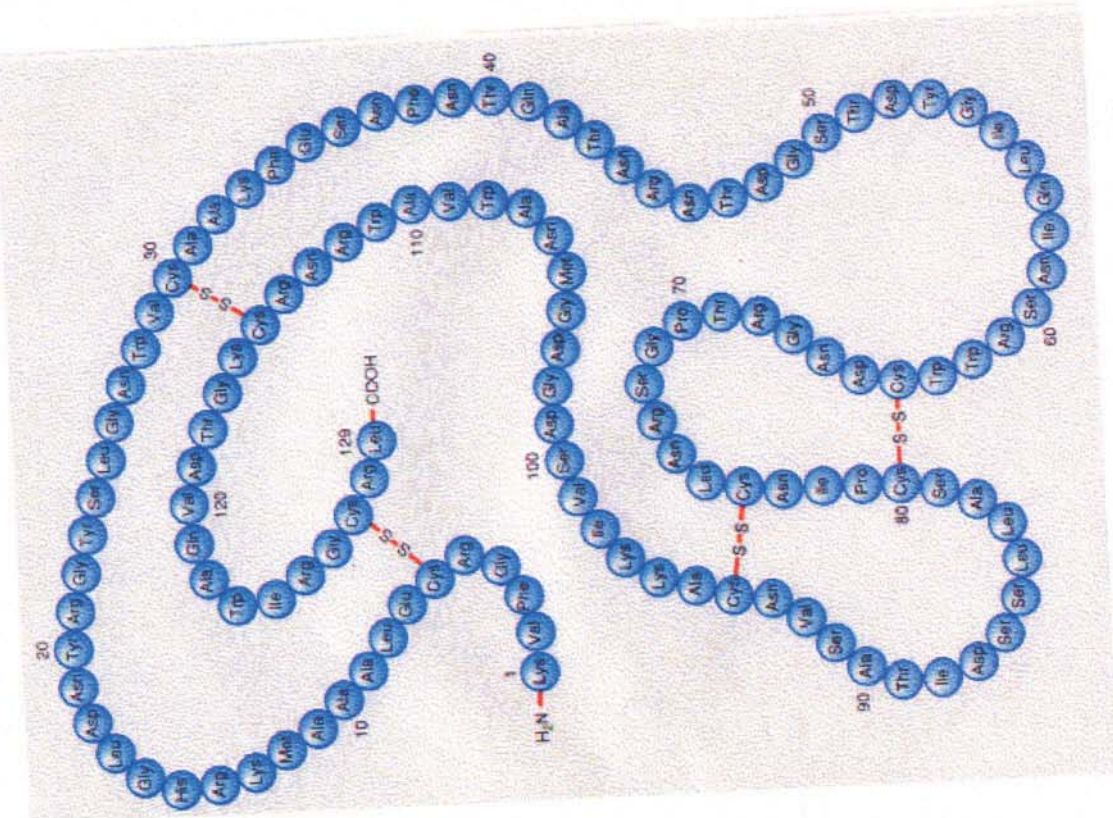
- je obasen' ve rejtene' u b'luu a s'bad
 a v jolaach disnic
- enzymy 2 hlyz'du konverziv
 dosugus'

lysozym, lysostafin, synolasa, cellulaz, karta-
 bolegin, glikozid, proteaz

- enzymova lyse ly'va b'lotiv reproducens-
 bakteria, resp. prokariota na jin' bb.
- sondejne' nevlosdena' jis belke' objevy
 (mikrofliud) - homogenita
- lse jin' pravil protoplasty

Mikrofliuden' san'zeu' :

- kana' chen jidodi' susense bruk,
 hlyz' jid. hlyz' sustava, ledu,



Physiology

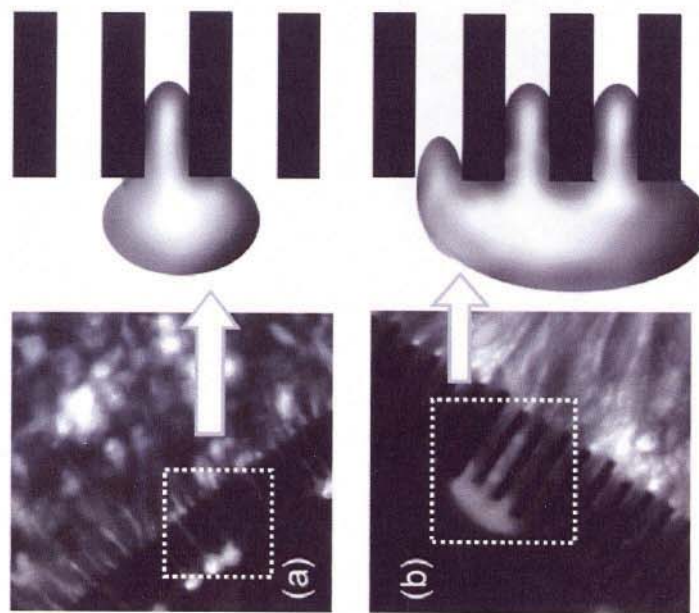


Fig. 4 Fluorescent pictures of two mechanisms of mechanical lysis at the nanostructured filter are shown and schematic drawings of these mechanisms are presented. Flow is from left to right. Cellular debris is visible fluorescing in the post-filter space. Single protrusions (a) and multiple protrusions (b) are observed repeatedly and representative pictures are shown here.

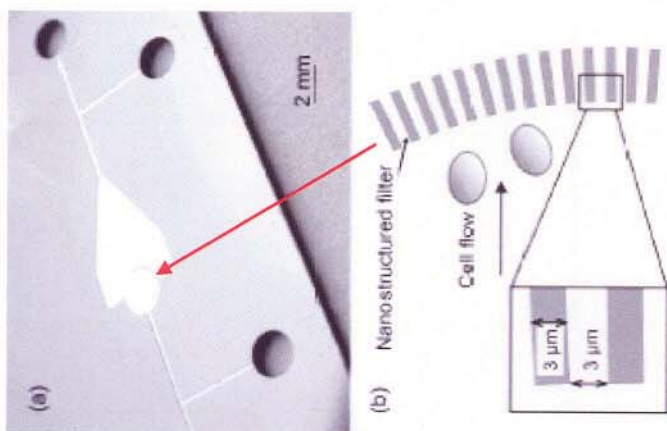
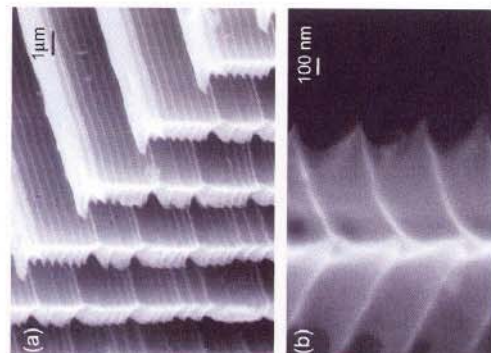


Fig. 5 (a) The nanostructured mechanical filter is shown in a photograph. (b) A schematic is shown of the mechanical lysis position of the device. The array consists of a semi-circular array of nano-ridges.

288 *Lab Chip* (2003), 3, 287–291

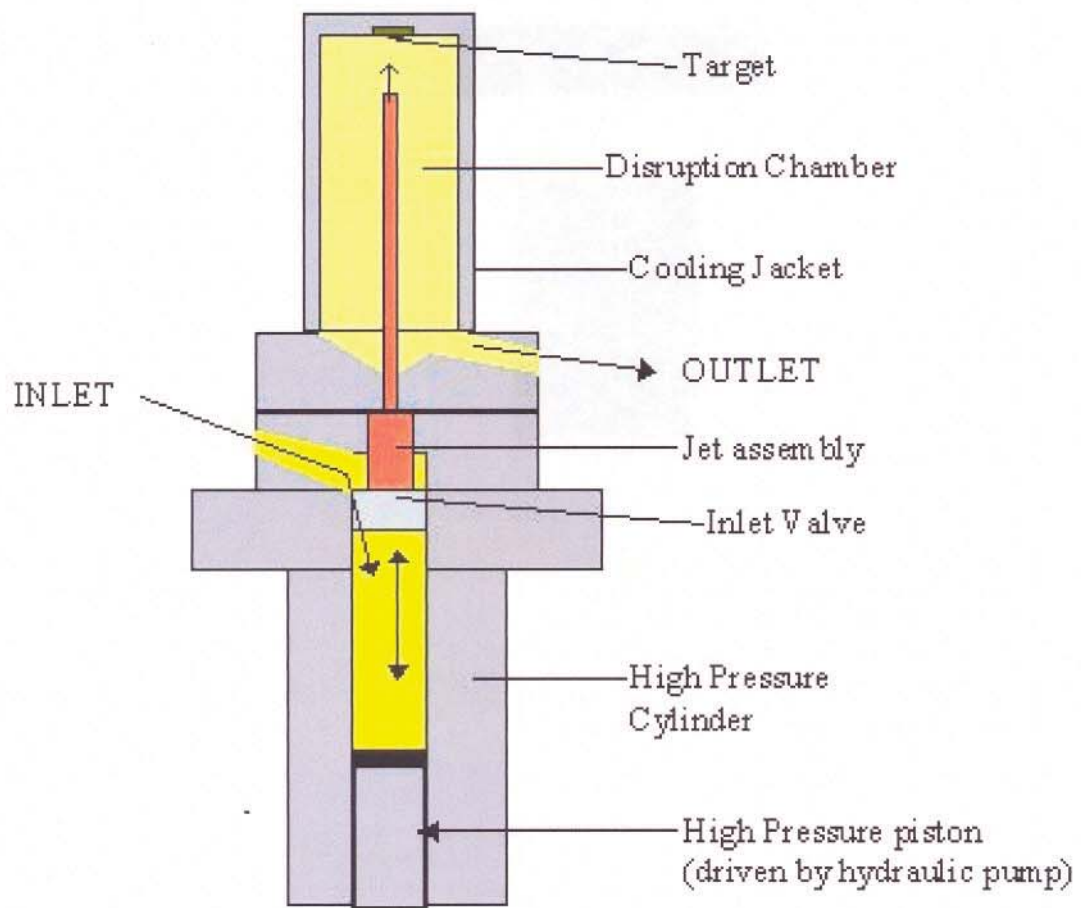
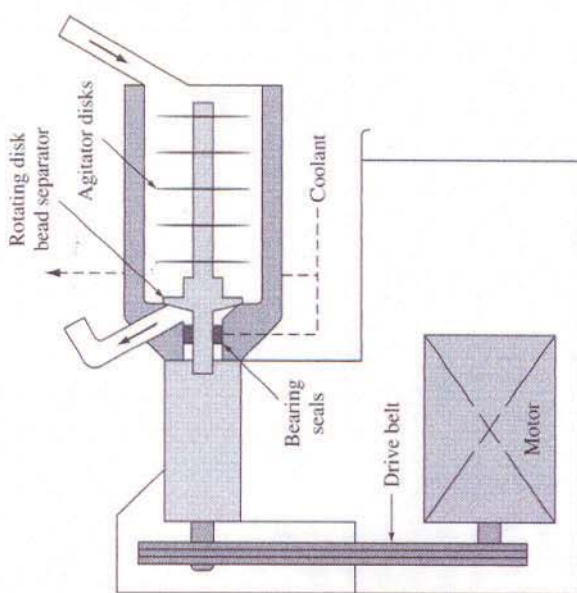


Figure 3.7 Schematic diagram of a typical bead mill, showing rotating agitator disks, sample inlet and outlet above the chamber, and rotating disk for the retention of beads.



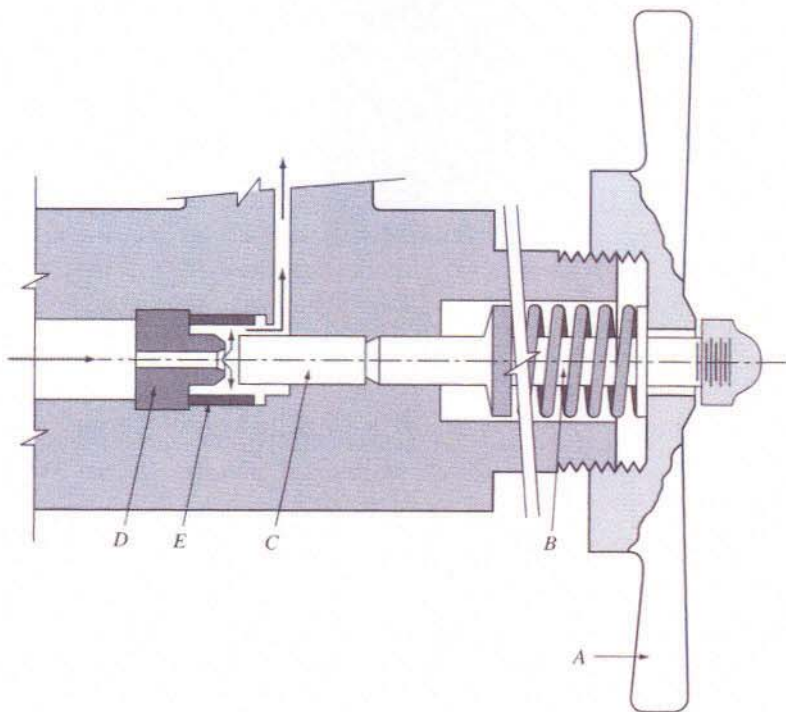


Figure 3.5 Details of a high pressure (Manton–Gaulin) homogenizer valve: A, handwheel for adjusting pressure; B, spring-driven valve rod; C, valve (see Figure 3.6); D valve seat (also see Fig. 3.6); and E, impact ring of hard material. The ring E is sometimes eroded by the impact of cells and debris, which can be abrasive. (Schematic based on a design by Manton–Gaulin APV.)

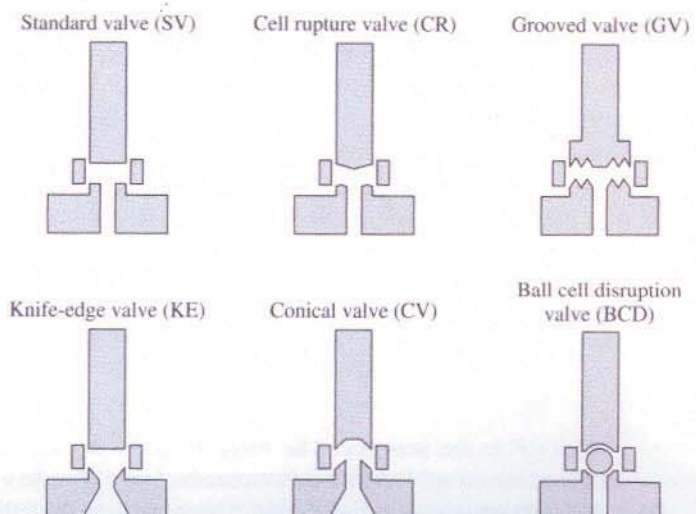
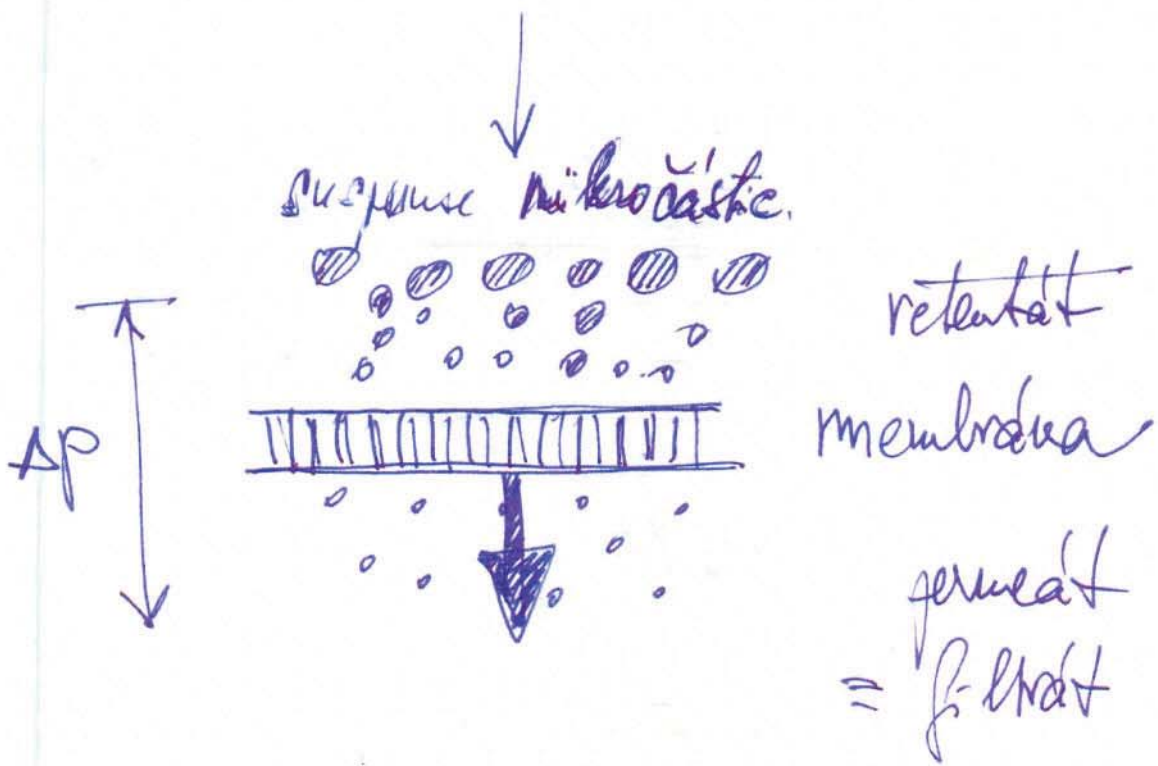


Figure 3.6 Configurations of high pressure homogenizer valves used in Manton–Gaulin homogenizers (Figure 3.5).

(20a)

mono - nebo polydispersní



Ilustrační obrázek k str. 21

(21.)

Mikrofiltrace, ultrafiltrace, nanofiltrace

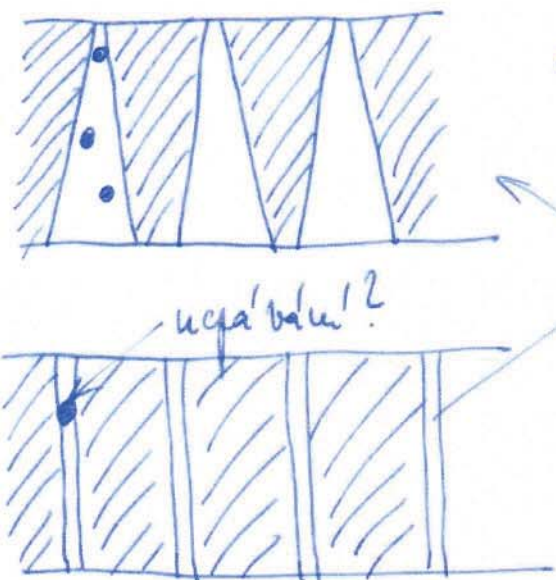
- pro separaci čistic náplň, rozměr nm
 (funkce membrány: cátice, makro-
 až makromolekulární látka)
 → rozdíl mezi mikrofiltrací
 a nanofiltrací je výška filtračních
 poré sítí ve srovnání!

- velkost porí ještě odpovídá veli-
 nosti molekul čistic:

mikrofiltrace: čistic $0,01\text{ }\mu\text{m} \div 10\text{ }\mu\text{m}$

ultrafiltrace: makromolekulární látka
 (pro teiny, NK...)

nanofiltrace: mikromolekulární iony
 $(\text{Na}^+ \sim \text{Ca}^{2+}) \dots$



asymetrická folie /
 kůže brána (schéma)

jazyk < zoubek /
 lineární /
 relativní

symetrická membrana
 (schéma)

► aplikace / formy membrán

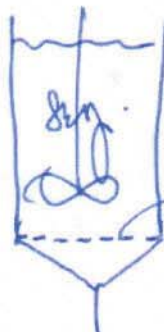
membrány jsou (nejčastěji) kružnice v podobě
ftr. membránových modelů
kompaktních jednotek, které obaly jsou lemo-
vou plstí membrán i další potřebné
prostředky (soluční, oslovací), diskerní vlny,
načež, se řídí \Rightarrow quadrat/
kružnice, kružnice, pojivování
modelů.

- modely:

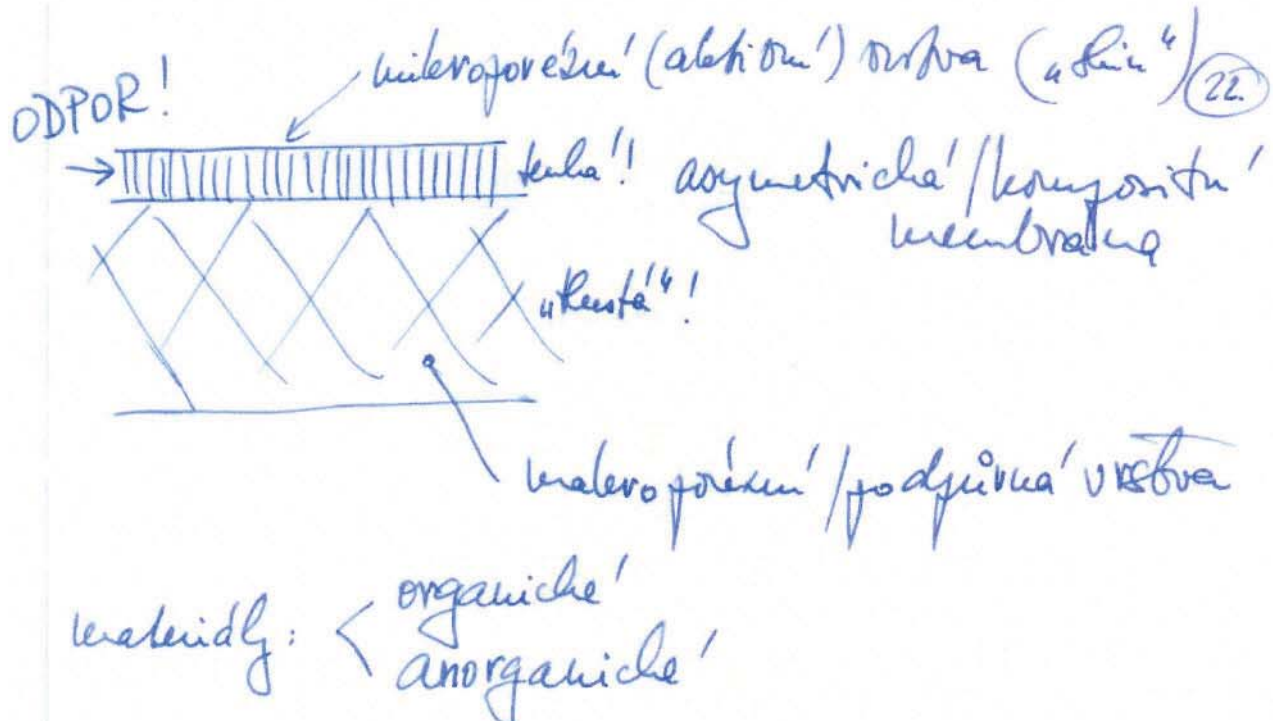
- i) s plochými membránami
- ii) s tiskacími / spirálovými
membránami



- iii) s hubkovými membránami
(dutá membrána)

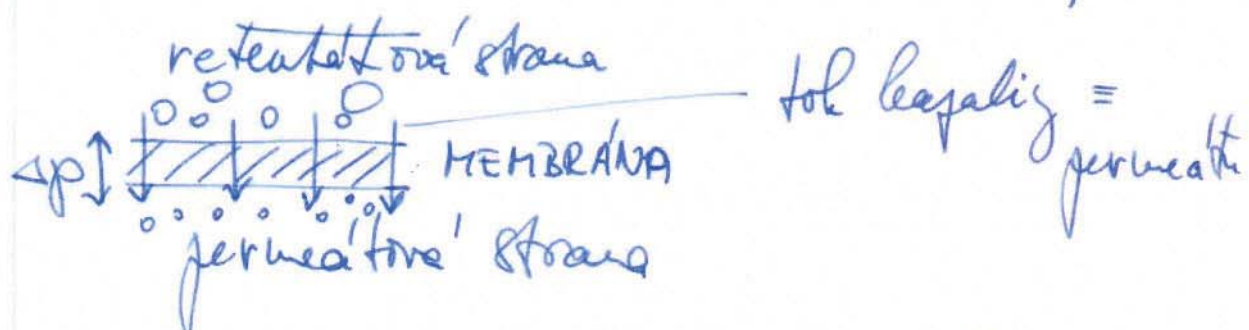


příčná vana / filtrační celo
(ploché membrány)



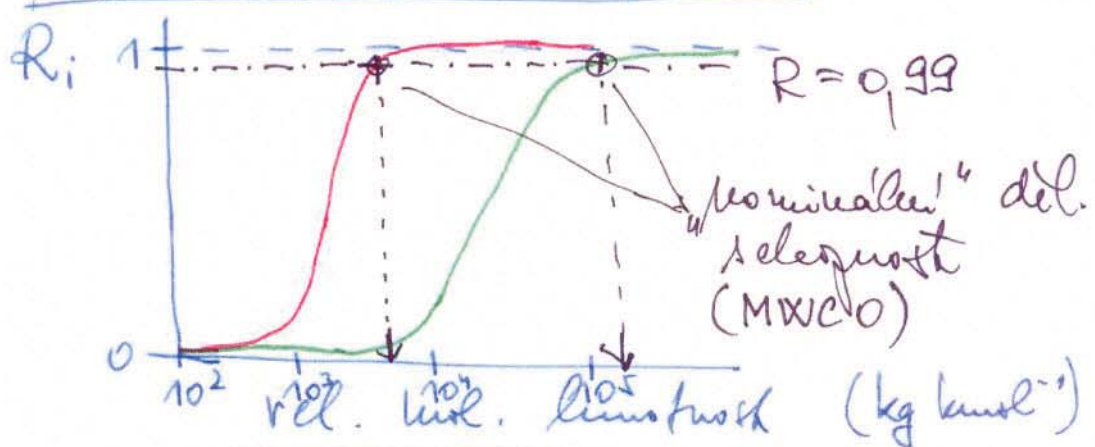
separácia / selektivitať membrány:

rejščekový faktor: $R_i = 1 - \frac{C_{i, \text{psm}}}{C_{i, \text{rsm}}}$



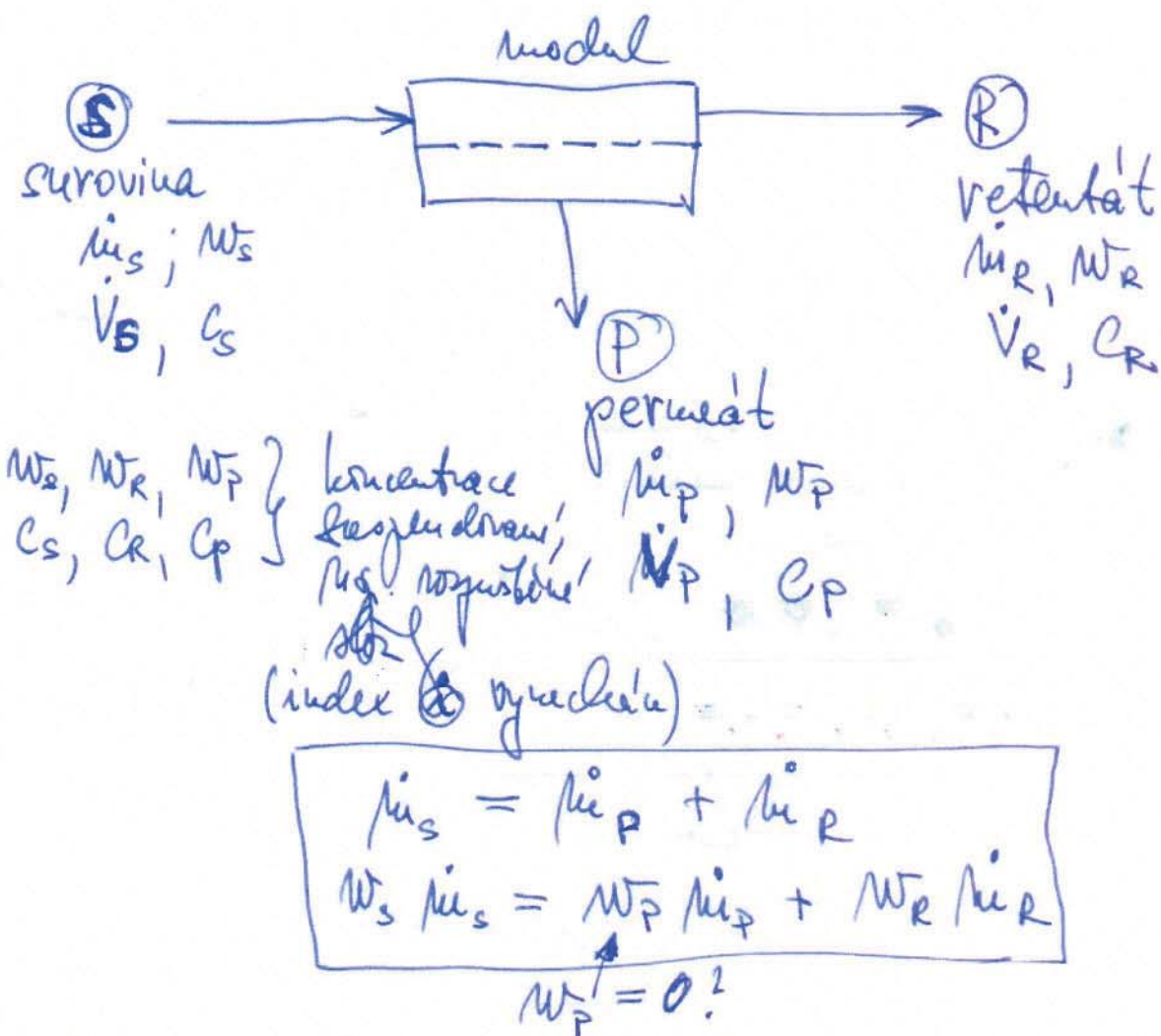
ideálne: $C_{i, \text{psm}} = 0 \Rightarrow R_i = 1$

Podnáha R_i závisí na veľkosťi čašic
= na koláčku / hmotnosti



22a

bilancio value membrane' filtre



• Zaborecentroval:

$$\frac{W_R}{N_o} > 1 \quad \text{für mikrofiltration}$$

bilancio'ln!
objekt
a. latk. m.
(ultra-
a nano-f)
releventi
faktor: $R = 1 - \frac{C_P}{C_R}$

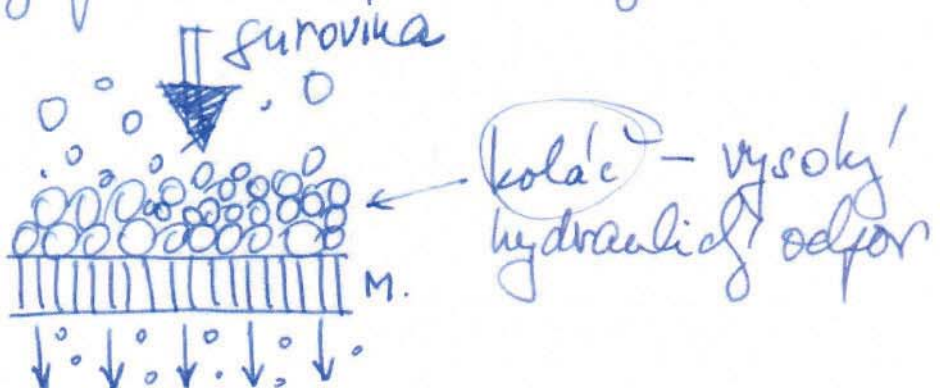
$$V_s = V_p + V_R$$

$$C_s V_s = C_p V_p + C_R V_R$$

(23.)

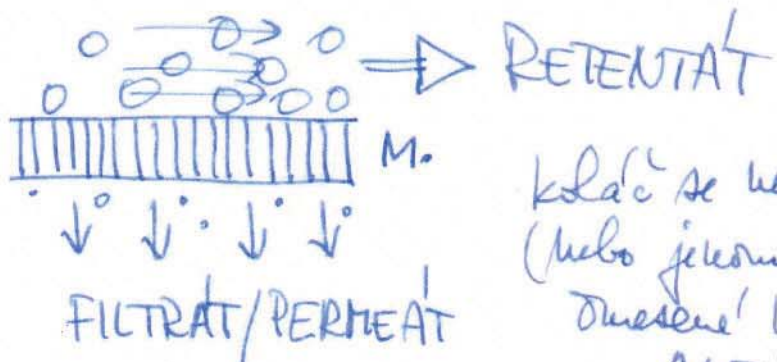
dva principy provedení 'membranových
filtrací':

► bez odstoku
retentátu



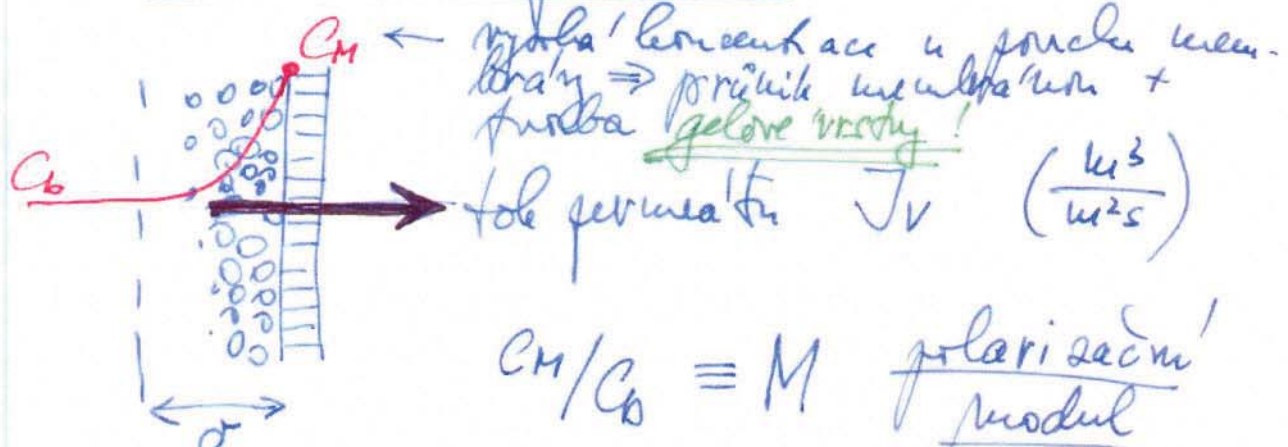
(analogické 'kolačové' filtrace -
- viz OH-I)

SURVINA \Rightarrow
podél krychel
jednotek
bez retentátu



kolač se netraví
(nebo jeho v
družené lze)
ALE!

Koncentrační polarizace:



$$\frac{C_M}{C_b} = M \quad \text{polarizační modul}$$

$M \geq 1$ - vysoká turb-
lence !!!

(232)

$$J_V C - \left(-D \frac{dc}{dz} \right) = J_V C_p$$

po integraci a se pùd pochledn
 $C_p \rightarrow 0$:

$$M = \frac{C_M}{C_b} = \exp\left(\frac{-J_V}{h_c}\right)$$

strukturního pùslechu lze tedy mít
 jenom jednu reakci (plánovanou /
 určitou a následnou
 ($C_M, C_b, h_c \dots$ pro složení!))

$$h_c = \frac{D_i}{\sigma}$$

$$\Phi_h = \frac{h_c d_{eh}}{D}$$

divalentní / primární
 $(d_{eh} = d \rightarrow$ turbul.)
 $d_{eh} = 2h \rightarrow$ sterily

$$\Phi_h = 0,04 Re^{0,75} Sc^{0,333}$$

laminární

$$\Phi_h = 1,62 \left(Re Sc \frac{d_{eh}}{L} \right)^{1/3}$$

turbulentní

$$Re = \frac{d_{eh} \rho \cdot g}{\eta}$$

$$Sc = \frac{\gamma}{D} = \frac{M}{\rho D}$$

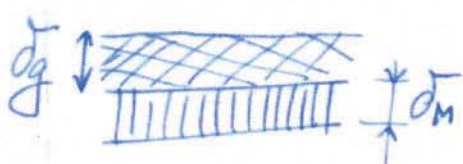
$$0,1 < Re Sc \frac{d_{eh}}{L} < 10^4$$

$$Re > 10^4$$

(24)

intenzita toku filtrační/permovační:

$$J_v = \frac{\Delta P}{\gamma_p R_c} \quad \text{osmotický tlak závisí na struktuře reťaze?}$$



hydraulický odpor
celkový

$$R_c = R_M + R_g = \frac{d_M}{P_M} + \frac{d_g}{P_g}$$

často: $R_M \ll R_g$

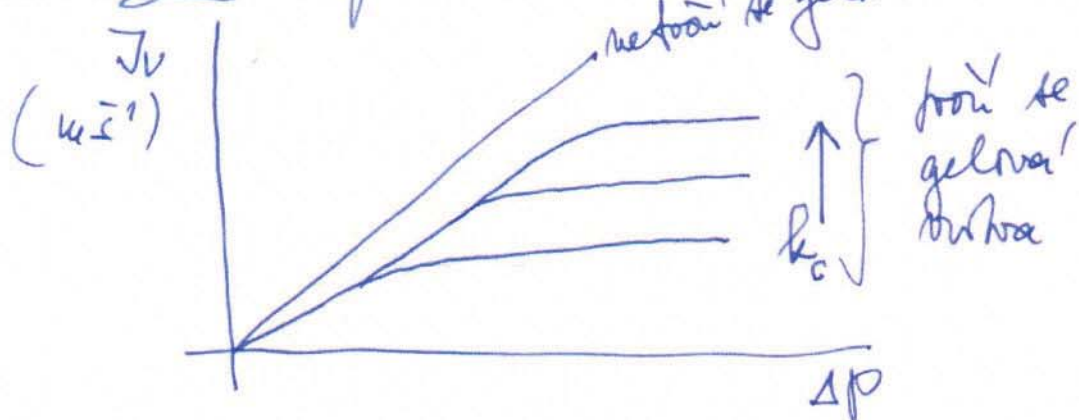
ve vodě s vložkou
bagážníku

bez vložky

netvoří-li se gelová vrstva:

$$J_v = \frac{\Delta P}{\gamma_p R_M} = \frac{\Delta P}{\gamma_p d_M}$$

- gelová vrstva velmi často vybavuje tlakové tlaky v lewošti! \Rightarrow dosudli se ΔP , odpor gelové vrstvy kroste \Rightarrow limita hodnoty intenzity toku permovační:



(25)

• faktura' velikost placky membrany:

$$A = \frac{\text{vel. formacie}}{\text{intensita filtre formacie}} \quad \begin{matrix} \leftarrow & \text{a bilance} \\ \rightarrow & \end{matrix}$$

! kompatibilite jednotek a line-
tice!
Rovnace

limitne' intenzita obj. filtre filtracie:

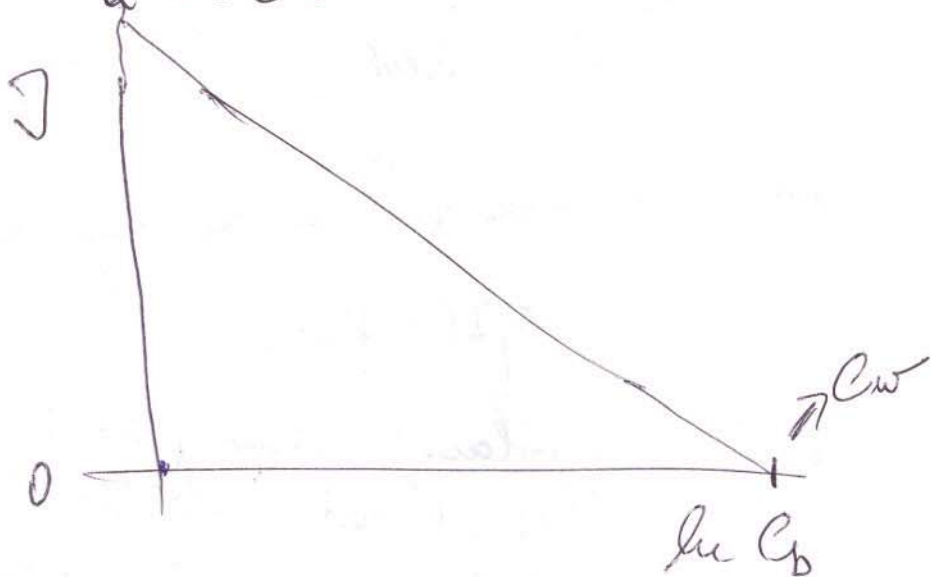
$$J_v^\infty = k_c \ln \frac{c_{i,\text{gel}}}{c_{i,\text{bulk}}}$$

$$\frac{C_w}{C_b} = \exp\left(\Im \frac{\sigma}{D}\right) = \exp\left(\frac{\sigma}{k}\right) \quad @$$

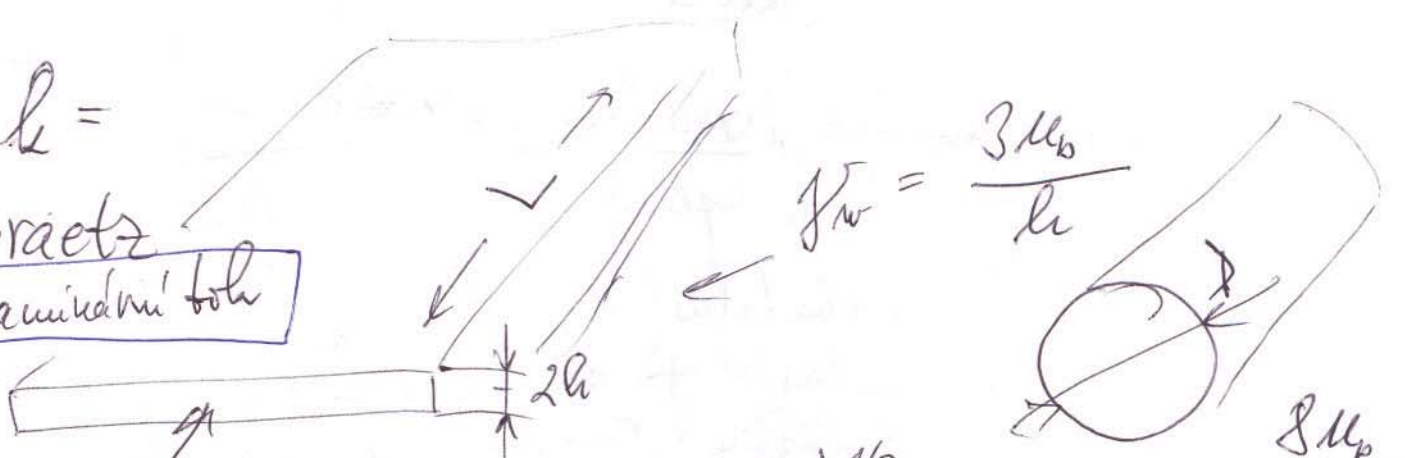
$$\ln \frac{C_w}{C_b} = \Im \frac{\sigma}{D} \quad k = \frac{\sigma}{D} !$$

$$\ln C_w - \ln C_b = \frac{\Im}{k} \quad \Im = k \ln \frac{C_w}{C_b}$$

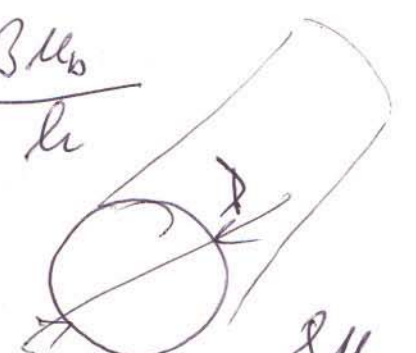
$$\Im = k \ln C_w - k \ln C_b$$



$k =$
Graetz
laminar flow



$$f_{w0} = \frac{3 \mu_0}{h}$$



$$\mu_0, \quad k = 0,816 \left(f_{w0} \frac{\sigma^2}{L} \right)^{1/3} \quad [**]$$

Reynolds number
in porous medium

$$f_{w0} = \frac{8 \mu_0}{\sigma}$$

(b1)!

po „velke“ ~~cástici~~ ($> \sim 1 \mu\text{m}$) již vlny formují
velký deševěný pro roztavení model

3 dle řeči:

a) difuze syrotanu! ~~plastické~~ ^{plastické} ^{obj. základ} (\rightarrow shear-induced diffusion)
cástice jsou udržovány společnou, vlnou vlny a
a polárovou My a kolidejí, s vlnou
vlnou \Rightarrow polyb analogy! difuzní
 $D_s = 0,3 f_w a^2$ jde o ^{obj. základ} ^{zátěž} ^{cástice} ^{zátěž} ^{cástice}
„shear-induced“ (plastické pro $0,2 < \phi < 0,45$)

pro laminární tok (po doševěném do (**)).
 $k = 0,366 f_w \left(\frac{a}{L}\right)^{1/3}$

Stále syrotanu! difuze dominoje pro
cástice o velikosti do $30 \div 40 \mu\text{m}$ ještě!
pro větší cástice bude mít zádruhy:

b) ~~hydrodynamické~~ ²⁾ inertní ~~zádrž~~ až (inert) ^l
zádrž se uplatňuje, když je méně!
představují velikost, kterou pro cástici!
(menší až $\frac{1}{2}$ oběžení, inertní, méně!
polyb cástice může od menších)

$$J = \frac{0,036}{\eta_0} \rho_0 a^3 f_w^2$$

für turbulenten Fall: hydraulisch' gerader

$$Sh = \frac{h D_h}{\delta} = f(Re, Sc, L/D_h)$$

$$Re = \frac{D_h \mu_b \rho}{\eta}$$

$$Sc = \frac{\eta}{\rho \delta}$$

$$D_h = 4 \frac{S}{\alpha}$$

$$Sh = 0,082 Re^{0,69} Sc^{0,33}$$

Pr.

Membra'n wort'sa'men' sien' b' odfrænde' en' hylde' molekula'mich' slægt' & vorboen' proli-
nu' k'ishan'leg' desig' begegn' frind', j'ndal'nu' gypu' a' cæt'edur' jumf'lee! Rost'li' frond'
træt'leu' ultra' ultra'dwer' plæten' s' on'h'-
lita' gru' mæta' 0,1 cm a' del'li' 100 cm.
Diffusi' n' ter' proli'nu' ~~vo'ro'pol'e~~ ma' ho' duf'
 $9 \times 10^7 \text{ cm}^2 \text{s}^{-1}$! Vist'no'fa vorboen' je' 1,2 cP a
husk'la' 1,1 g cm⁻³. Rost'li' frondi' sum' tu'
UF' plæten' ychlosh' 300 cm⁻⁵! Uvæte
hodnot' polarisat'ho' hu' dule' pro'frans-
nærlva' vog'li'ha' & L'it'be'ns'hi' 4,5 cm³ cm⁻⁴.

$$Re = \frac{D_h \cdot U_p \cdot \rho}{\eta} \Rightarrow \text{Wesen' Rechen f\"ur}$$

$$D_h = \text{gep\"undeter Platten} = 0,1 \times 10^{-2} = 1 \times 10^{-3} \text{ m}$$

$$\mu_p = 300 \text{ m} \cdot \text{s}^{-1} = 3 \text{ m} \cdot \text{s}^{-1}$$

$$\rho = 1,1 \text{ g cm}^{-3} = 1100 \text{ kg m}^{-3}$$

$$\eta = 1 \text{ d} \text{CP} = 0,0012 \text{ Pas}$$

$$Re = \frac{1 \cdot 10^{-3} \cdot 3 \cdot 1100}{0,0012} = 2750$$

$Re > 2000 \Rightarrow$ turbulent' f\"or!

$$Sc = \frac{\eta}{\rho D} = \frac{0,0012}{1100 \cdot 9 \cdot 10^{-11}} = 12121$$

$$Sh = 0,082 \cdot Re^{0,69} Sc^{0,33} = 0,082 \cdot 2750^{0,69} \cdot 12121^{0,33}$$

$$Sh = 431$$

$$k = Sh \frac{D}{D_h} = 431 \cdot \frac{9 \cdot 10^{-11}}{0,001} = 3,88 \cdot 10^{-5} \text{ m}^{-1}$$

$$M = \frac{C_v}{C_b} = \exp\left(\frac{-J}{k_e}\right) = \exp\left(\frac{45 \cdot 10^{-3}}{3600 \cdot 3,88 \cdot 10^{-5}}\right)$$

polarisativen
Modell

$$M = \exp(0,322) = \underline{\underline{1,38}}$$

transmembrane flux:

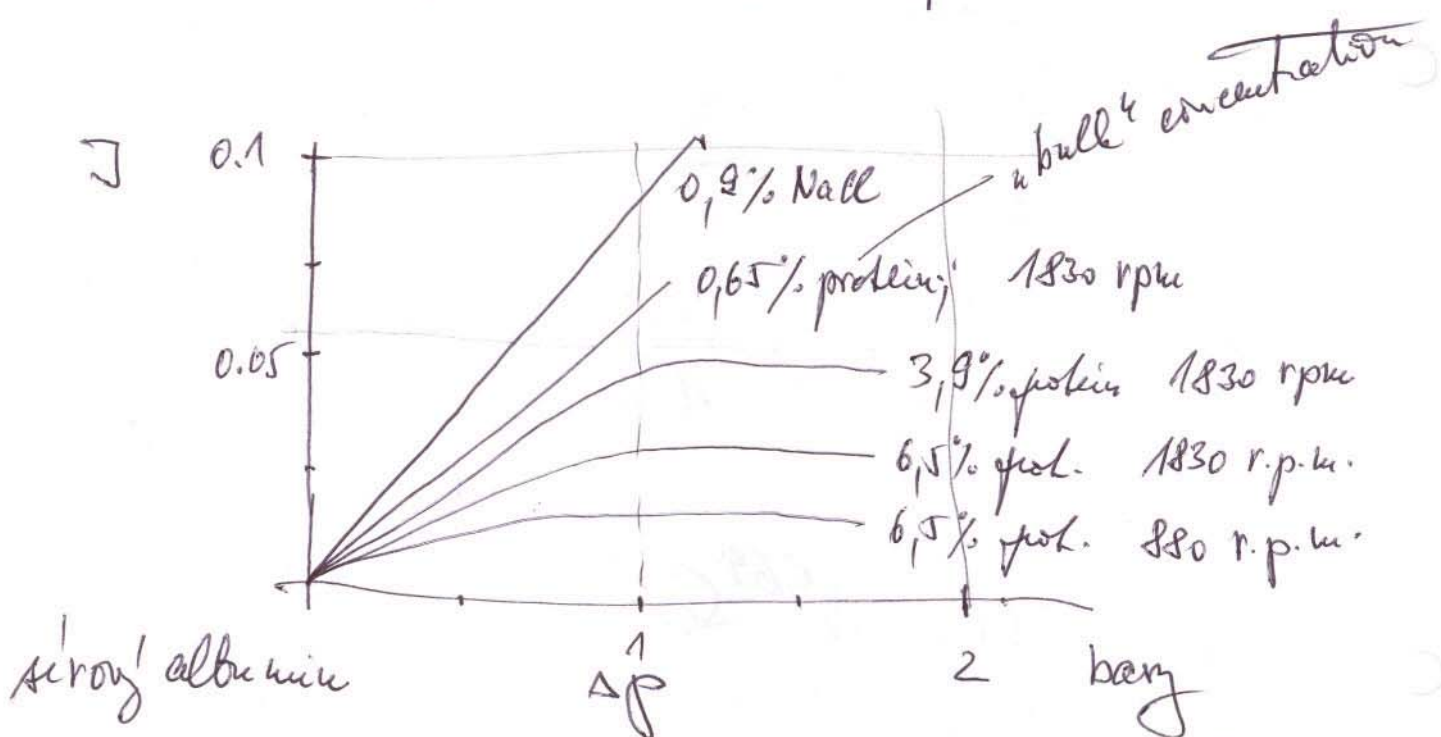
$$J = \frac{sp - \sigma \Delta \Pi}{\mu_0 (R_m + R_p)}$$

↑
concentration
↓ Nitroside permeator
(cytchrome)

↑
polarized nitro
↓
polarized' side

↑
polarized' side
↓
polarized' side

$$\Delta \Pi = RT C_w \quad (\text{from } 2 \rightarrow 1)$$



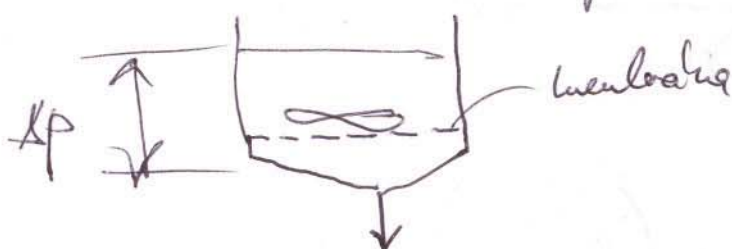
across albumin

ΔP

2

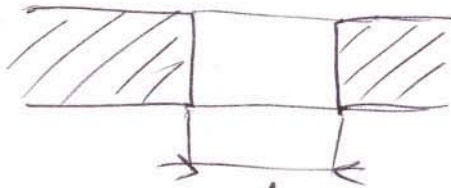
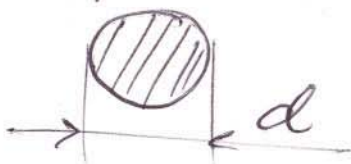
bar

ultraf. phase is from the same cell



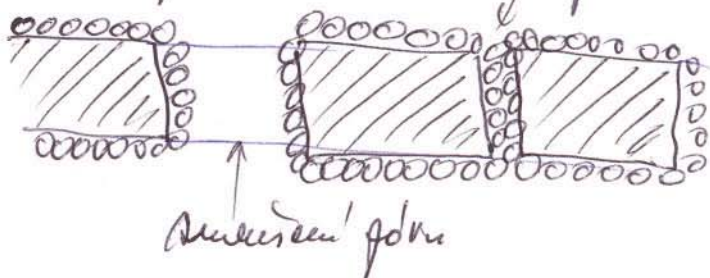
Zakasen' (*caja'va'm'*) bee molarie
(molarian foulness)

- milo' v d'ledelej' fai le len'z nubo f'z'ba'les' -
elemej'cl intervali' milo' parchece/ uablece le m
membra/ a plateau j'f'kay/ni or spraco za'ce -
n'c' grande
 - sauv'leu' membr' vede le follesz' interenf' folle
permeati' a n'c' le u'c' selektiv' reac'cio'
(permeabilit' membr') B) / milo' se por-
chore' plashwsh'
membr')
 - mej'ateli' f'c'k'or sauv'leu' reac'cio' j'or porf'c'
(filu' interagni' s' le'k'or milo' porf'c'! :)
 - adsorpc' protein' v'c' porf'c' M
 - de'pos'ce dat'li'ho protein' v'c' adsorbo'v'ce
protei'
 - abu'mlace v'c' d'ledelej' h'c' polai'ace
protein'



dp \leftarrow for v measurable

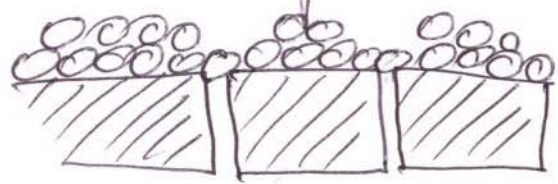
d < dp: \Rightarrow adsorber

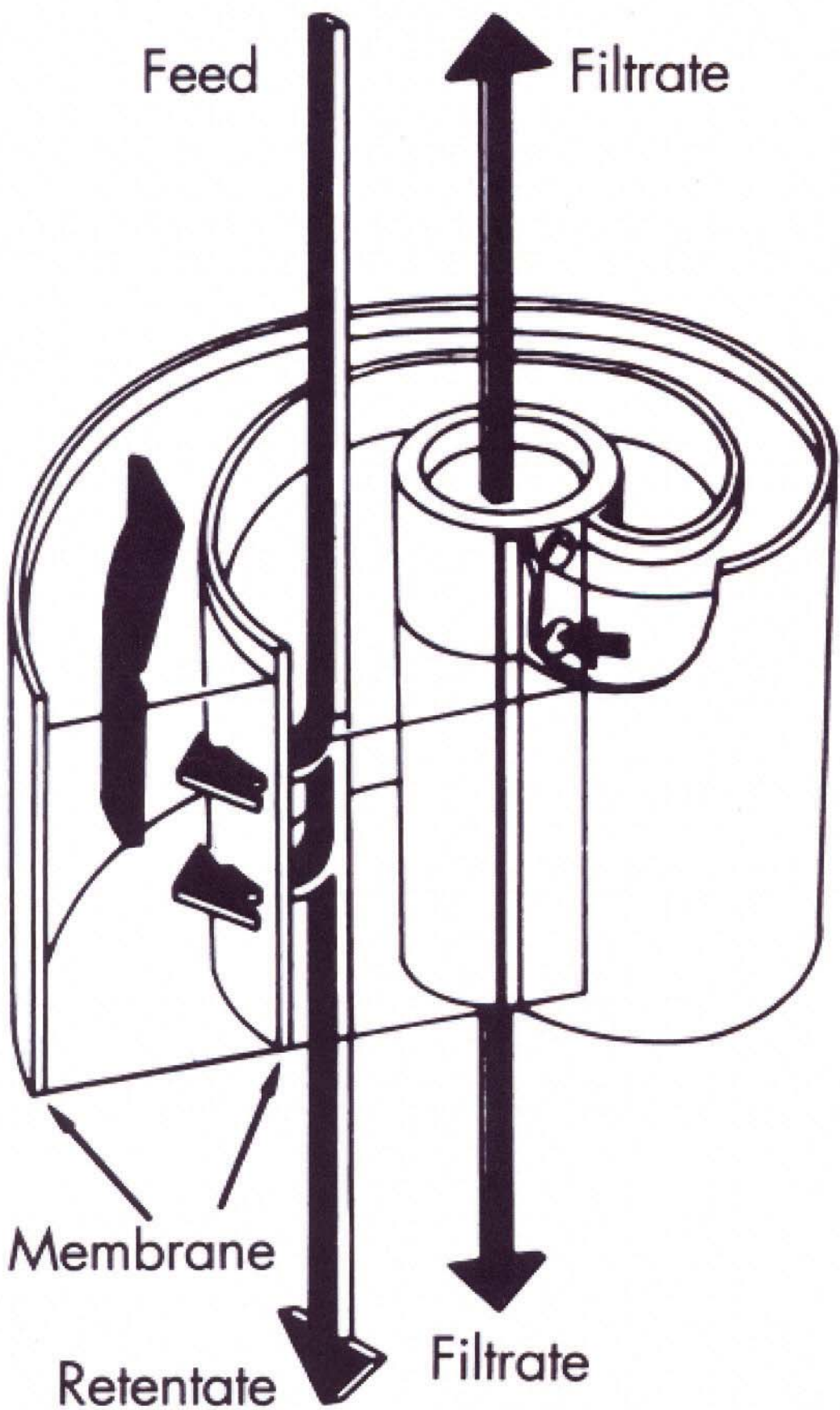


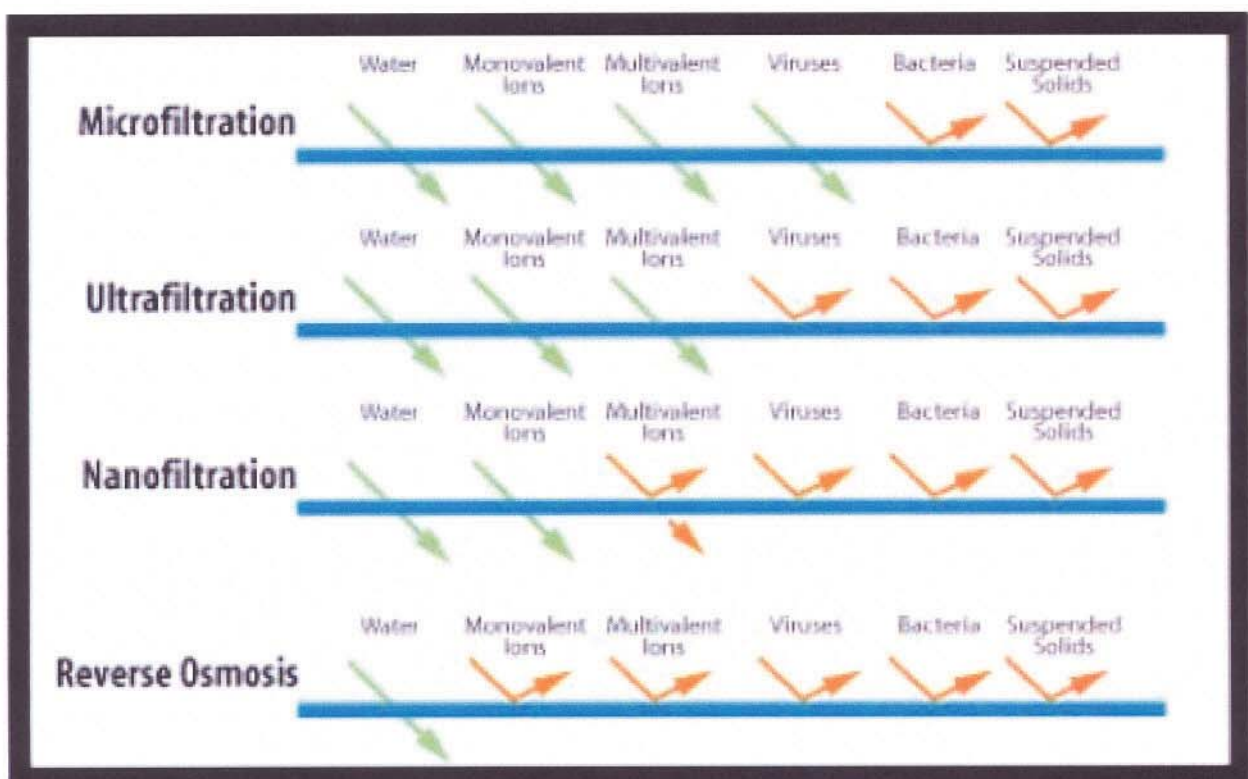
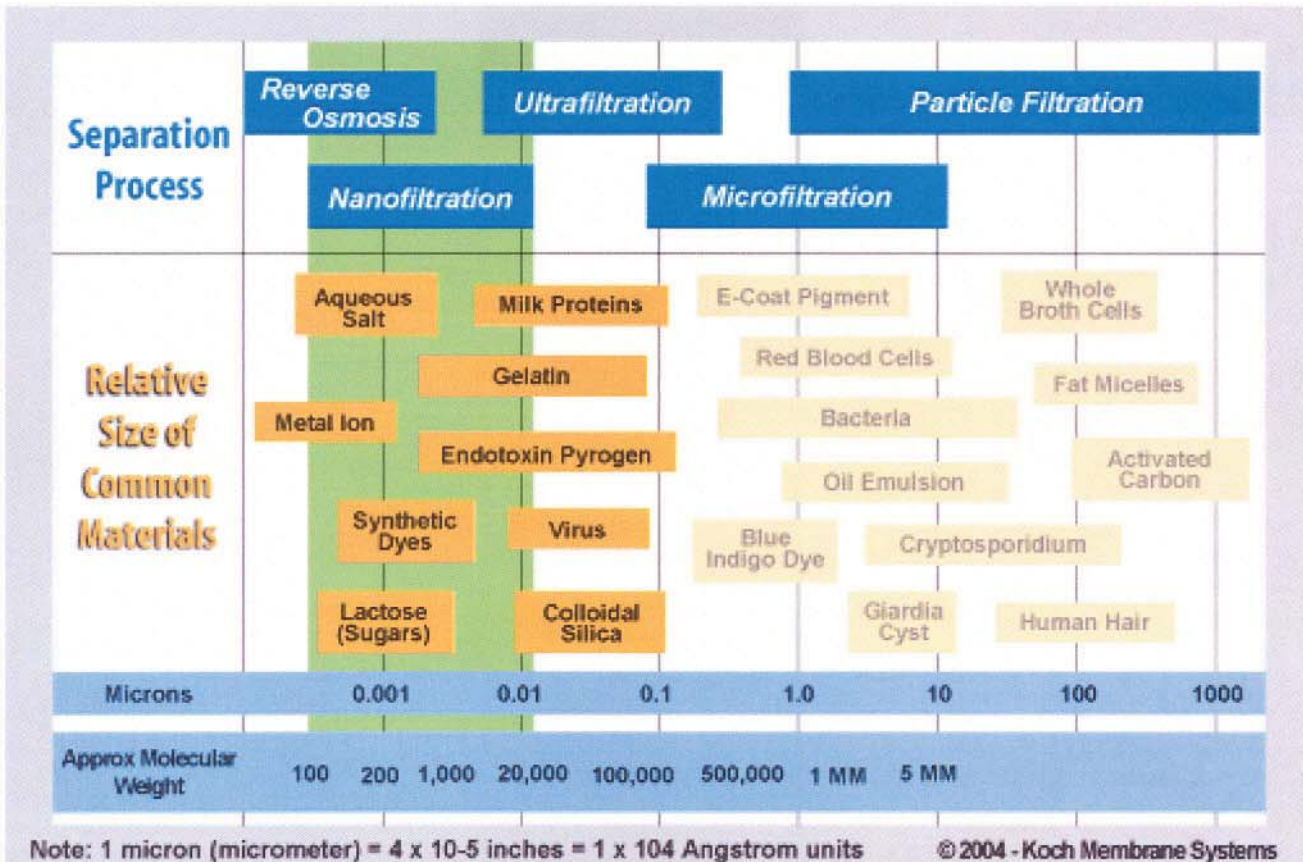
d_n d_p : \Rightarrow blokového prie-



$d \gg d_p$: deprotec







Membrane Process Characteristics

Concentration polarization model

The concentration profile of solute molecules close to the membrane surface is shown in Fig. 1. At steady state, a material balance of solute molecules in a control volume within the concentration polarization layer yields the following differential equation:

$$J_v C - J_v C_p + D \frac{dC}{dx} = 0 \quad (1)$$

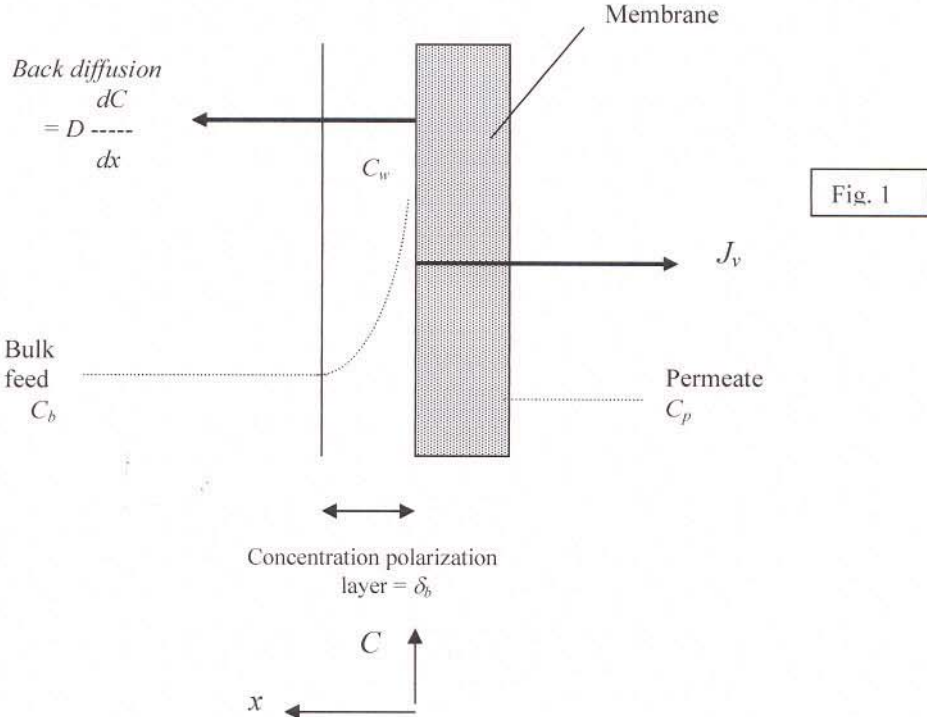
Integrating this with boundary conditions ($C = C_w$ at $x = 0$; $C = C_b$ at $x = \delta_b$), we get

$$J_v = k \ln \left(\frac{C_w - C_p}{C_b - C_p} \right) \quad (2)$$

k (= mass transfer coefficient) = D / δ_b

This equation is known as the concentration polarization equation for partially rejected solutes. For total solute rejection, i.e., when $C_p = 0$, the equation reduces to

$$J_v = k \ln \left(\frac{C_w}{C_b} \right) \quad (3)$$



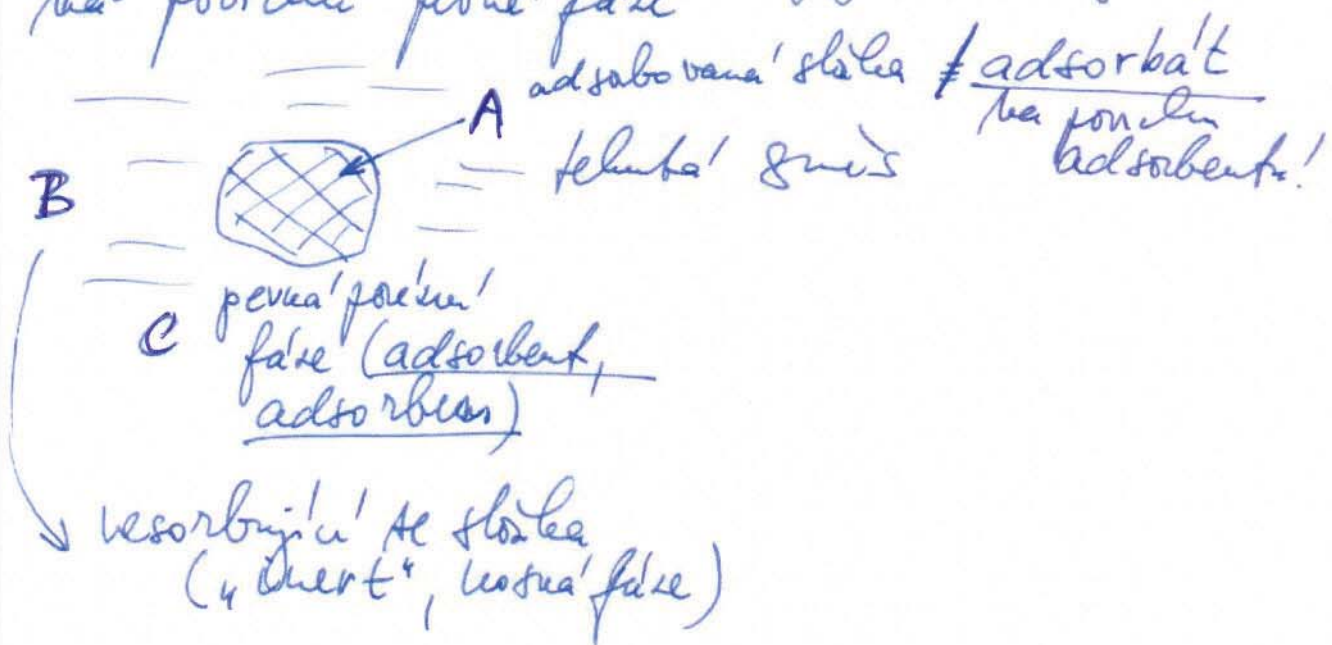
When the solute concentration at the membrane surface reaches the saturation concentration for the solute (C_s), or the gelation concentration of the macromolecule (C_g), there can be no further increase in C_w . Thus

$$J_v = k \ln \left(\frac{C_s}{C_b} \right) = k \ln \left(\frac{C_g}{C_b} \right) \quad (4)$$

This is referred to as the gel polarization equation. It indicates that when C_w equals C_s (or C_g) the permeate flux is independent of the TMP. In the pressure independent region, the permeate flux for a given feed solution is only dependent on the mass transfer coefficient. For a particular mass transfer coefficient the pressure independent permeate flux value is referred to as the limiting flux (J_{lm}). According to the gel polarization model, the existence of this limiting flux is a consequence of gelation of the solute at the membrane-solution interface.

ADSORPCIE, CHROMATOGRAFIE

- Adsorpce - odolce rovnu' slouk j'ho my'z v (velmi) m'z l'ch hor centra ch' v tchelindce (plyne' nebo kapalne' smeti) jejich sa dle cenu' na povrchu pone' fa're



- Aplikace:
 - odshauova'ní reakcii s kapalinou
 - odbarvova'ní,
 - separace slouč od rozpustidle
 - dlečen' slouč \leftarrow chromatografie
 - vstek' plynu'

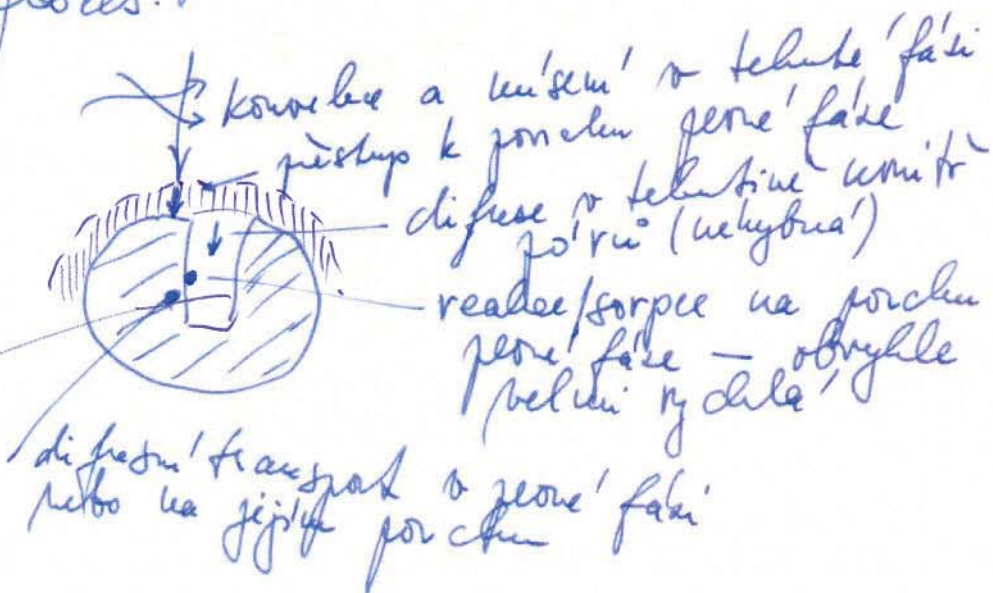
- Pevná fadso pro adsorpci \leftarrow vysoké poréz' materialy ($\approx 10^8 \text{ m}^2/\text{m}^2$ mít' do povrchu)!
- aktívni' hliník
- aktívni' oxid hliníku
- molekulárni' síta (hliník + křemík)
- syntetické polymery \leftarrow HPLC a další
- silika gel \leftarrow chem. mikrografie

(55)

sorpeci slof ve jiných adsorbentu je někdy 'proces':

! vodicí dej

pozemek druhý
druhé podložky
přes hosti půdu!



Výzva kresba adsorbentu a adsorbentu:

- fyzika 'lu' (van der Waalsova) \leftarrow vzájemna'
- chemicka' \leftarrow ~~sorpeci vlivem~~ vlivem obou stran
- ioniza' / elektrostaticka' \rightarrow strana'

Výzva adsorbenti na adsorbent je exothermum'

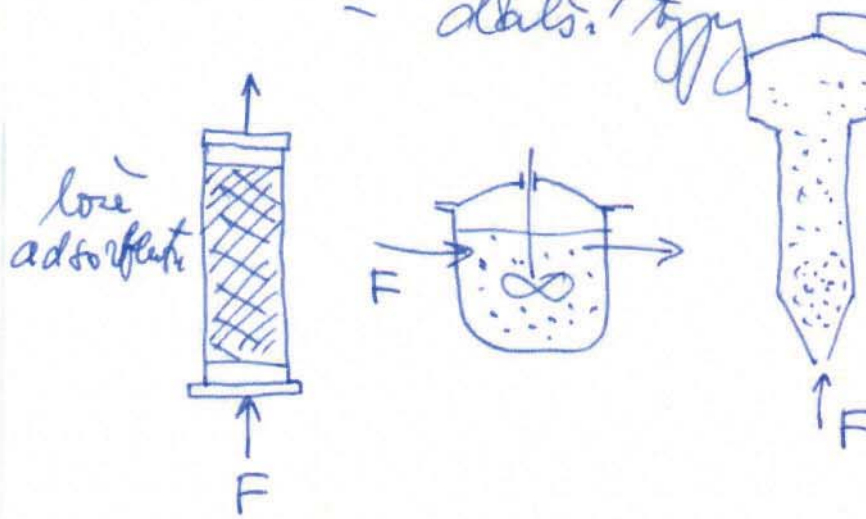
$$\Delta h_{\text{ads}} = 40 \div 50 \text{ kJ mol}^{-1} / \text{fyzika'}$$

$$\Delta h_{\text{ads}} = 200 \text{ kJ mol}^{-1} / \text{chemicka'}$$

Desorpeci / regenerace adsorbentu:

- smržení sláben
- ohřev seplot
- propaláčení / elektrolytické vymílení (zmena koncentrace, zvýšení pH, ...)

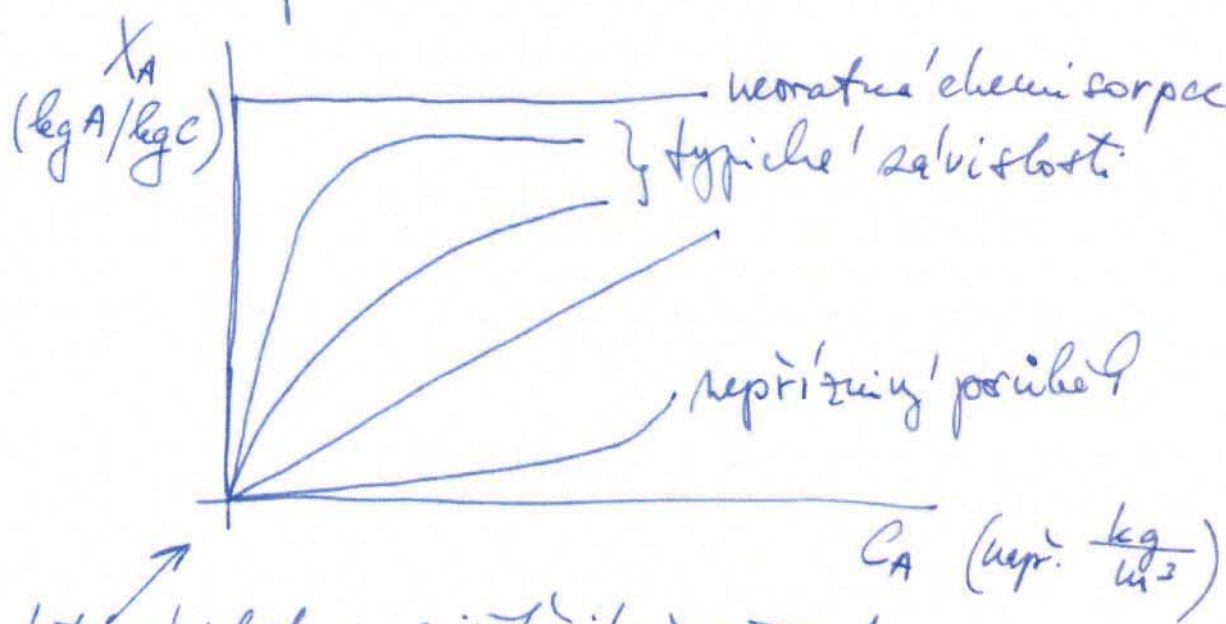
- Družiny:
- s povrchu/vzdušnou výstavnou adsorbentia (holony)
 - pravoučasné
 - s fluidizáciou lôžka
 - dalsí typy



$$k_{eq} = \frac{[Ac]}{[A][C]}$$

Fázova rovnováha pri adsorpции

- koncentracie slág A v adsorbente je rovnaká ako koncentracie slág A v tekuťe fáci

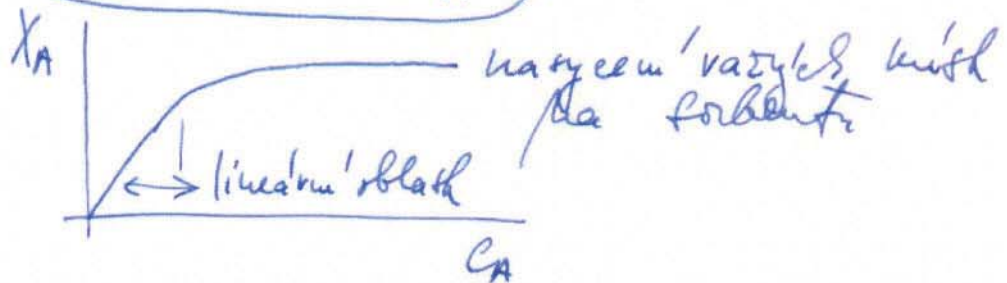


tyto závislosti sa registrujú pri T = konst.
 \Rightarrow adsorpčná izotermy

(57)

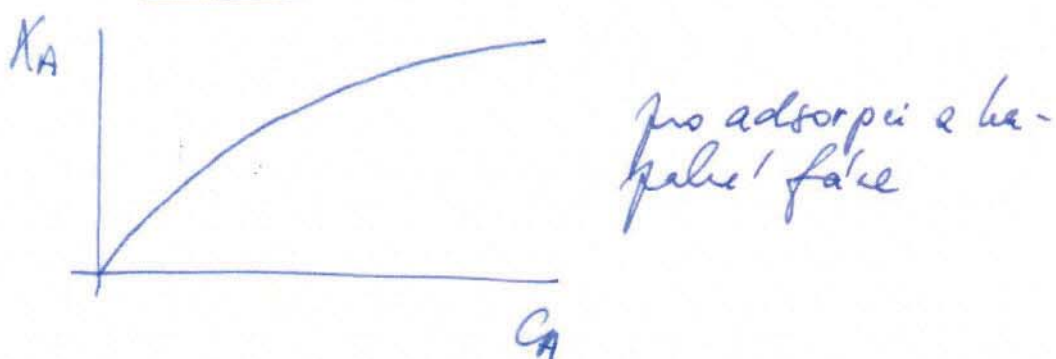
Langmuirova izotherma: (teoretický odnos)

$$X_A = \frac{b c_A}{1 + K c_A}$$



Freundlichova izotherma (empirická)

$$X_A = b c_A^q \quad q \leq 1$$



⇒ rada dalších adsorpčních izotherm

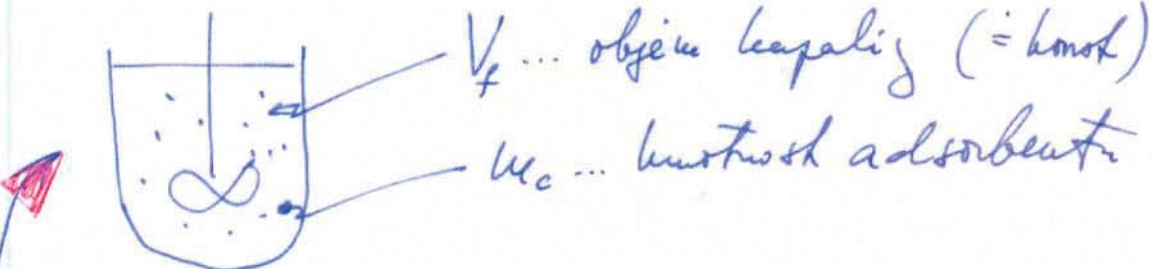
- pro nížší koncentraci adsorbátu
je podobná izothermy sa li nejdří:

$$X_A = b c_A$$

pro ofoglučadlo,
vlastnosti výroby
a chromatografie

62

I do feel like I adsorbed a protein chain value in room value
Reply:



bilance l'ensemble de interval $\langle 0, \infty \rangle$

$$V_f (C_{AF} - C_A) = \mu_c (X_A - X_{AS})$$

pascal \uparrow cas & \uparrow adsorbent \uparrow case \uparrow p.c. sorbent
 $(= 0.1)$

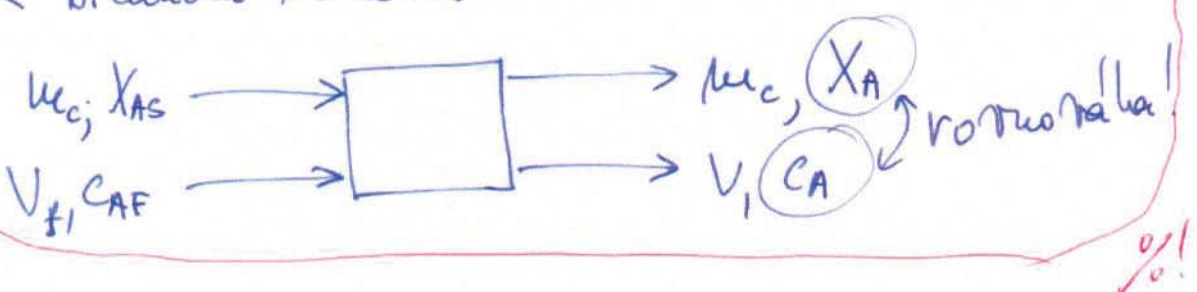
Je dle $\chi_{AS} = 0$ a na koreci procesu se vstaví
mírotvorná řada: koncová koncentrace

$$V_f (c_{AF} - c_{AH}) = M_c b c_{AH}^q \quad (\text{Freundlich})$$

$$\text{koncentracia} \left\{ \frac{mc}{V_p} \right\} = \frac{c_{AF} - c_{AK}}{b c_{AK}^q} \quad \left. \begin{array}{l} \text{počatečná} \\ \text{a končiaca} \\ \text{koncentrácia} \end{array} \right\}$$

nick *CAK* *le'pe* *shy*
Netz *goston* *honest* *surgeon*
i'vench'!!!!% *al* *bra'dee* (*leg C/w²*)

bilancio' schéma:

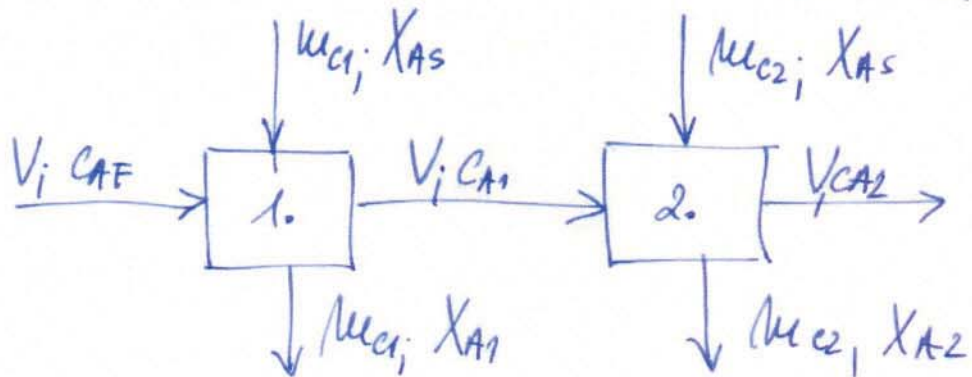


$$\delta C_A^q = \frac{V_F}{\mu_c} (C_{AF} - C_A^{(0)})$$
$$C_A^{(n+1)} = \left[\frac{V_F}{\mu_{c,B}} (C_{AF} - C_A^{(n)}) \right]^{1/q}$$

pro ieracion / loop

(63)

DOPAKOVANÁ ADSORPCIE v rovnovažných stepniach



- kritické ustanovenia

bilance konc. složky A v stepniach:

$$V(C_{AF} - C_{A1}) = \mu_{C1}(X_{A1} - X_{AS})$$

$$V(C_{A1} - C_{A2}) = \mu_{C2}(X_{A2} - X_{AS})$$

pre $X_A = b C_A^q$ a $X_{AS} = 0$ (čistý adsorbent)

$$V(C_{AF} - C_{A1}) = \mu_{C1} b C_{A1}^q$$

$$V(C_{A1} - C_{A2}) = \mu_{C2} b C_{A2}^q$$

$$\frac{C_{AF} - C_{A1}}{b C_{A1}^q} = \frac{\mu_{C1}}{V}$$

$$\frac{C_{A1} - C_{A2}}{b C_{A2}^q} = \frac{\mu_{C2}}{V}$$

zjednodušenie:

$$\frac{\mu_{C1} + \mu_{C2}}{V} = \frac{1}{b} \left(\frac{C_{AF} - C_{A1}}{C_{A1}^q} + \frac{C_{A1} - C_{A2}}{C_{A2}^q} \right)$$

↳ správa adsorbantu

\downarrow Mup \downarrow Vystup

pro sada mych hodnotach C_{AF} a C_{A2} je
 C_A , pro mne novu velicinu a lze podle mi'
 derivovat takto pro $\frac{M_{c_1} + M_{c_2}}{V}$ a urcit
 tak minimálnu' zohřebu adsorbantu,
 resp. podmínky pro minimálnu' zohřebu:

$$\frac{d}{dc_1} \left(\frac{M_{c_1} + M_{c_2}}{V} \right) = 0 \Rightarrow$$

$$-C_{A1}^{-q} + C_{A2}^{-q} - \frac{1}{C_{A1}} (C_{AF} - C_A)^q = 0$$

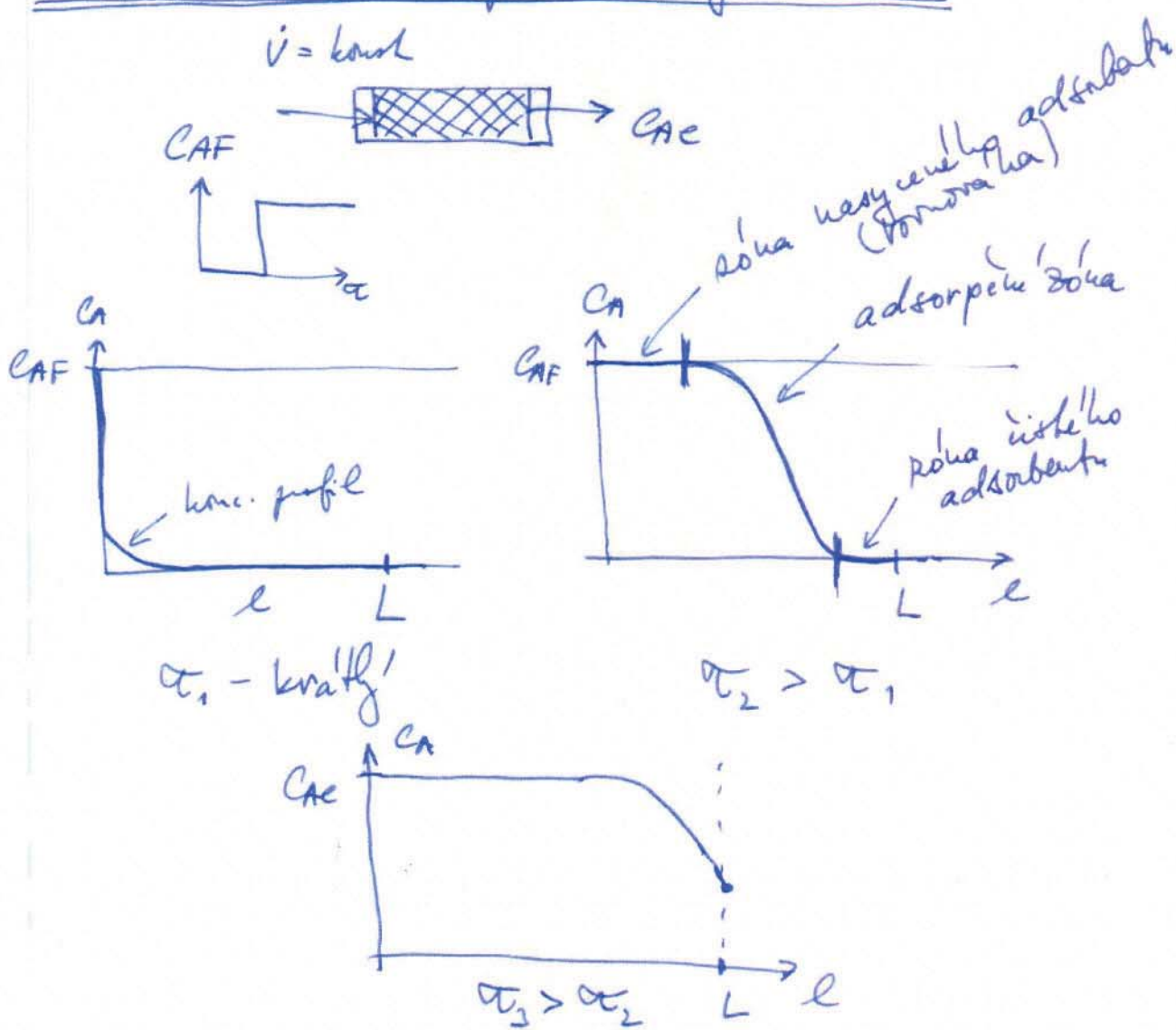
řešení této rovnice je C_{A1} , pro kterou
 bude zadaná zohřeba adsorbantu
 minimálna'.



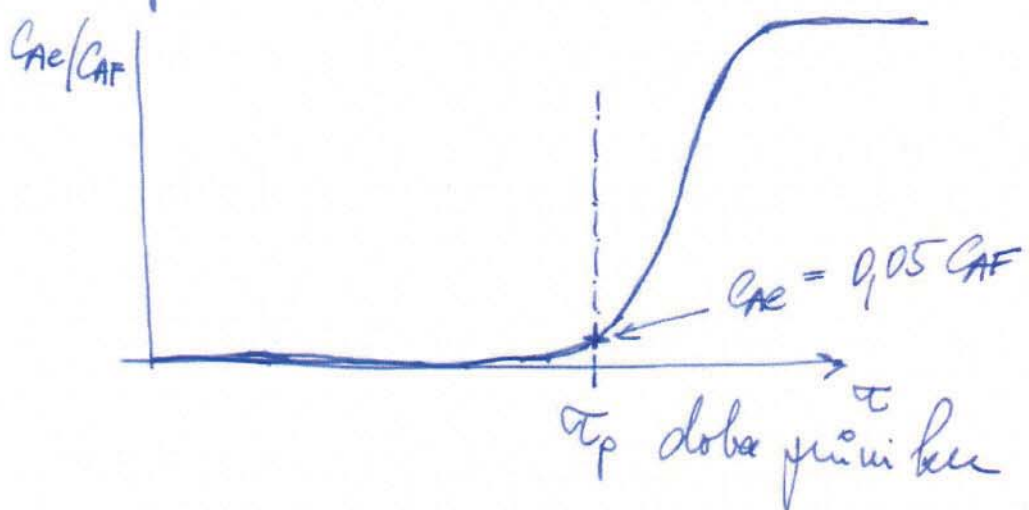
(58)

Isothermum 'adsorpee v nehybne' vistoe'

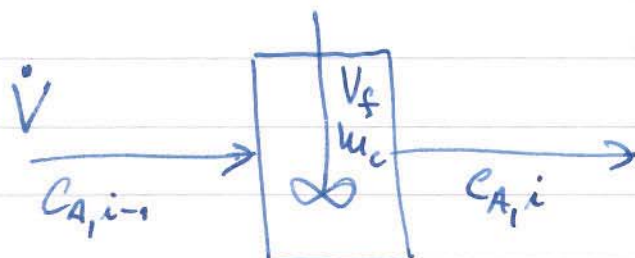
$$i = \text{konst}$$



Krivka průniku: závislost C_{Ae} na C_{AF}



Adsorber v protein'ch' u'ch' st'ye'rič'
→ koncentraci rychlosti' transportu ($\rightarrow s$)



i-th stepni
rychlosť pohybu
rychlosť oddoben

rychlosť akce
vlnice v expozicii
 $X_{A,i} = \alpha C_{A,i}^*$
rychlosť akce
vlnice v ad.
sobě

bilance slouží A ke stýrání:

$$V C_{A,i-1} = V C_{A,i} + V_f \frac{dC_{A,i}}{dx} + h_c \frac{dX_{A,i}}{dx}$$

~~rychlosť akce
vlnice v expozicii
je konstanta~~

$i = 1, 2, \dots, N$

rychlosť akce
vlnice v
jedné fázi

$$h_c \frac{dX_{A,i}}{dx} = k_a (C_{A,i} - C_{A,i}^*) A$$

$\uparrow [ms^{-1}]$

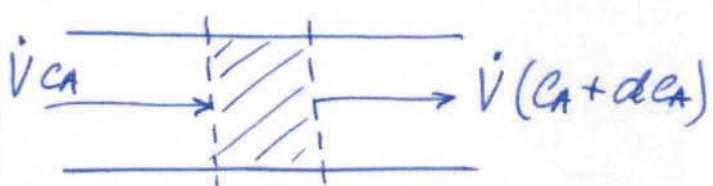
rovnovážná koncentrace v $X_{A,i}$

$$\frac{h_c}{V_f} \frac{dX_{A,i}}{dx} = k_a c (C_{A,i} - C_{A,i}^*) \quad A = A_1, B_1, \dots, D_1, E \dots$$

Dostavu dif. rovnici, když kromě jiného
pro $N \rightarrow \infty \Rightarrow$ je to chromatogr. kolon!

(59)

Bilancee adsorbovanej slizy a kinetika procesu:



- izofluence !!
- nízka koncentrácia

↑ bilanciu systému ($dV_f \dots$ objem tekucej fázy)
 $dV_{MC} \dots$ množstvo adsorb.)

Endeme bilancovat množstvo ads. slizy A

► v tekucej fázi: $V_{CA} = V(C_A + dC_A) + \frac{\partial x_A}{\partial z} dV_f + dV_{A,w}$

► v penej fázi: $dV_{A,w} = \frac{\partial x_A}{\partial z} dV_c$

► menný pravidiel o tekucej fázi → postupný kroky
 $dV_{A,w} = K_c (C_A - C_{A,w}^*) dA$

výjadruj dV_f , dV_c a dA

$$dV_f = \epsilon dV$$

$$dV_c = \underbrace{\rho_f (1-\epsilon)}_{\rho_b \text{ hustota vrstvy adsorbanta}} dV = \rho_b dV$$

ρ_b hustota vrstvy adsorbanta

$$dA = \underbrace{a dV}_{\text{hustota povrchu sorbenta}}$$

(60)

do bilance pro tehnice dosadivne se díváv
 & bilance pro povrch fází:

$$0 = \dot{V}dc_A + \frac{\partial c_A}{\partial t} dV_f + \frac{\partial x_A}{\partial t} dV_c$$

$$dV = Sdl \quad 0 = \nu S dc_A + \epsilon \frac{\partial c_A}{\partial t} dV + g_p(1-\epsilon) \frac{\partial x_A}{\partial t} dV \quad | \frac{1}{dV}$$

$$\boxed{0 = \nu \frac{\partial c_A}{\partial t} + \epsilon \frac{\partial c_A}{\partial t} + g_p(1-\epsilon) \frac{\partial x_A}{\partial t}}$$

do bilance pro tehnice dosadivne se díváv
 & rovnice pro stupně

$$0 = \dot{V}dc_A + \frac{\partial c_A}{\partial t} dV_f + K_c (c_A - c_A^*) dA$$

$$0 = \nu S dc_A + \epsilon \frac{\partial c_A}{\partial t} dV + K_c (c_A - c_A^*) dA \quad | \frac{1}{dV}$$

$$\boxed{0 = \nu \frac{\partial c_A}{\partial t} + \epsilon \frac{\partial c_A}{\partial t} + K_c a (c_A - c_A^*)}$$

aby mohly sloučit r. h. stranu fází být
 (obvykle) souvisejat ($c_A \rightarrow 0$) \uparrow j. $\frac{\partial c_A}{\partial t}$

$$\boxed{-\nu \frac{\partial c_A}{\partial t} = g_p(1-\epsilon) \frac{\partial x_A}{\partial t}}$$

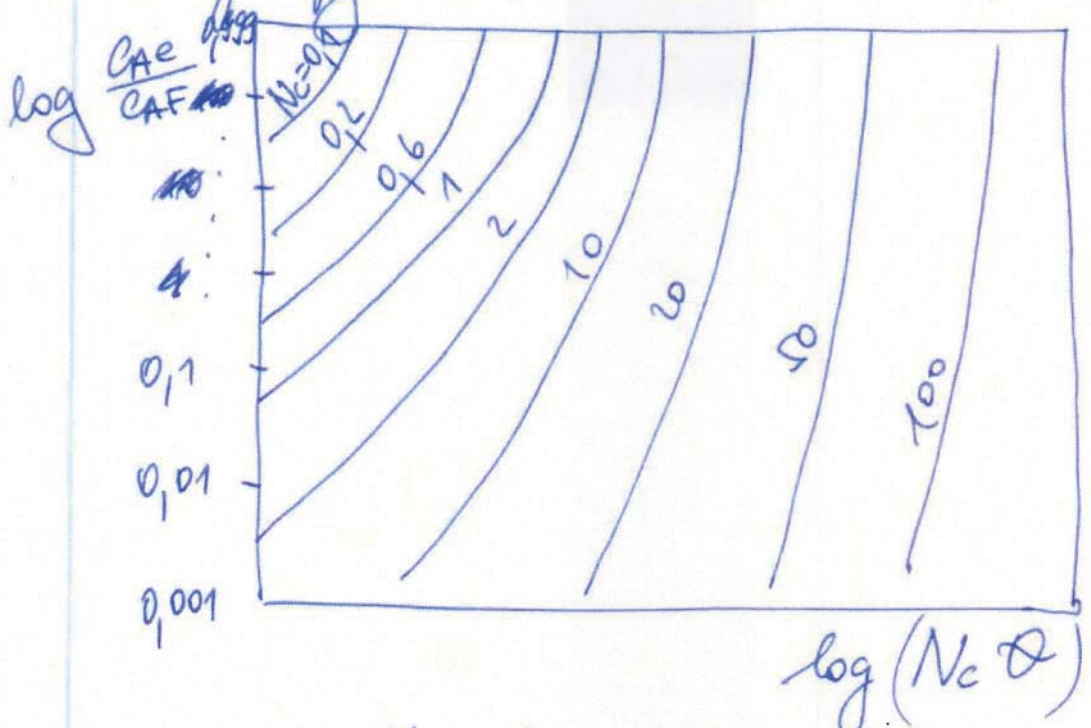
$$\boxed{-\nu \frac{\partial c_A}{\partial t} = K_c a (c_A - c_A^*)}$$

\uparrow rovnováze
 s x_A

popis prošetrování a časového vztahu
 koncentraci adsorbující se slouží re
 aktivi adsorbantu

(61)

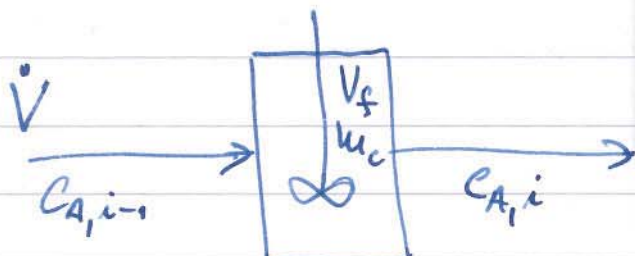
řešení' rovnice pojistujících mrtv je obecné'
 \rightarrow graf:



$$N_c = \frac{K_c a L}{V} = \frac{K_c a V}{\dot{V}} \quad \begin{array}{l} \text{jednotek} \\ \text{jednotek} \end{array}$$

$$\phi = \frac{\dot{V} C_{AF} [\sigma_{tp} - \epsilon \frac{V}{\dot{V}}]}{\rho_p (1-\epsilon) V X_{AF}^*} \quad \begin{array}{l} \text{bezrozměry} \\ \uparrow \text{porovnatelná k CAF} \end{array}$$

Adsorper v protein charakterech stejných
→ koncentraci rychlosti transfuzie $\rightarrow s$



i-th stage
rychlosť adsorbce
rychlosť difúzie

rychlosť adsorbce
surface v expozícii
 $x_{A,i} = \beta C_{A,i}^*$
rychlosť adsorbce
surface v adsorbci

bilance slouží A ke stojení:

$$V C_{A,i-1} = V C_{A,i} + V_f \frac{d C_{A,i}}{dx} + h_c \frac{d K_{A,i}}{dx}$$

$$i = 1, 2, \dots, N$$

rychlosť adsorbce
na surfece
v expozícii
ještě

rychlosť adsorbce
na surfece v
jedné fázi

$$h_c \frac{d K_{A,i}}{dx} = K_a (C_{A,i} - C_{A,i}^*) A$$

↑
[L s⁻¹]

rovnováha kon-
centrace s $x_{A,i}$

$$\frac{h_c}{V_f} \frac{d x_{A,i}}{dx} = K_a c (C_{A,i} - C_{A,i}^*) \quad A = A, B, \dots, D, E \dots$$

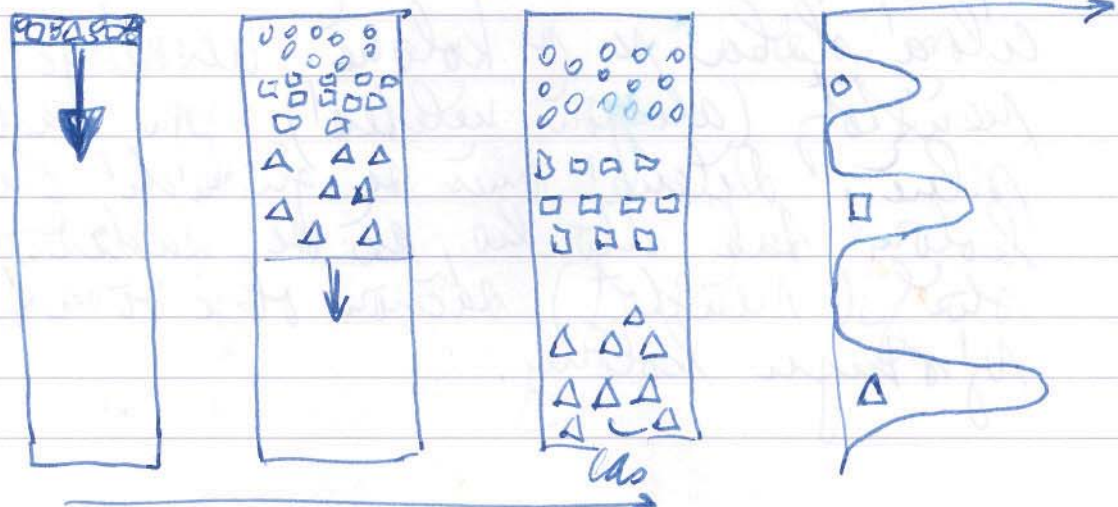
dvořava def. výrobce, že ještě klasický
pro $N \rightarrow \infty \Rightarrow$ popis chromatogr. kolon!

adsorpcie v plnejich kolonach → viz CHI-III!

①

Kapalikova chromatografie (LC)

- nejčastěji užívá a nejpoužívanější separaci (purifikaci) řešených v biotechnologických
- LC je založena na rozdílu afinitet mezi sloučením v roztoku ke specifickému mobilemu fázem.
- V průběhu procesu se ustanoví množství krušní pravohydracídlové fáze (resin) a molekulální v roztoku) ↑
fj. mobilem fázem! → v některých případech krušná fází substituovaná mříží
- jako chromatografie je běžné označit rozložení separačního procesu, tj. která fáze je rychlejší. Mezi rychlými sloučenými v roztoku již vede každá fáze (fázový kolony obsahující praci mříži) fází a již vede každá sloučená fáze (fázový kolony obsahující eluentního rozpouštědla (roztoku), které již kvůli rychlé fázové fáze vede každý kolony, po svedení se sloučí).

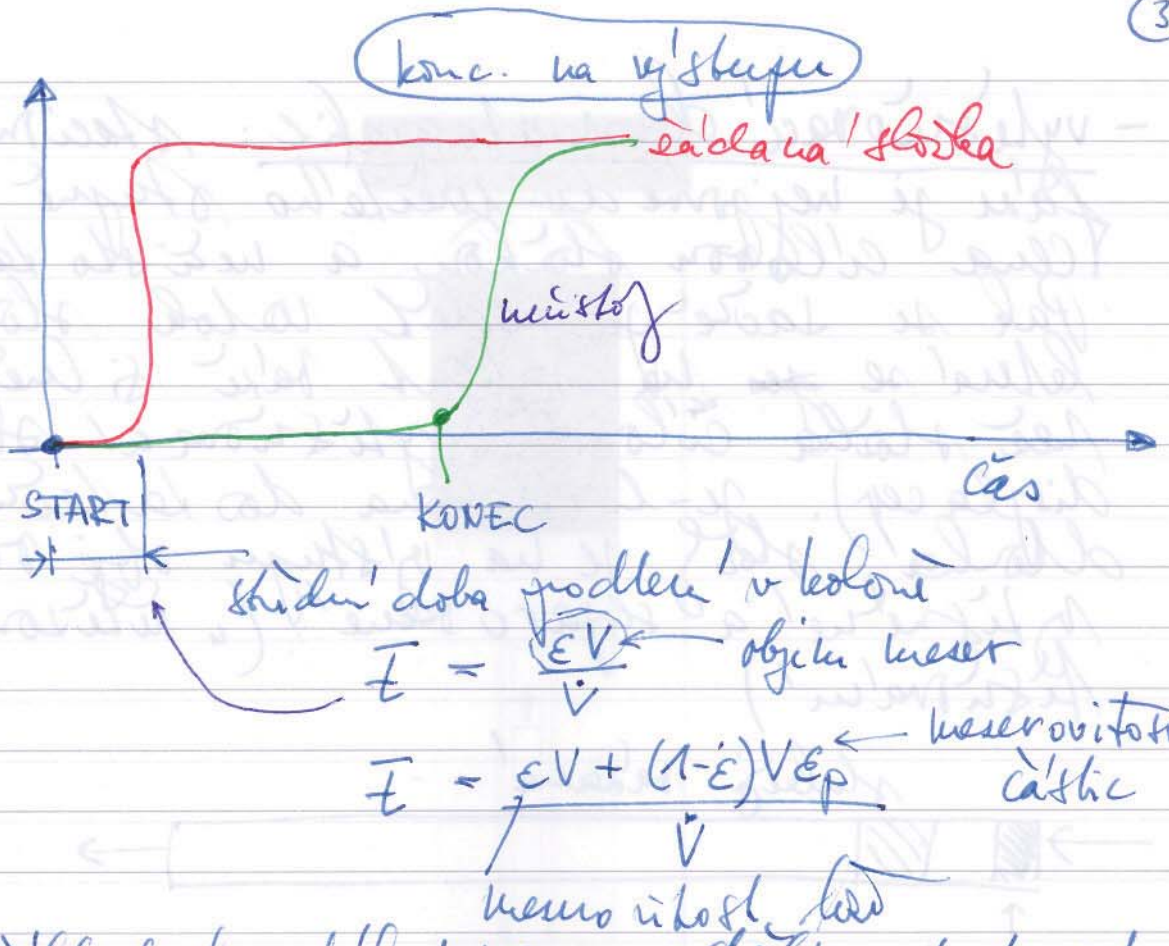


(2.)

- Neobs spisob vlnbechen' se kav'va' e luctu'
chrontografu'

- typický, pachnologický spisob: ^{vlnbechen' ad sorpe} zvuky, sluch, světlo (vlnky), duševní stav (příroda, deje), adsond holory (fakl, dlonivo, as se metoda fale (vleček uvnitř vlnky mední)) nevyh! vlnky, sluch, fale se sejme se. Vede elbeden' u'ni dlo („on-off chro-
matograph) → adsonden' front → ku ob gve uku
- mobilní fáze pro leha' holony objektu
movenia dolej prony'na lava, novy' spisob
 spisob spisob fáze prvotiny zadolou dole
leglo, sluch se fale holory s novostoch'
vnitruho prvotiny balu' / expansie vnitry
objektu → do holony bce sa vesh i sorf,
perce' obsahuji' ale' fachy hubo funkcie
 fragmenty
frontalni'
 - prvotina' chrontografie: (displacement)
 (frontal)

člava' slucha se o kolose ne využije, hledi
 nevidi (ale spon užívá!) jin sadržava'
 zále. Dlema' jin se při va'di' do
 holory fale dlonivo, as se sadržava ne'
 sluch (nevidi) sadrži obje vovat na
 v'supu holory.



• jiná základ frakce' k LC: ~~odstřívání~~ výběr 'proteinů'
 je směsi → funkce výběru kyselina kyseline ne
 aminoxydace'mu ionem. ~~je~~ Hodnota
 pH deševější ionem se lepší na hydrofobu
 kyselinu, když je i ocelatnější kyseliny
 \Rightarrow proteinový pás proto nesváří do formy
 halidů \Rightarrow kyseliny se dobrovolně
 sat na alkyl \Rightarrow pro dlejší. NK se vyskytují
 na tuky, proteinu mají negativní na bývají
 (prakticky f. řešení voda) hydrofobické
 pH!)

- frakce' k chromatografie obecně termín
 ji nazovat velké objem výběru, proto
 že jsou ucelené ~~zvláštnost~~ byť výběr málo!

4.

- výklesovací chromatografie: stacionární
fázou je nejprve do vrcholu stupně vody -
takže voda bude sloučena a uvedena tam.
Pak se zadruží voda s volnou složkou.
Když se zde na svrchní fázi voda
nesložka voda (výklesová složka,
displacce). Je-li voda dosažena
dorohou složek se na výstupu objeví
signál a separované ("rozložené" vý-
klesové)

výklesová



výklesová

- jiné všechny metody vlastního L-c
je vlastního roviny L-S, ale
než transportní proces:

- postup L-S ve stagnantním fluidu
- axialem a radialem pro koncentraci
- transport v částicích (obecně?)

- vliv kinetické srážky (?) - mikof!

• rovnava ji adsorpce (?) obvykle
se jednoznačně liší

$$[CS] = K_{eq} [C]$$

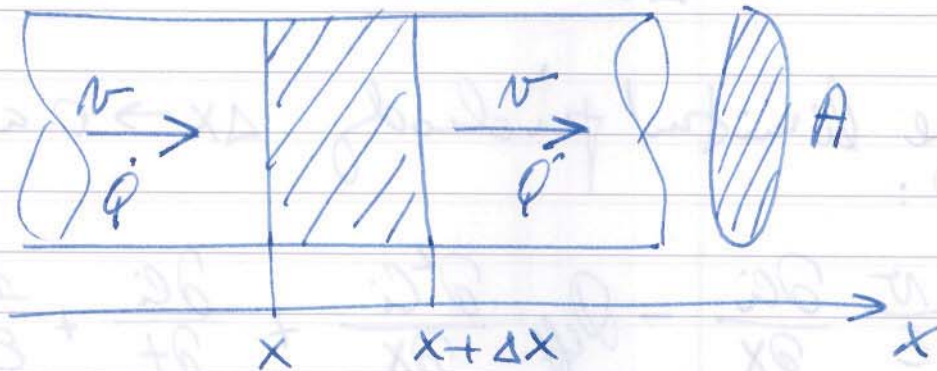
přitom [C] je liška

5.

Dynamika adsorpcji na LC kolumnie

moderately \leftarrow holes \rightarrow more sorbents
hesitantly too much. Stegeman
(via adsorption!)

- Adsorpce v kolorech s výplní!



$$N = \frac{Q}{EA} \dots \text{intersticium}'\text{u}\text{m}' \text{rychlos}\text{t} \text{ p}\text{rode}\text{tu}\text{m}'$$

bilance mentale! flex i :

"rychlota jítohus sl. i" = "rychlota odtolus sl. i" +
+ "rychlota alu mula ce v
hayalne! i jevre! fale!"

$$\boxed{A \epsilon \Delta t \left(\frac{\Gamma}{\epsilon} c_i - D_f \frac{\partial c_i}{\partial x} \right)_{x_1^t}} = A \epsilon \Delta t \left(\frac{\Gamma}{\epsilon} - D_f \frac{\partial c_i}{\partial x} \right)$$

$$+ A \varepsilon \Delta X \left(c_i|_{t+\Delta t} - c_i|_t \right) + A(1-\varepsilon) \Delta X \dots ;$$

Objekt l Objekt s

efektiv disperzija (molekulačna + hidrodinamika) $\cdot (q_{\text{left}} - q_{\text{right}})$

(6)

bilanciu' vormici ydelne $A \in \Delta x \Delta t$:

$$\frac{\left(\frac{N}{\epsilon} c_i - \text{Def. } \frac{\partial c_i}{\partial x}\right)|_{x,t}}{\Delta x} = \frac{\left(\frac{N}{\epsilon} c_i - \text{Def. } \frac{\partial c_i}{\partial x}\right)|_{x+\Delta x, t}}{\Delta x}$$

$$+ \frac{c_i|_{t+\Delta t} - c_i|_t}{\Delta t} + \frac{1-\epsilon}{\epsilon} \frac{q_i|_{t+\Delta t} - q_i|_t}{\Delta t}$$

provedene limitu' p'edloz $\Delta x \rightarrow 0$ a
 $\Delta t \rightarrow 0$:

$$0 = \frac{N}{\epsilon} \frac{\partial c_i}{\partial x} - \text{Def. } \frac{\partial^2 c_i}{\partial x^2} + \frac{\partial c_i}{\partial t} + \frac{1-\epsilon}{\epsilon} \frac{\partial q_i}{\partial t}$$

po p'el'kem'/uzora'dale' leme:

$$\text{Def. } \frac{\partial^2 c_i}{\partial x^2} - \frac{N}{\epsilon} \frac{\partial c_i}{\partial x} = \frac{\partial c_i}{\partial t} + \frac{1-\epsilon}{\epsilon} \frac{\partial q_i}{\partial t}$$

Mohlo byt i jinak
 kdyz mali l-s?

obecne: $\frac{\partial q_i}{\partial t} = f(c_i, g_j, \dots, q_i, g_j, \dots)$

nejednosetna' podoba:

$$\frac{\partial q_i}{\partial t} = K_a (c_i - c_i^*)$$

linearny' typu'
sila

Promovadna' ke q_i

(2)

Reamse 'ho
Předpoklad rychle 'ho ukládat' využívá 'ho'
+ kaučuková 'dispense'

$$D_{eff} \rightarrow 0 \quad a \quad q_i = f(c_i)$$

$$-\frac{N}{\varepsilon} \frac{\partial c_i}{\partial x} = \frac{\partial c_i}{\partial t} + \frac{1-\varepsilon}{\varepsilon} \frac{\partial}{\partial t} (f(c_i))$$

~~stá. fce~~

$$\frac{\partial c_i}{\partial t} = -\frac{N}{\varepsilon} \frac{\partial c_i}{\partial x} + \frac{1-\varepsilon}{\varepsilon} \frac{\partial}{\partial t} (f(c_i))$$

$$\frac{\partial c_i}{\partial t} = -\frac{N}{\varepsilon} \frac{\partial c_i}{\partial x} - \frac{1-\varepsilon}{\varepsilon} \underbrace{\frac{\partial f(a)}{\partial c_i}}_{\substack{q'_i - \text{prům. h.} \\ \text{zpr. h.}}} \frac{\partial c_i}{\partial t}$$

$$\frac{\partial c_i}{\partial t} \left(1 + \frac{1-\varepsilon}{\varepsilon} q'_i \right) = -\frac{N}{\varepsilon} \frac{\partial c_i}{\partial x}$$

~~q'_i - prům. h. zpr. h.~~

$$\frac{\partial c_i}{\partial t} \underset{\cancel{\text{if}}}{\underset{\cancel{\text{if}}}{\frac{\varepsilon + (1-\varepsilon)q'_i}{\varepsilon + (1-\varepsilon)q'_i}}} = -\frac{N}{\varepsilon} \frac{\partial c_i}{\partial x}$$

$$\frac{\partial c_i}{\partial t} = -\frac{N}{\varepsilon + (1-\varepsilon)q'_i} \frac{\partial c_i}{\partial x}$$

$$\frac{\partial c_i}{\partial t} + \frac{N}{\varepsilon + (1-\varepsilon)q'_i} \frac{\partial c_i}{\partial x} = 0$$

efektivní 'ho'
v 'ho' vložit slouží

pro lineární
využívání

Adsorpce a chromatografie

další modely

uváděli jome model bez disperze a s okamžitou ustavenou rovnováhou

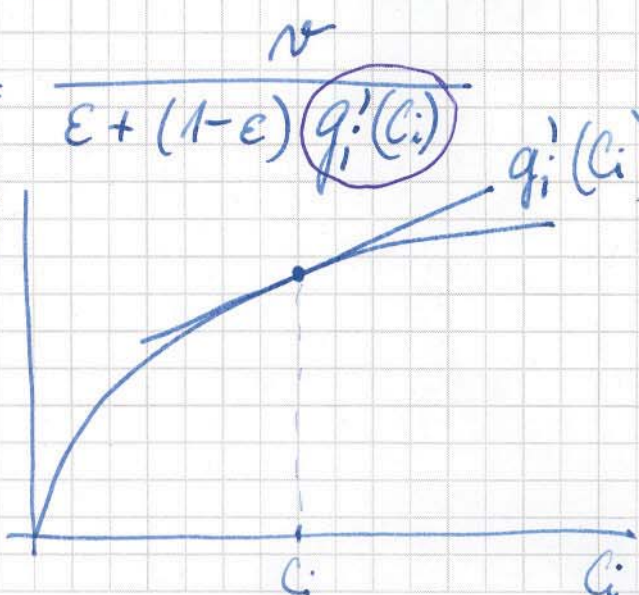
$$\frac{\partial c_i}{\partial t} = -M_i \frac{\partial c_i}{\partial x}$$

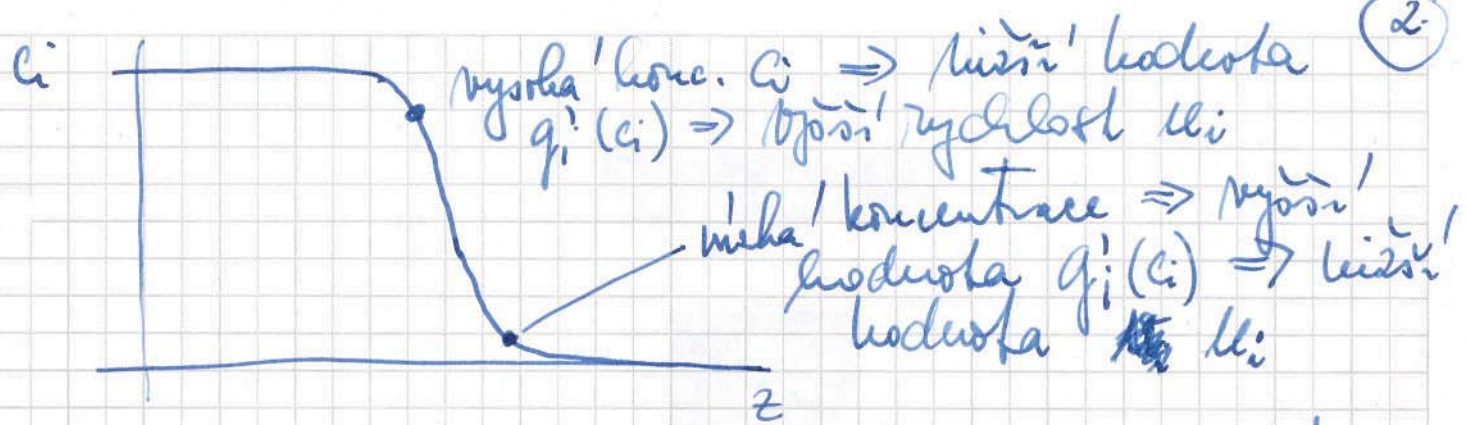
- poskytuje "nesplněné" výsledky, protože nepořizuje reálné chování shodící se s adsorptivními a chromatografickými souběhem
- o malých sáčcích mohlo docházet k akumulaci pro hromadění, přenos kruh lze i s menšími ~~velkou~~ velkou rychlostí, normálně je velká rychlosť

"fiktivně založený" adsorpční souběh:

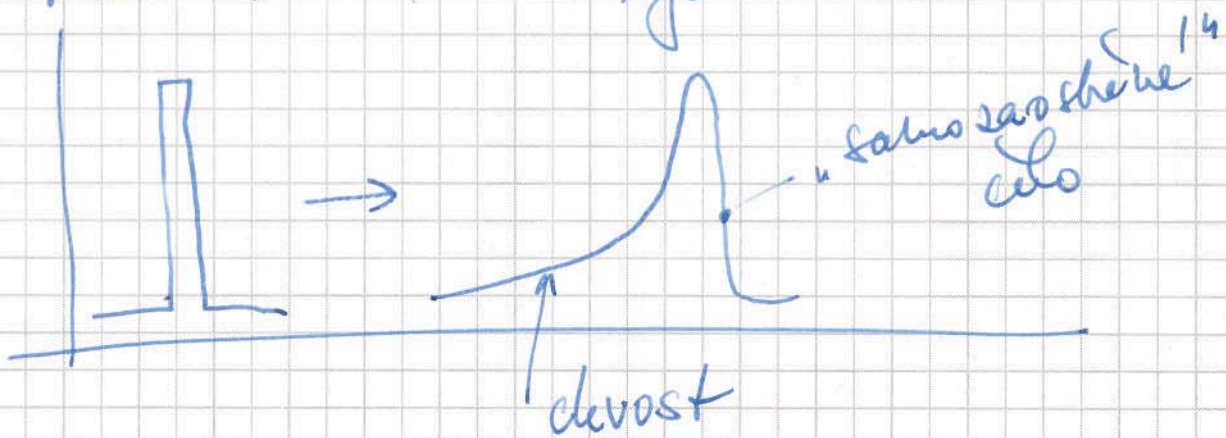
$$M_i = \frac{n}{E + (1-\epsilon) \left(q_i^*(c_i) \right)} q_i^*(c_i)$$

$$(q_i^*) X_i$$



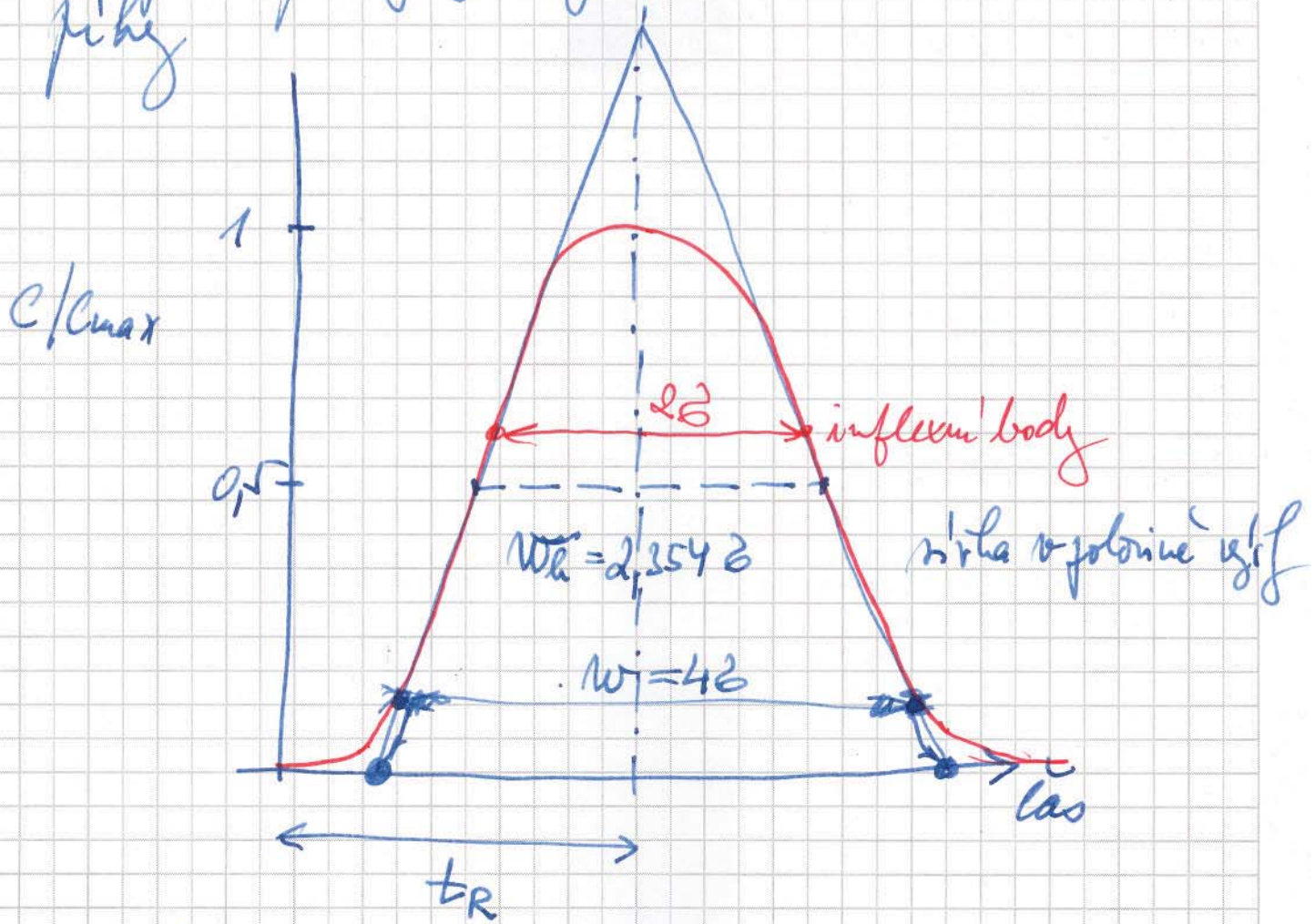


při výknu pulsu ale dochází k výměně
chování, protože se puls je nízká kon-
 centrace $c_i \Rightarrow$ vysoká rychlosť u_i



• Ke stupňovému (fazovému) modelu chromatogramu

model rovnoměrných ideálních prouduch vlivem
stupně používající symetrické (gaussovo) křivky



$$H = \frac{L}{N} \quad \text{Molek. růvna. stupni}$$

$$N = \frac{t_R^2}{\delta^2} = \frac{t_R^2}{(w/4)^2}$$

realistický slouč:

$$R_s = \frac{t_{R2} - t_{R1}}{\frac{1}{2}(w_2 - w_1)}$$

4.

Van Deemterova rovnice

$$H = A + \frac{B}{\mu} + C \nu$$

(cm^2/s)

(Δ)

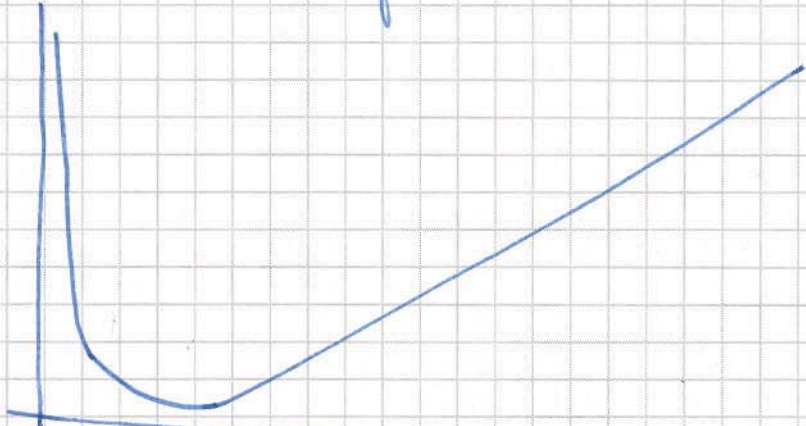
Prychlost bolen' mobilu' faze

mrtve' prostor a datu'
sleduje mechanického
prinu' de'valku'

molekulární difuze
v mobilu' faze

presby's limit
+ difuze vnitř kálie

H



$\mu (\text{cm/s})$

Analytische Lösung:

- (5.)
- linearer Konzentrationsverlauf
 - zweibettiger Dispersionsmodell

Modelle der Röntgen:

$$q_i = K_{eq,i} c_i$$

$$\frac{\partial q_i}{\partial t} = K_a (c_i - c_i^*)$$

$$\frac{\partial c_i}{\partial t} + \frac{1-\varepsilon}{\varepsilon} \frac{\partial q_i}{\partial t} + \frac{\Gamma}{\varepsilon} \frac{\partial c_i}{\partial x} = 0$$

O.P. a P.P.:

"maxima" $t < 0$: $q_i(0, x) = c_i(0, x) = 0$

kolona

$t \geq 0$: $c_i(t, 0) = c_{i,0}$ statische Konz. bei 0 Stagn.

- röntgen ist zuerst do berücksichtigt. dann
je zweitem berücksichtigt werden wird:

$$\phi = c_i/c_{i,0} \quad \psi = \frac{q_i}{q_{i,0}} \leftarrow q_{i,0} = K_{eq,i} c_{i,0}$$

$$\left. \begin{array}{l} \psi = \left(k K_{eq,i} \frac{x}{v} \right) (1-\varepsilon) \\ \uparrow \\ k = K_a / K_{eq,i} \end{array} \right\}$$

$$\alpha = k (t - x \varepsilon / v)$$

Besselsche 'Formel':

$$\left\{ \begin{array}{l} \frac{\partial \phi}{\partial \rho} + \frac{\partial \psi}{\partial \alpha} = 0 \\ \frac{\partial \psi}{\partial \alpha} = \phi - \psi \end{array} \right.$$

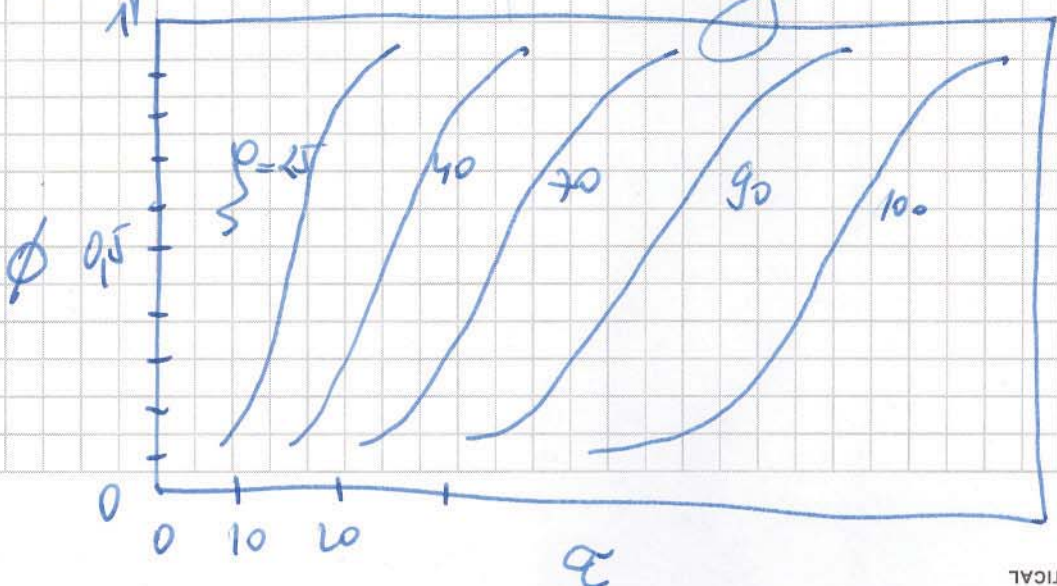
Resümee:

$$\frac{c_i}{c_{i0}} = e^{-\xi} \int_0^\infty e^{-\mu} I_0(2\sqrt{\xi\mu}) d\mu + e^{-(\alpha+\xi)} I_0(2\sqrt{\alpha\xi})$$

helle Besselova funkce

$$I_0(2\sqrt{\xi\alpha}) = \sum_0^{\infty} \frac{(\alpha \xi)^n}{(n!)^2}$$

pro praktische 'V'j'oc' nevhodne' \Rightarrow maz je
Plife (?) s vnit' buherich



Exaletní model:

- koncentrace + podélne' prouďového výkonu
v hranici fáze podél teploty
- průstup mezi hranicemi a průvodu fáze'
- rozvoj velkých mezi s-l
- difuze iontů čisticích sorbentu

$$\frac{\partial c_i}{\partial t} + \frac{v}{\epsilon} \frac{\partial c_i}{\partial x} - D_{eff.} \frac{\partial^2 c_i}{\partial x^2} = - \frac{1-\epsilon}{\epsilon} \frac{\partial \bar{q}_i}{\partial t} \quad \begin{array}{l} \text{objemové} \\ \text{průměr růžky} \\ \text{konzentrace} \\ v čisticích \end{array}$$

$$\frac{\partial \bar{q}_i}{\partial t} = K_a (c_i - c_i^*)$$

$$\frac{\partial q_i}{\partial t} = D_s \left(\frac{\partial^2 q_i}{\partial r^2} + \frac{2}{r} \frac{\partial q_i}{\partial r} \right)$$

q_i = "normální" koncentrace v čisticích

SUPERKRITICKÁ EXTRAKCE

= extrakce superkritickým tekutinám (SCF)

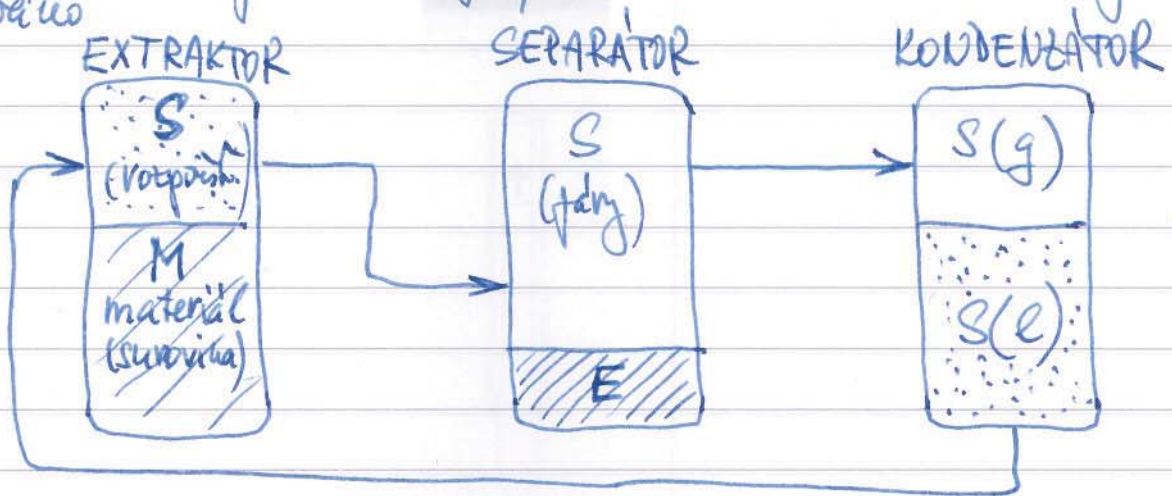
- bezalihová extrakce zahájí se kejsťarskou separačním technikou, a i v dnešní době zahájí se jidly a nejčastěji uvozují technikou v technologii metanem.
- Užívají problemu bezalihové extrakce řešit vyrovnávka: obvykle mají nízký (polárnost) \Rightarrow pracuje a často hrají roli na boku; existují různé databáze plastonosti, rozdílností, ale již bezalihové extrakci se správce využívají, vysoko využívají sítobeny \Rightarrow predikce chování je velmi obtížná a nejistá.

- ALTERNATIVNÍ PROCES: extrakce superkritickými tekutinami \Rightarrow vysoká selektivita a (jedinečné) pracovní kontrola rovnosti. Pracovní proces slabší a efektivnější.
- v dnešní době se týká výroby (?) pracovního superkritického CO_2 (který je otocitelný a kontaminant!!)

- Obeckova/ Schlema extrakce: (bezalihové i superkritické)
pracovní materiál se vloží do ekstraktoru na vakuu, do kterého se pak

(2)

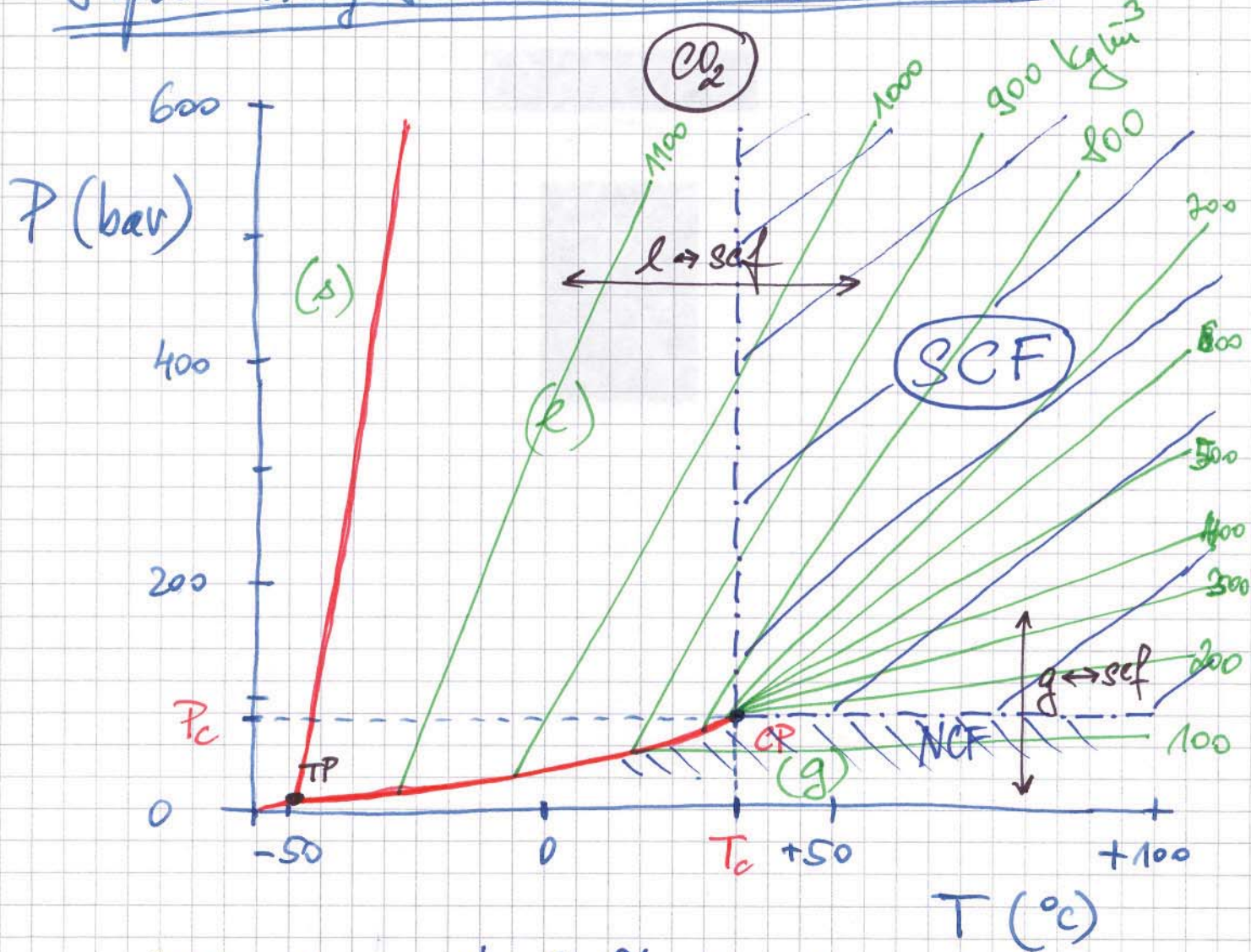
gi'vede rojnostidlo sa podem' uch, lebetu' maximalisti! rojnostidlo sa'dani' stu' slo-slo-dlo. Rojnostidlo je pak gi'vede celo' do se para'fore, ve telle' u'jor podem' u'jus taveg tak, aby doslo k selektivu' u'jus oddelenu' rojnostidla od nejste' y'ch slo-zeke. Rojnostidlo je pak kondensatoru' a recylo-beru'.



- gi' koncen'u' katalitove' extrakti se teli' vaj' nejli's behava' rojnostidla (takto faru' ji vyrasni' teli' u'jus atmosferick'), bera' spon' a katalitnu' sluzbenu' v' extraktoru' stupni a v faru' fazi gi' separaci (destilaci).
- gi' superkritich' extrakti je rojnostidlo krito gi' extrakti v' superkritich' faru'. Pri separaci gi' chasi' do plyne-hos faru' (sni' se u' stalem).

Superkritikus gáz a vlastnosti: SCF

3.



NCF = near critical fluid } v tečn. praxi
 SCF = super critical fluid } se používá

- přechod $l \rightarrow SCF$ nebo $g \rightarrow SCF$ mezi 'fázovými vztahy', protože 'nesamice' / 'nečistoty' / 'fázové rozhraní' / 'fázové hranice' („kritické“ opalescence)
- kohesií níž molekulacemi SCF jež klesá \Rightarrow vysoká fluidita = nízká visko-sita SCF tekutině (= technologické využití)
- SCF nemusí být shora lehký svítilenem flaku!

$$T > T_c, P > P_c$$

spíše 'vysoké', SCF

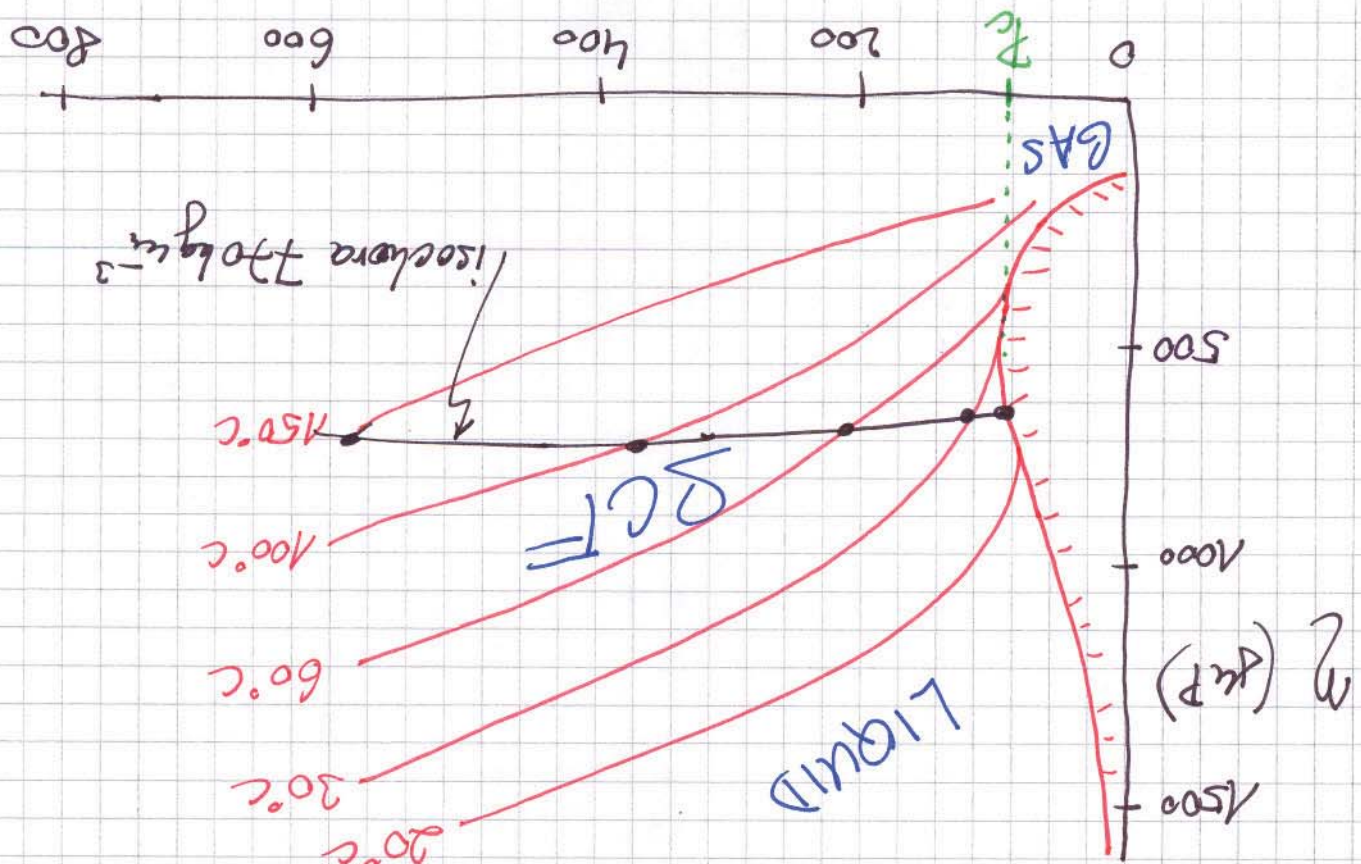
- rada béz yich rosposte del fü salin' valin' (4.)
projile de SCF, ale je ichi beni kicha'
tegloka je füli's ys ola! (heean : $T_c = 234^\circ\text{C}$!)
- NCF: ushe' teglot \Rightarrow posibilnost yo
termosakilim' latth

Latth	Vloree	T_c ($^\circ\text{C}$)	P_c (bar)
Otid white'	CO_2	31,1	73,8
Otid dusky'	N_2O	36,4	71,5
Amoniake	NH_3	132,4	111,3
etan	C_2H_6	32,2	48,2
propan	C_3H_8	96,6	41,9
ethylene	C_2H_4	9,2	49,7
Freon 13	CCl_3F_3	28,9	38,7

• Hustota SCF / CO_2

- v kapalni'm NaOH (l) se jehom beno' ledni' \rightarrow haleniu (u mesblačibem' telentina')
- v SCF slame se hustota \rightarrow haleniu beni' velni' silne' / silna' sfaci - telost rospostebla
- hustota \downarrow je sahladen' jaramet, kety' orlivinyj nojsustnost slonde'!

$$V_{ODA} \cdot h = 10^2 p = 10^4 m^2 p$$



Vitro la SCF/CO₂

5 - What would happen if there were no oil or gas reserves?

Teknicky výhody hřešného využití SCF:

- pro extrakci z povrchové fáze (glyukozalín) SCF může po dobu 1 hodiny čistic a suadit proti hřešné i do povrchu o čisticích.
- pro extrakci hřešného surového SCF s hřešnou využitím plynů (solářské využití) (vlastnosti využitelného povrchu) \Rightarrow jiné hřešné funkce odporu (např.: surový lecitin + propan \Rightarrow snazší extrakci fosfolipidů).
- pro dopracování SCF pro hřešného halíkovej \Rightarrow může provést funkci s hřešnou jinou cestou (halíková sanáre!!!).

Difusivita

- v hřešných využitích může je difuze usnadnit (výrobek) hřešna \Rightarrow difusivita slouží je výrazně výšší než v lepce lepidlo.

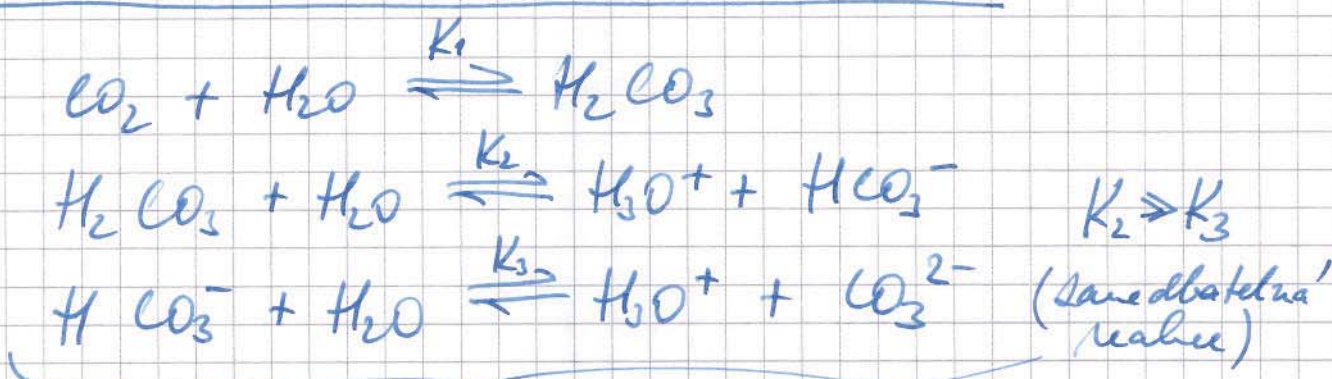
např.: hřešna pro lepku TaP: $D = 4 \times 10^{-9} \text{ m}^2/\text{s}$
pro SCF $D = 4 \cdot 10^{-8} \text{ m}^2/\text{s}$

Těkavost (halíkov)

- v hřešných extraktech se rozpusťuje do reagentu destilační \Rightarrow sytěná expota (a může být halík) \Rightarrow hřešná slouží extraktu molen byl straceny!

- 7
- SCF a NCF jím by sece, teorie¹⁴ a teorie
lyk regenerování jiní kyslík neplňáček
 \Rightarrow jinému stále větší! a nedo-
chází k degradaci kalciumu v kostech!
Rozvoj kdežto ji komplex říká odstranění
z produkce (legislation' řešení!)

• Chemické vlastnosti SCF CO₂



SCF CO₂ máže s vodou a vodou
 \rightarrow měny hodnoty pH:

voda + atmosf. CO₂ / 20°C : pH = 5,7

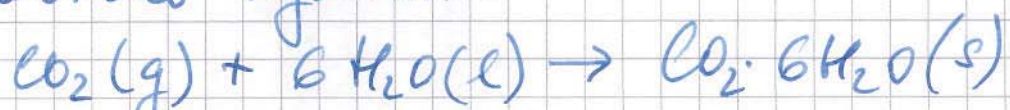
voda + cihl. CO₂ / 20°C : pH = 3,8

voda + kysel. CO₂ / 100 bar : pH = 3

typická hodnota
již SCF se ztrácí!

je-li acidita nepřijatná, můžeme do vody
dát HCO₃⁻ aniont!

! horba pevného hydrátu



nestává pro T < 10°C \Rightarrow neplňáček
již používá SCF CO₂ ve vodě k
prostředí využití výšší!!

Rozsudnosť slávky v SCF

a) obecné princípy:

- i) SCF výhľadu' veleni slábe' mesi korelaciu' intervalec \Rightarrow pod v princíplem nezávislosti'
- ii) solvatačnú energiu SCF jasne nazýva' výhľadnosť pod v'
- iii) SCF výhľadu' ponúkne dobré selektivitu pre nejčastejšie sa vlastnosti na fotonívach (P, T)

b) vliv vlastností slávky:

- molekulačná struktúra:

- i) výhľadnost lepta' \rightarrow výhľad 'polárov' (CH₃OH - rozvedly', etyletniketon, glykol - bádne výhľady, ...)

- ii) výhľadnost lepta' \rightarrow výhľad 'molek. hmotnosti'

- iii) výhľadnost slávky vystre se stupňom výhľadu' kde je výhľad 2,6,10,14-tetra methyl pentadekan (prop.) a n-mona dekan (norp.)

9.

iv) napes frosst roste a obsahem
menasyce vlc k vaseb

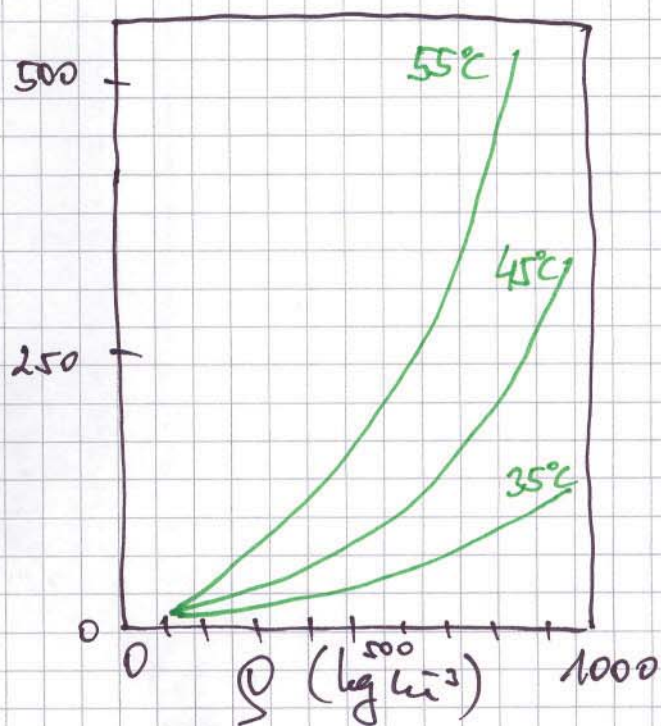
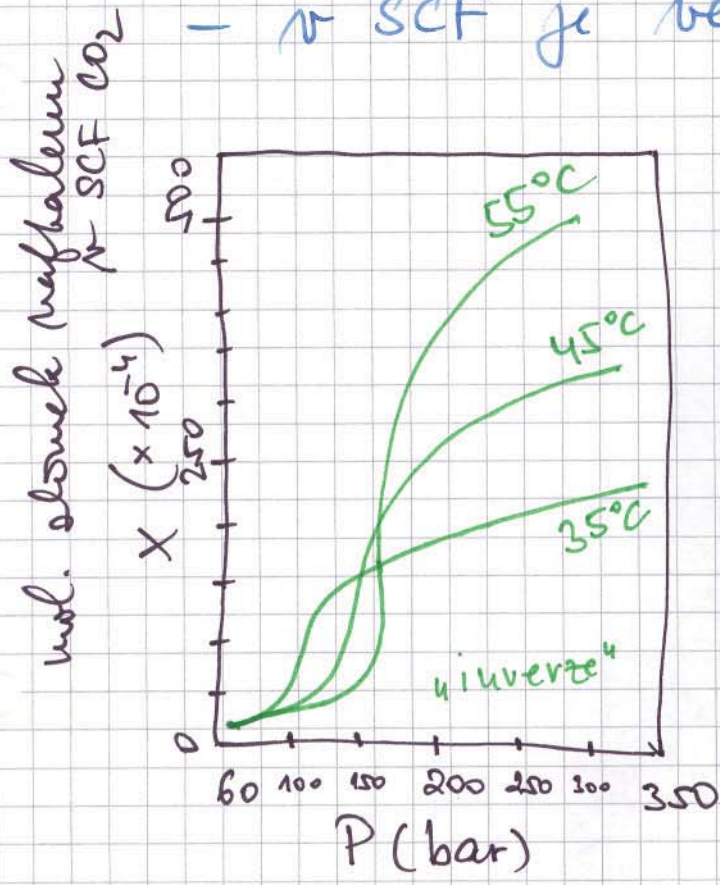
1- obla deker \rightarrow obla deker
 10% rtop.
 1% rtop.

v) aromaticke' slaz maj! vys! nepr-
 gnost

vi) makromolekuly a vysoce polam'
 struktury jde trubice neprast-
 ke' v SCF

c) oliv teploty a tlaku:

- v "norma" kudl' lezali na ch' leze' jde nestlac' bele' ji oliv 'tlaku same dba tel'
- v SCF ji velmi sily!



- Existují i teoretické / termodynamické modely využívající SCF - náleží všechnu dátování!!!
- málo dosavadních dat pro teoretické modely!

• EXTRAKCE Z PĚVNÉ FAZE < výklopná spoluoblast energie?

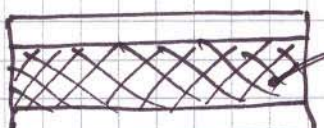
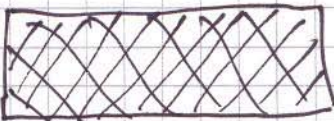
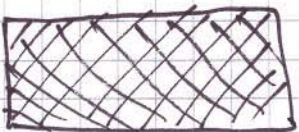
• Extraktce stupen:

Výběrovým rozpoznacím složek a počtem
matice, ve které je na počátku
zadaného množství výběru

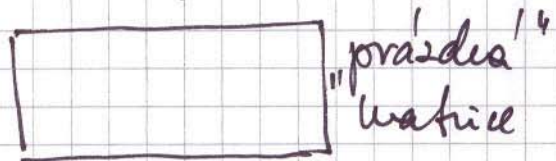
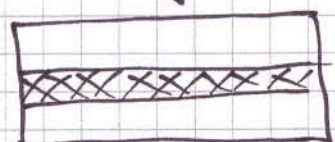
- výklopná výběrová sazba:
 - parametry / koncentraci extrakce
 - distribuci složek v matici
 - formu a velikost cistic funkcií v matici
 - geometrii fóri v matici

↳ popisu mechanismu extrakce
se používají dva modely:

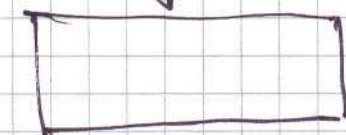
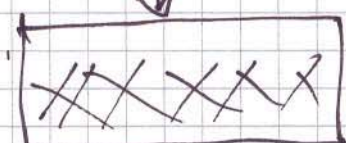
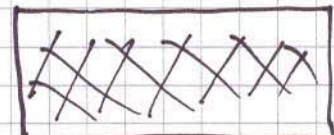
- model zhušťujícího se jádra
- model volné difuze



matrice
obsahuje 'ci'
at. skupin



"prázdná"
"matrice"



"shrinking core
model"

"free-diffusion
model"

• Model volně difuze

- "volně difuze" se uplatňuje, když mezi fyz. fázemi slouží v SCF je velmi vysoká \Rightarrow volně difuze ve všech součástech v pohledu matriky matrice
- rozpusťnost (S) může být podstatně větší než koncentrace (C) v pohledu na množství sloužící dleme' obsahem SCF v pohledu

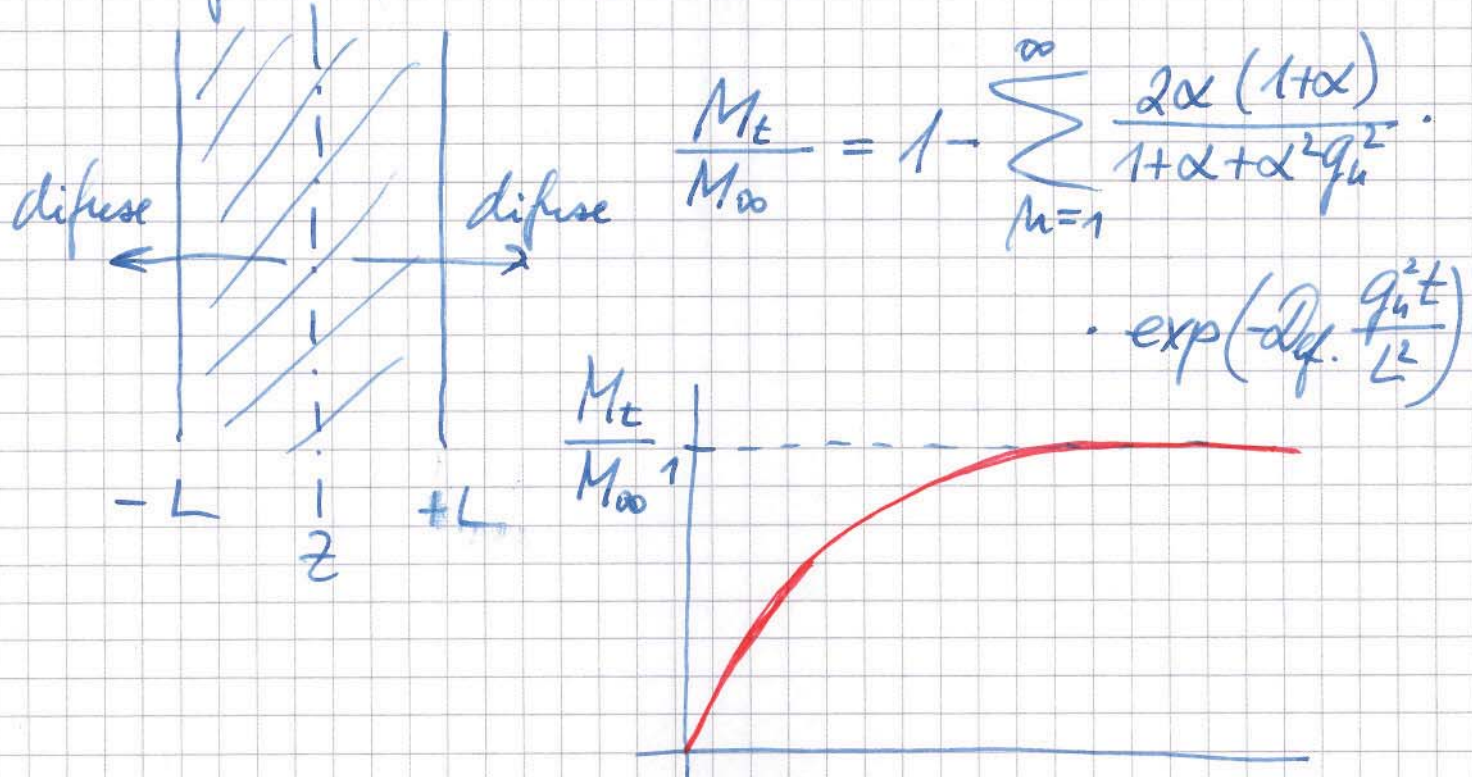
$$S \gg C$$

$$C \gg C_{\text{sat}}/E$$

koncentrace pohledu na celou oblast matriky matrice

menší rozloha matriky \Rightarrow SCF

- sa běží do dnu hrd. rov. sloučit v matice. migruje do podzemního čisticího kanálu především do odsoleního vodotoku
- řešení difuze v nové (v čisticí) vodě určit toto řešení do vodotoku a pojetí vlivu vlnového řešení v vodotoku lze odvodit sám z řešení sloučit vodotoku v ležatkové fázi na dase
- např.: nulového dešťa



M_t ... hustota vyloučené v čase t

M_∞ ... \dots po mnoha letech doba!

$$\alpha = \frac{V_{\text{vložek}}}{V_{\text{dešťa}}} \quad \theta$$

$$\tan q_n = -\alpha q_n \quad \leftarrow \begin{array}{l} \text{první nezáporný} \\ \text{korek!} \end{array}$$

$$D_f = \frac{\epsilon D_e}{\alpha} \leftarrow \text{ve volne kapalina} \quad (13)$$

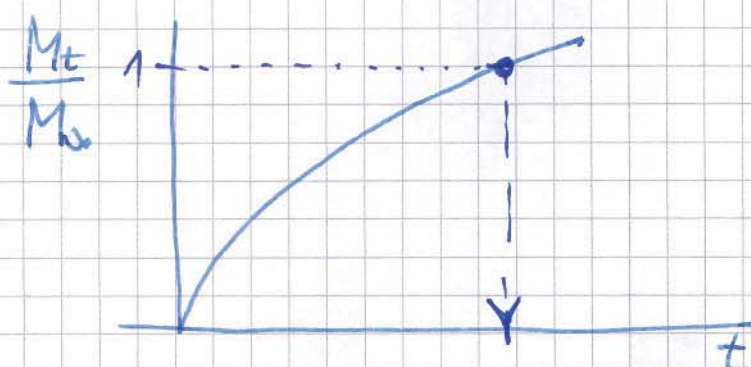
[cf. Crank J.: Mathematics of Diffusion. Oxf. Univ. Press 1989].

- Model zmeuščejáho se jadra

- tempo mechanismus se replikací, hmoty a pustiny slouží ji hleda' $S \ll C_{bf}/\epsilon$
- u povrchu matice (ve vnitřním slupce) se vytváří naoryzy, výběh, různy, je v různých s důsledkem různého typu "jádrem"; složka (fornálu) difunduje do oboluho rostoucí a jádro se soustřídí / posouvá ke středu kůže
- lze odvodit (pro desku o tloušťce $2L$)

$$\frac{M_t}{M_\infty} = \sqrt{\frac{2 D_f \cdot S \cdot t}{L^2 C_{bf}}} \rightarrow$$

je proporce
t, hdyž se
větší složka
vyloží

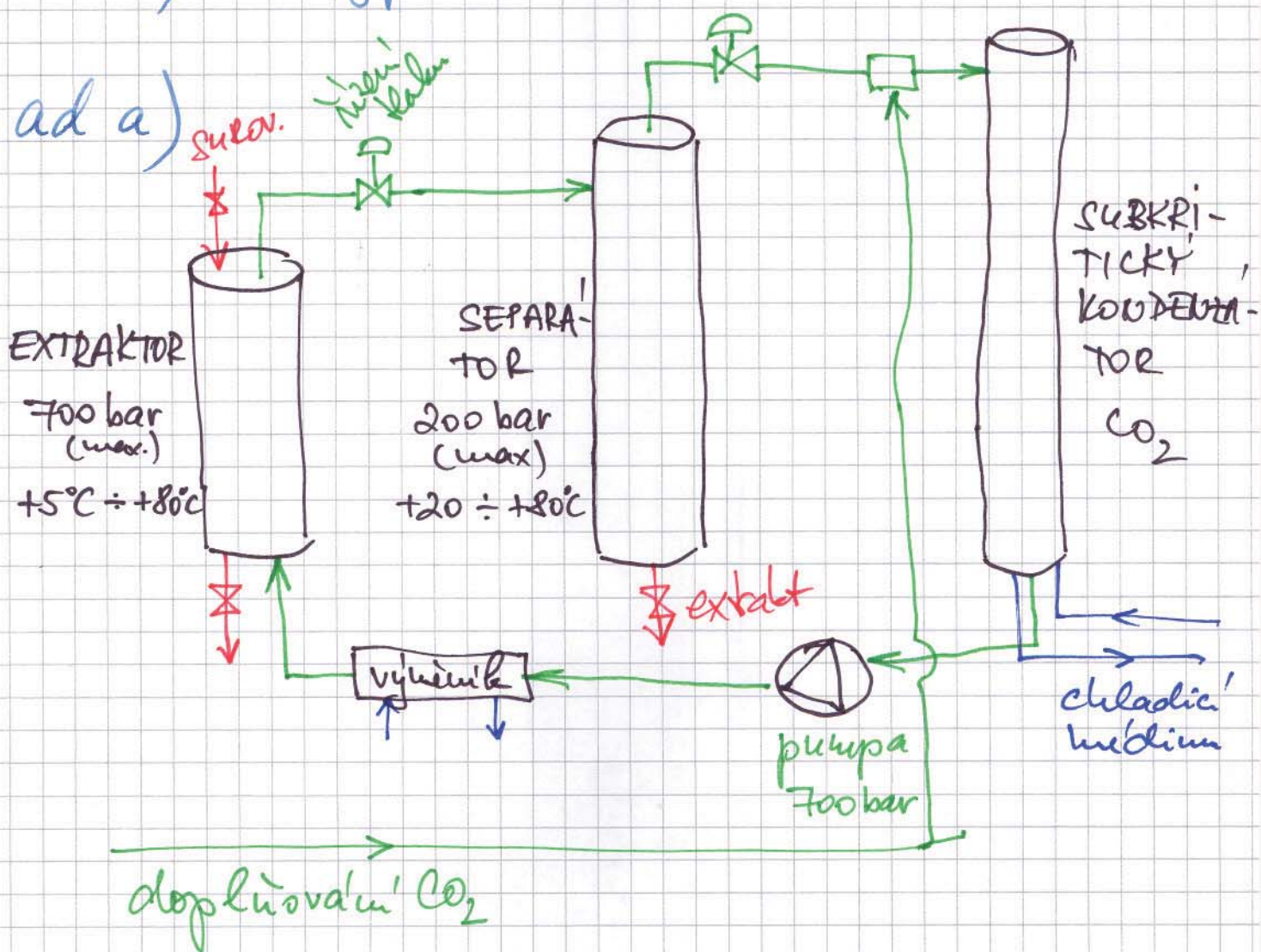


Separaci' slizenu

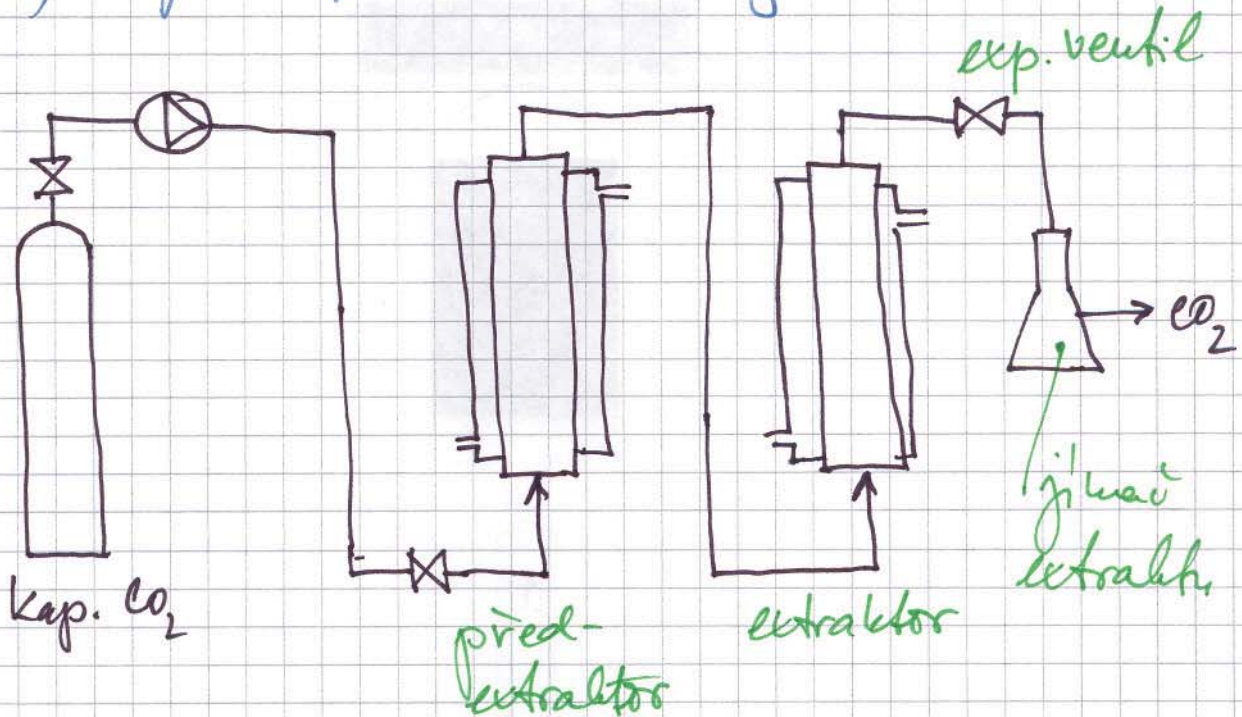
- slizem' slizen \Rightarrow polles ropus krosh
 \rightarrow vysok' energ. bal'zen, protore
 plyn je mucus ojet slouhujitko-
 bab (a ochladit!)

Zanízen' pro SCF extraktor

- \rightarrow recirkulace' CO_2
- \rightarrow vypráškova'm CO_2

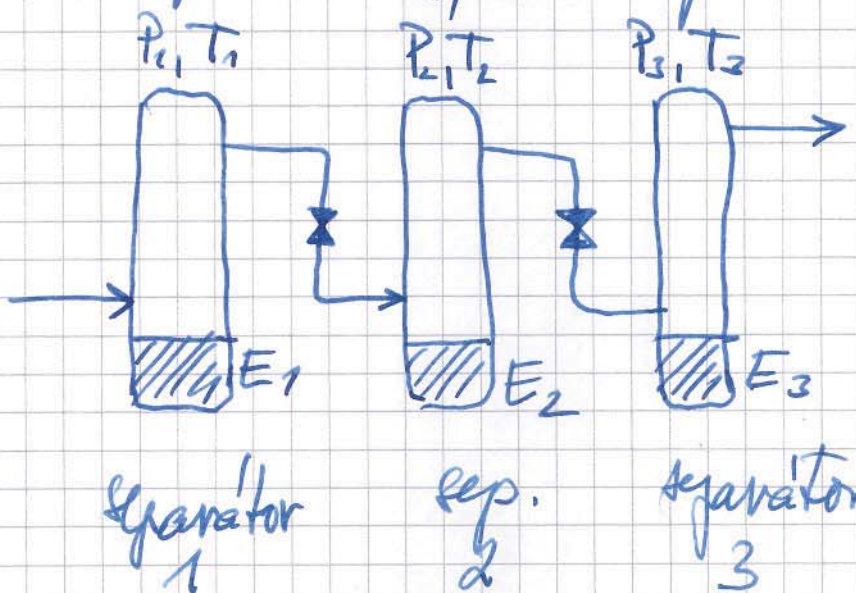


ad b) pouze pro male objemy (?)

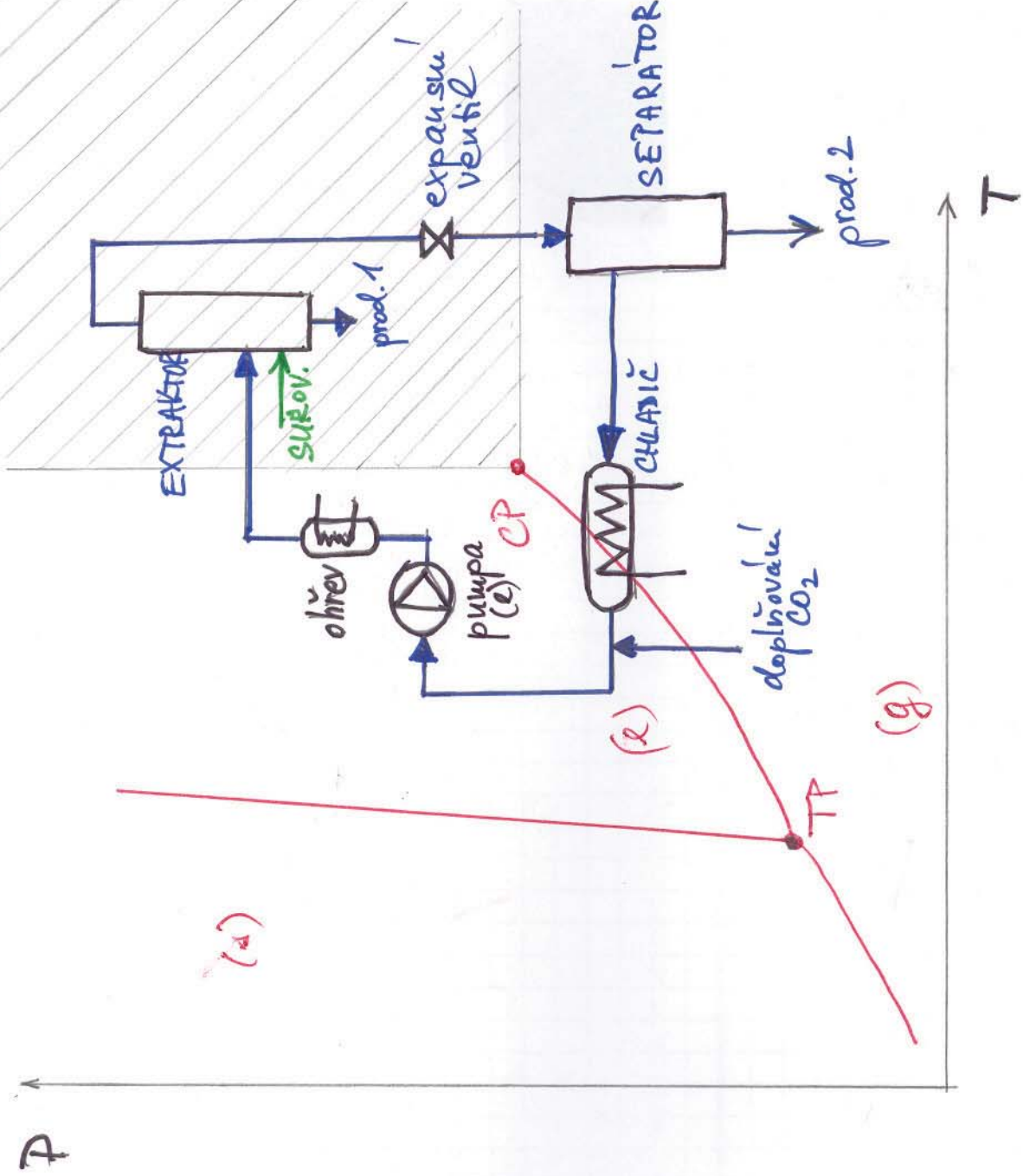


- flašovací v separaci fází:

Kombinace separačního s postupným řešením -
čím flášem a/nebo teplotou.



SCF



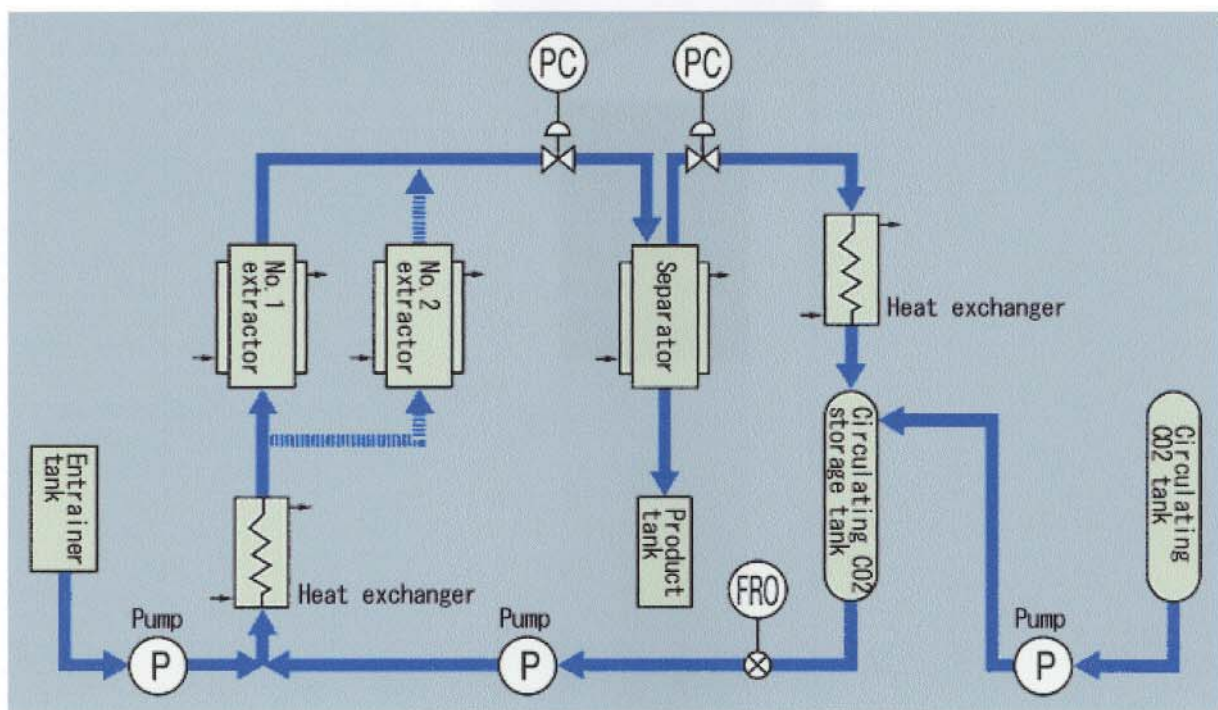
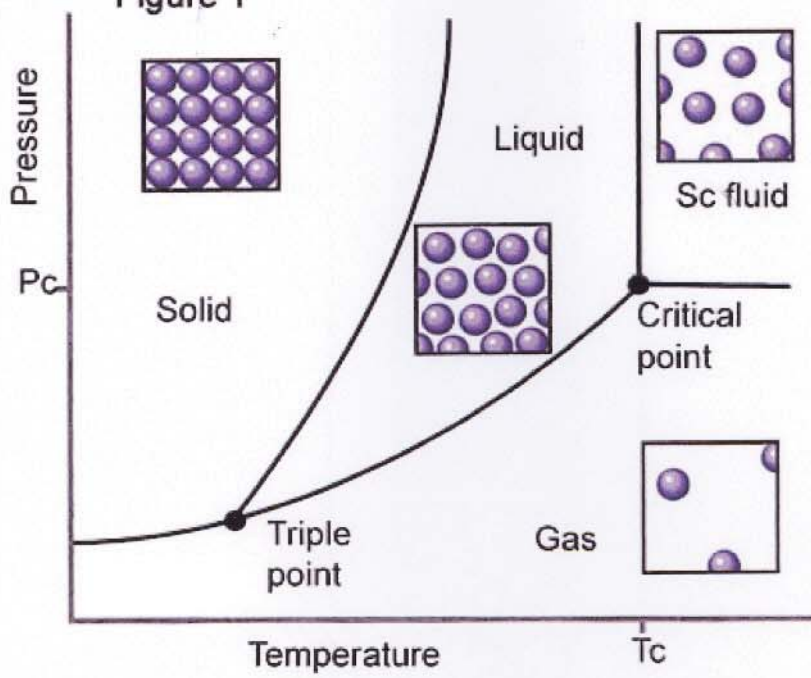


Figure 1





Property	Density (kg/m ³)	Viscosity (cP)	Diffusivity (mm ² /s)
Gas	1	0.01	1-10
SCF	100-800	0.05-0.1	0.01-0.1
Liquid	1000	0.5-1.0	0.001

Fluid	Critical Temperature (K)	Critical Pressure (bar)
Carbon dioxide	304.1	73.8
Ethane	305.4	48.8
Ethylene	282.4	50.4
Propane	369.8	42.5
Propylene	364.9	46.0
Trifluoromethane (Fluoroform)	299.3	48.6
Chlorotrifluoromethane	302.0	38.7
Trichlorofluoromethane	471.2	44.1
Ammonia	405.5	113.5
Water	647.3	221.2
Cyclohexane	553.5	40.7
n-Pentane	469.7	33.7
Toluene	591.8	41.0

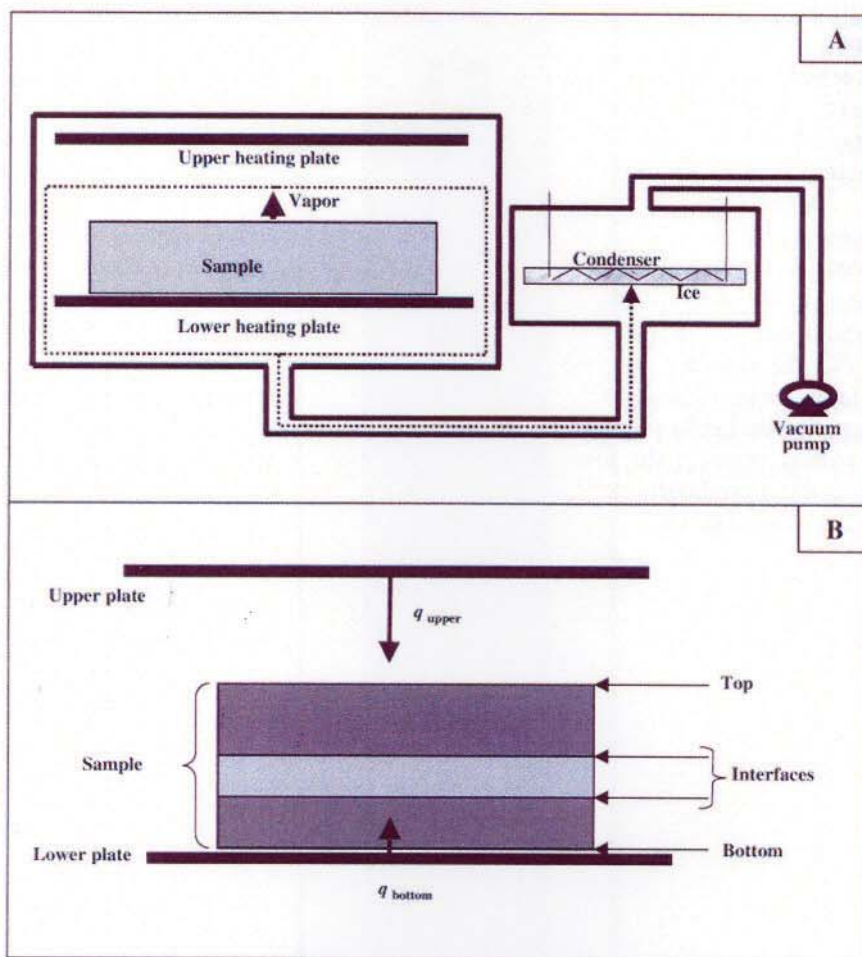
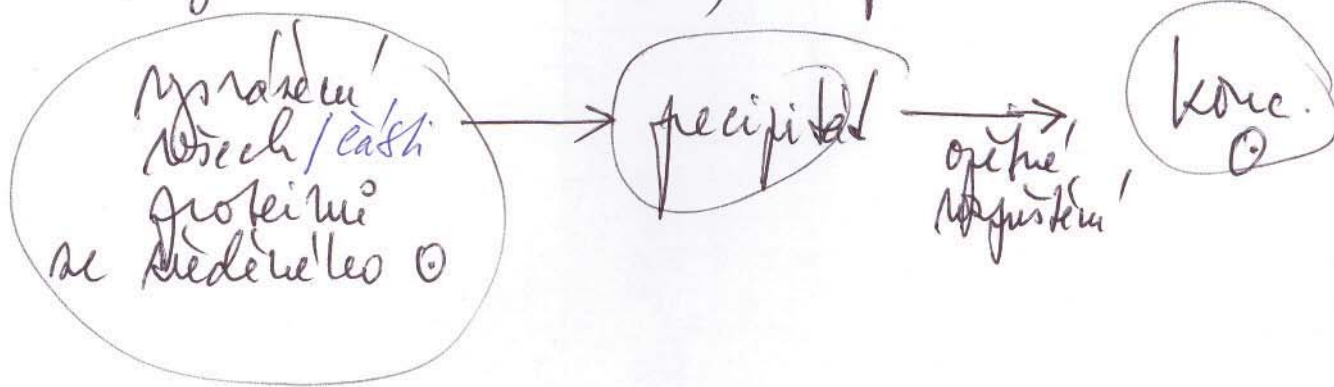


FIG. 1. (A) COMPONENTS OF A FREEZE-DRYER. (B) DETAILS ABOUT THE MECHANISMS OCCURRING DURING FREEZE DRYING

①

Grášen'/precipitace (bilkovin)

- výkrodovalná fáze → rozložení (*Escherichia coli, alioholy...*)
- význam / proces při purifikaci proteinů, zlepšování v průběhu etap
- Ulhovy : lehota' metoda
jedno druhá' sádka'
kontinální hydrodynamická
sledy' produkty = protein v lehotě
jedna je (po vysádce) stabilní
- když se opíre pro větší množství
- maximální protein je relativní množství
než jde množství jich later (NK, lipidy)
⇒ předpurifikace + frakce vace
- výše množství často (?) nemá' purifikace
dostatečnou, ale Grášen' množství mohlo být
= systém' koncentrace, nap.:

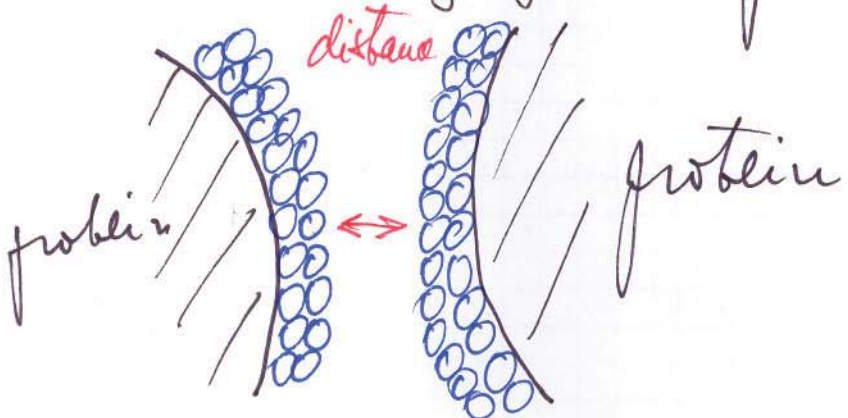


③

$\Delta G \sim 40 \div 80 \text{ kJ/mol}$

dost výšle' hodnoty \Rightarrow stabilní konformace může být jen jedna kandidátka!

- ve vodním roztoku se molekul voda má na povrch molekulu proteinu (elektrostatické interakce), obzde je důležitá voda (ve vnitřku voda je v molekule voda orientována s atomy H až proti O atomu proteinu až ke vzdálenosti mezi vodní molekulou voda (neorientovaná))
- hydratační voda framí ikevřeji molekulu proteinu \Rightarrow udržuje ji v organickém stave



- hydratační voda stabilizuje strukturu molekul proteinu: přimá → struktura a sec. → struktura

• Veličina molekula

(4.)

povrchového napětí, např. na případech, kdy k vodnímu proteinu je přidávaný nejsolný polymer, který protein vytváří s vodou např. polyethylenglykol

$$\ln \frac{S}{g_1} = \beta' - K' \frac{C_p}{V} \quad \begin{matrix} \text{konstanta} \\ \text{konstanta} \end{matrix}$$

rozsprášení
proteinu

$$K' = \frac{V}{2,403} \left(\frac{r_s + r_r}{r_r} \right)^3 \quad \begin{matrix} \text{parciální spec. objem polymeru} \\ \text{velikost polymeru} \end{matrix}$$

velikost
molekuly =

polymér,
molekula,
molekula

velikost polymeru = velikost
molekuly

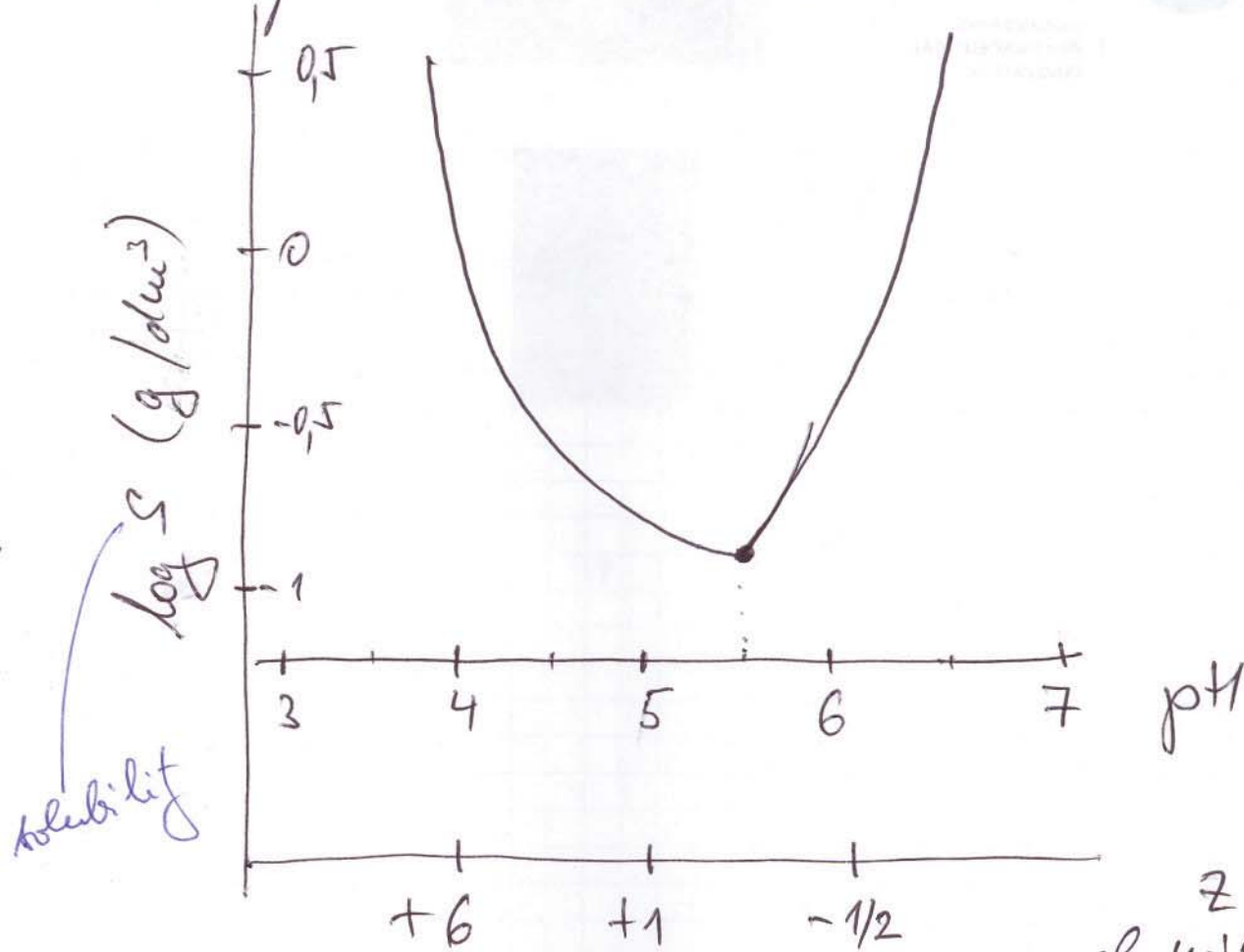
• Elektřická vlna molekuly

- aktivity elektřického pole by mohou ovlivňovat
- rozprášení proteinu
- "druhé polární pole", kdy druhací polární molekulální pole
 - = vlna po odporu, kdy druhací polární molekulální pole
 - = molekula proteinu se stále vzdáleněji odporuje ⇒ další zvýšení rozprášení

- maloj molekulej probíráce lze „uvařit“
když zvýšíme pH v roztoku

(5)

intenzita $\rightarrow 0,1\text{M}$ Náleží



el. uvař
molekule

Vliv rozpouštědla

rozpouštědlo ovlivňuje různou množství pro lehkou
penetraci stupněm hydrofobicit a
zdrobové síly

- stupen hydrofobicit: byl studován pro alko-
holy

methanol < ethanol < propanol < butanol

→ růst hydrofobicity a
decrese vodní / grašecí
efekt alkoholů

ionova' hla vysokobedla: ^{roz. je násobek soli!!} ^{6.} ^{muž podporoval}
 rozmístění i "na koncích" ^{"vysokovací"}
 "vysokovací"

Kirkwoodův model:
 (1943)

$$h_v \left(\frac{S_p}{S_0} \right) = K_i I - K_s I$$

^{rozmístění proteinu}
^{vysokovací}

rozmístění $h_v = 0$
 (již absolv. soli)

K_i = "vysokovací" konstanta
 salting-in

K_s = "vysokovací" konstanta
 salting-out

$$I = \frac{1}{2} \sum_i a_i z_i^2$$

$$K_i \sim \left(\frac{\kappa}{\epsilon T} \right)^2$$

$$K_s \sim \frac{V_e}{\epsilon T}$$

E... dielektrické
 konstanty roz.

objem výškových ionů
 soli

n... dipolový moment molekyl proteinu

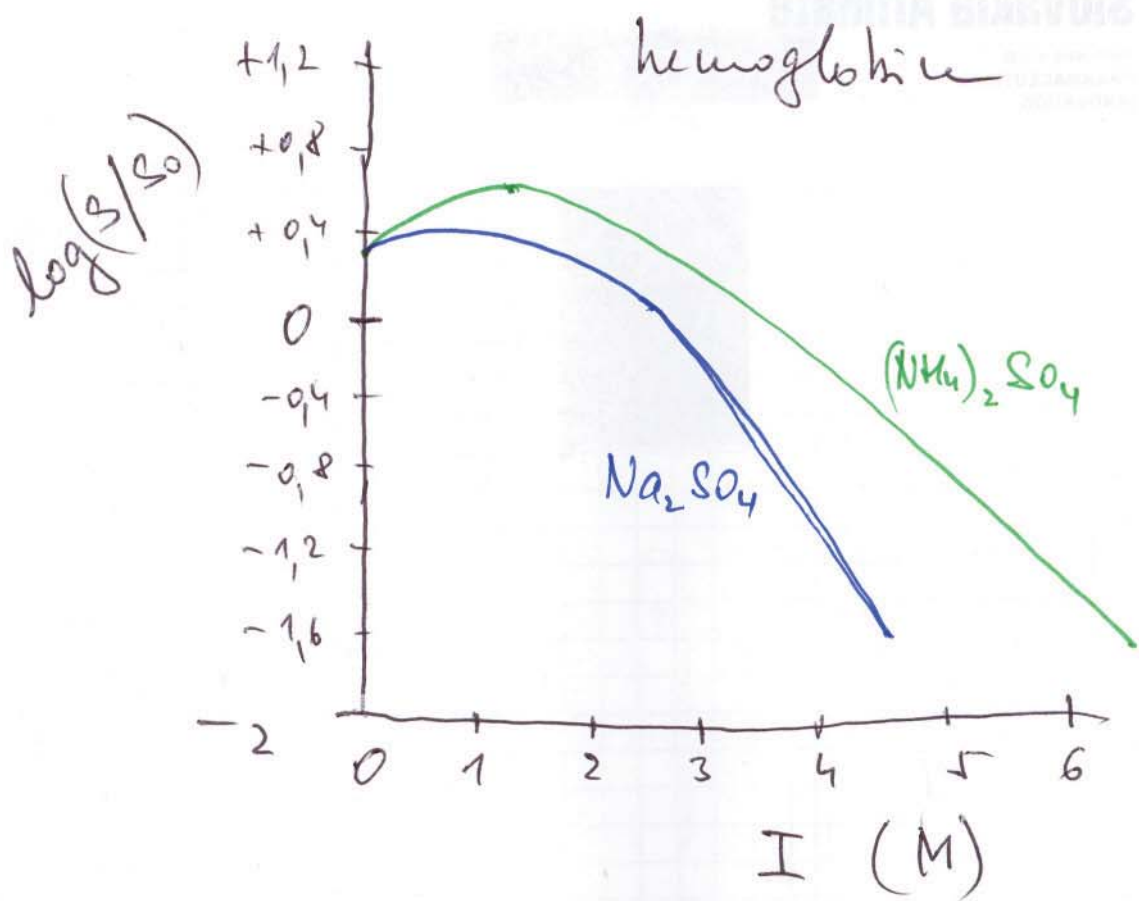
již vysoká koncentraci soli přeblaď!

vysokovací efekt:

Cohnova reakce:

$$h_v S = \beta - K_s' I$$

= rozmístění již $I=0$
 salting-in efekt!



Pr: Experimentálny graf naznačuje stabilitu proteinu v roztoku $(\text{NH}_4)_2\text{SO}_4$. Pôvodné koncentrácie proteinu sú také 15 g/dm³ (bez fádavku $(\text{NH}_4)_2\text{SO}_4$). Tu koncentrácia je v rozsahu medzi 0,5 M a 1,0 M čiže 102% jeho stahlosti (systémová koncentrácia) proteinu je 13,5 g/dm³ a 5,0 g/dm³. Ke sa zlepšiť 100% koncentrácie proteinu koncentrácia $(\text{NH}_4)_2\text{SO}_4$, na ktorú je vložený 95% protein!

Res: ke všetkym kolom a rovnicam, pohľad nájdeme koncentráciu koncentráciu: iontová miera je fiktívna vedenia konc. soli \Rightarrow kolonu ke všetkym sekvenciam:

$$\ln S = \beta - K_s^* C$$

(8.)

$$\begin{array}{l} \ln 13,5 = \beta - 0,5 K_s'' \\ \ln 5,0 = \beta - 1,0 K_s'' \end{array} \quad \Rightarrow \quad \beta = 3,60 \quad K_s'' = 1,99 \text{ M}^{-1}$$

für 95% ylereh protein

$$S = 0,05 \cdot 15 = 0,45 \text{ g dm}^{-3}$$

Cohnova ree:

$$\ln 0,75 = 3,60 - c \cdot 1,99$$

$$c = \frac{3,60 - \ln 0,75}{1,99}$$

$$\underline{\underline{c = 1,95 \text{ M}}}$$

Kinetika maku' - velikost cistic

(9)

- nejprve sadaou' cistic je cipita' po maku' bes cca 1mm \Rightarrow jeho je usazeno v'kteru puebo lehk' frigaa'
- prakem' ji sebe uci' hrobu: (frib'vaj' se, hej, pro)
 - (1) jocakebu' m'cicu' $\xrightarrow{\text{realizace}}$ m'cicu' m'cicu'
 - (2) mu hlace = horba pulha $\xrightarrow{\text{vlny}}$ vlny do stekla do kontaktu!
 - (3) difuzu' m'cicu' cistic
 - (4) m'cicu' cistic ucy' konvekce v'ku
transportem

dostobu' m'cicu' a prakem'

(1) jocakebu' m'cicu': proces glasazem' ke m'cicu' po jidlu, m'cicu' ho v'kida = molekul proslivu' a prakem' je m'cicu' jidla do kontaktu / kolize co nejry chlej,
 \Rightarrow m'cicu' do stekla na m'cicu' m'cicu' m'cicu'

velikost b'ni o turberaturu' pram'elea'vane'
kapaline' m'cicu' Kolmovo rov

$$b_e = \left(\frac{P V^3}{T N^4} \right)^{1/4}$$

specifický
gulor kontaktu
je velikost
b'ni \rightarrow homogenitu'

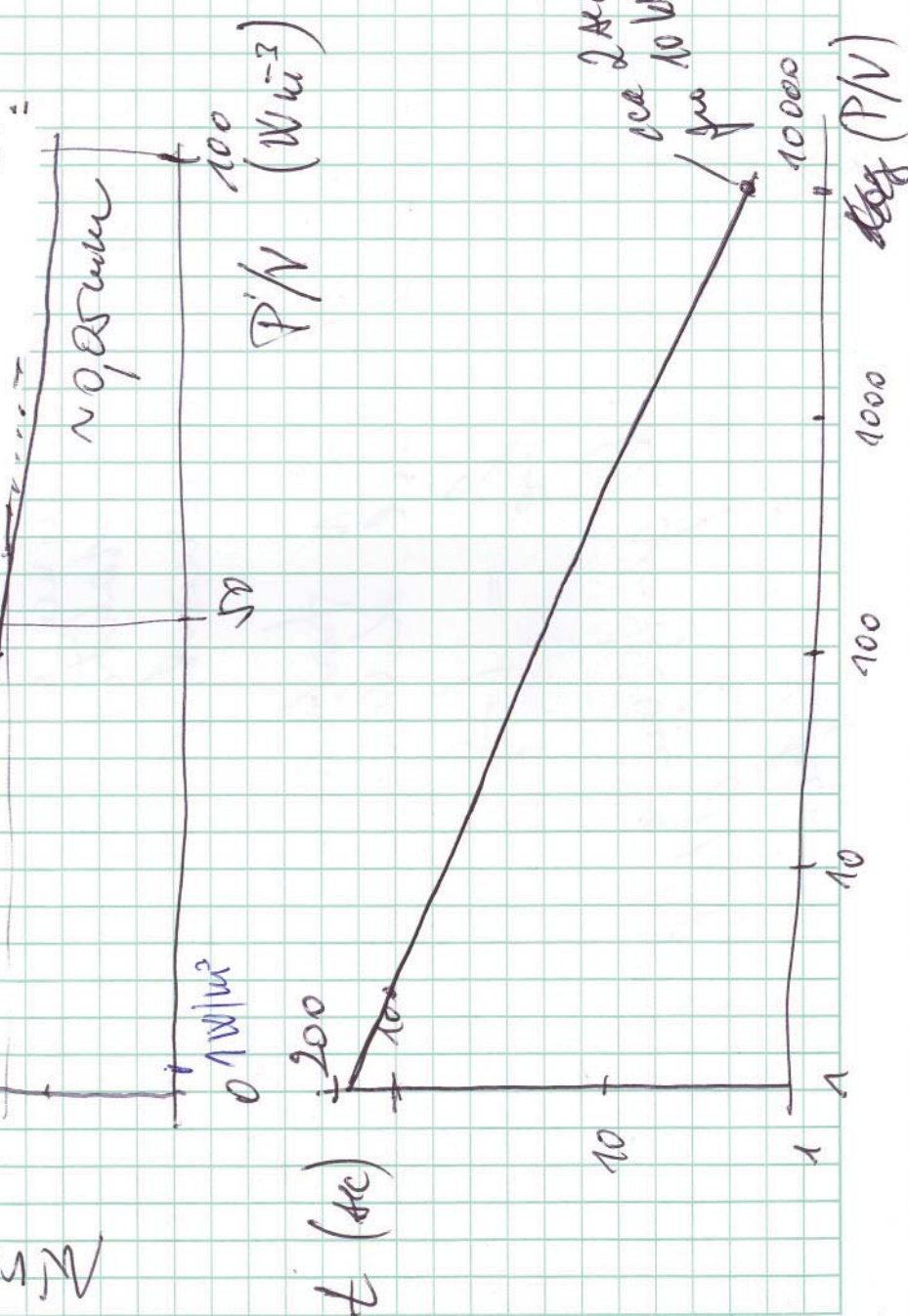
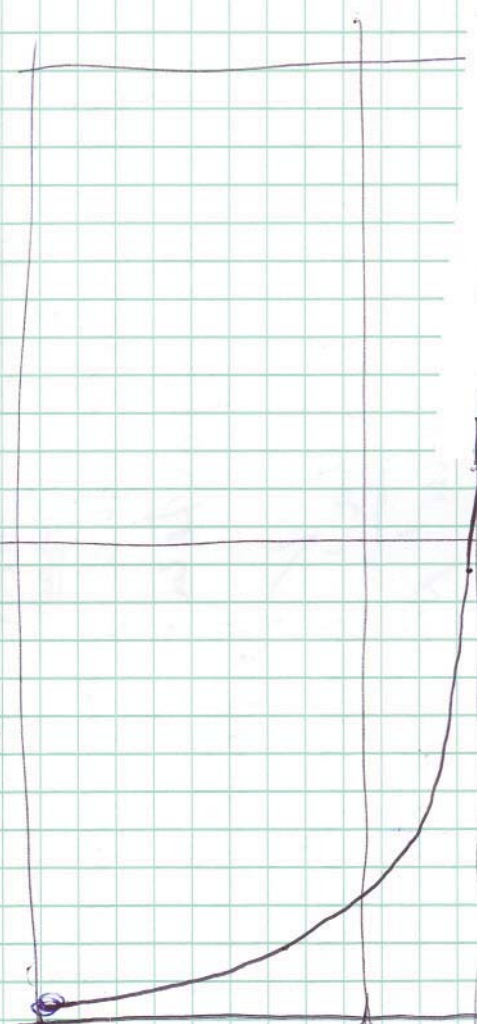
Anes' rostoku proslivu' a prakem' je m'cicu' m'cicu' tak obouho, aby m'cicu' m'cicu' cists' difuz' m'cicu' m'cicu'

diffusion, dichte (kg/m³)

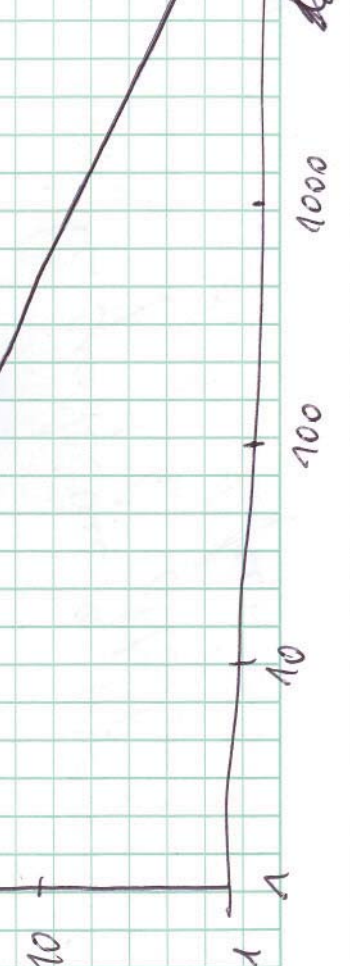
Wasserdruck (m)

für Nadel
 $S \approx 1000 \text{ cm}^2$
 $\Rightarrow 1 \times 10^{-6} \text{ m}^2 \text{s}^{-1}$

Stoffe



Diffusion
 $\frac{\partial \text{AC}}{\partial x} \text{ m}^{-2}$
 P/V

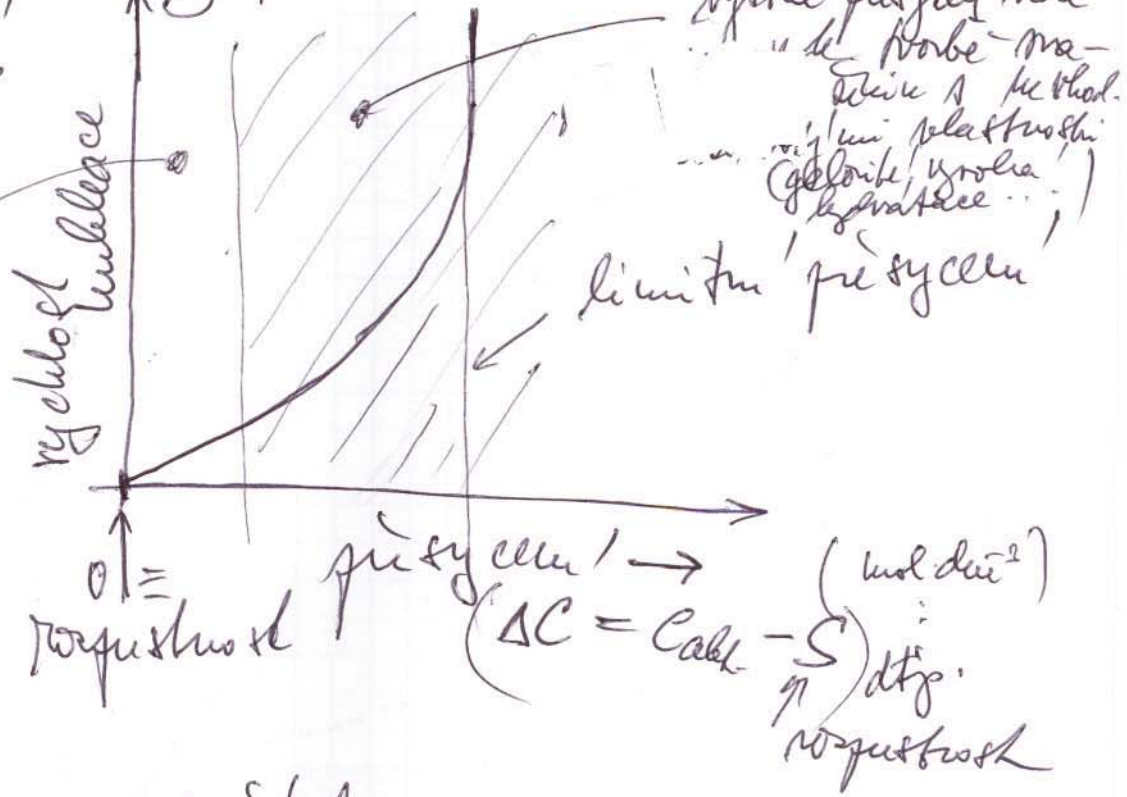


most le (pres cel' vr') \Rightarrow homogenization
 planeu' \rightarrow diffusion' Adalbert
 proporsional $t = \frac{\delta^2}{2D}$ Einsteini's relah
 pro kolorit' nij o veliko sti le

$$t = \frac{le^2}{8D}$$

so letos dobe'
 se sadej novi
 precipitate!
 \equiv sa'rody

(2) Miklance: Avorem' ^{ultra-} \rightarrow
 rodko' maseni'; limitus do sa'krovat
 presyren'



(3) difuzni' rast cistic:

pouz cistic o Regn'e'
 veliko sti (pros dispersi'
 frakce)

plus lecho volni:

rostou-ti cistic
 ce smuci se
 jidlo pouz
 a voda veliko sti
 pro

$$-\frac{dN}{dt} = K_A N^2$$

$$K_A = \frac{8\pi D L_{\text{mol}}}{}$$

pouz molar
 hou a precipi-
 tatu

$$N = \frac{1}{K_A t + 1/N_0} = \frac{N_0}{N_0 K_A t + 1}$$

↑
 počáteční počet
 katalytické = počet
 rozpuštěných molekul

počet katalytické dane' velikosti výška', protože
 velikost katalytické roste!!!

$$\frac{N}{N_0} = \frac{1}{1 + N_0 K_A t}$$

$$\left(\frac{N}{N_0} = \frac{M_0}{M} \right) \quad (N \cdot M = N_0 \cdot M_0)$$

po úpravě:

$$M = M_0 (1 + K_A N_0 t)$$

můžeme uvolnit koncentraci precipitátu

podleho experimentální - lineární
 závislosti M_0 na t platí pro určité
 počáteční periody/procely ($< 1\text{ hr}$)

Rust čistic precipitační kleny' kouzelné!

- rust čistic smadaj je nízke difuz' je u
pro čisticice o vodičkách cca do 1 μm
 - potom se sádrový uplatňovat flobulace -
characie, tj. kolize čistic a jejich pojednání
 $\odot + \odot \rightarrow \odot\odot$
 - flobulace čistic je vlivem:
 - elektrostatickou interakciu
 - ionizovaným vlnám
 - teplostou
 - Grosjechowskii:
 - $\frac{dN}{dt} = \frac{2}{3} \alpha L^3 g N^2$
 - kolism' hukovost
(podíl mrtvého materiálu
k trvalé aggregaci)
 - průměr čistic
materiálu
 - vyčlekoť,
omylevky,
deformace
(grad. vyčlekoť)
- typický (2)
 $\alpha = 0,05$

jistitelné jednoduše dálku, sú objemový slouček stanovený sifónovou konstantou, $\phi = \frac{\pi L^3}{6} N = \text{konst.}$
v řešení flobulace

$$-\frac{dN}{dt} = \frac{4}{\pi} \alpha \phi g N$$

po integraci:

$$\frac{N}{N_0} = \exp\left(-\frac{4\alpha\phi g t}{\pi}\right)$$

poch. čistic materiálu
v řešení, kdy je po velikosti jistitelné během difuzí

rychlosk snyhore' deformace: le odhadovat

se vektoru

$$\tilde{f} = \sqrt{\frac{PV}{\rho^2}}$$

studen' kedenfa
ve maledee

velikost
($L \geq L_0$)

Rozpad katic precipita'

- polevad velikost agregati / floku' dosahne mite'
prijeti' ho draf, svede lgi na'chyle' k rozpadu

- rychlosk rozpadu katic: turbulentu' reichen !!

- ji uvera' rychlosk snyhore' deformace
koncentraci katic (pocte holic')

rychlosk snyh velikosti katic \rightarrow rad (≈ 1)

$$\frac{dL}{dt} = k (L_e - L)^n$$

abnahmen'
velikosti

novnovadne (terminalne)
velikosti

$$(L > L_e)$$

kineticka'
konstanta

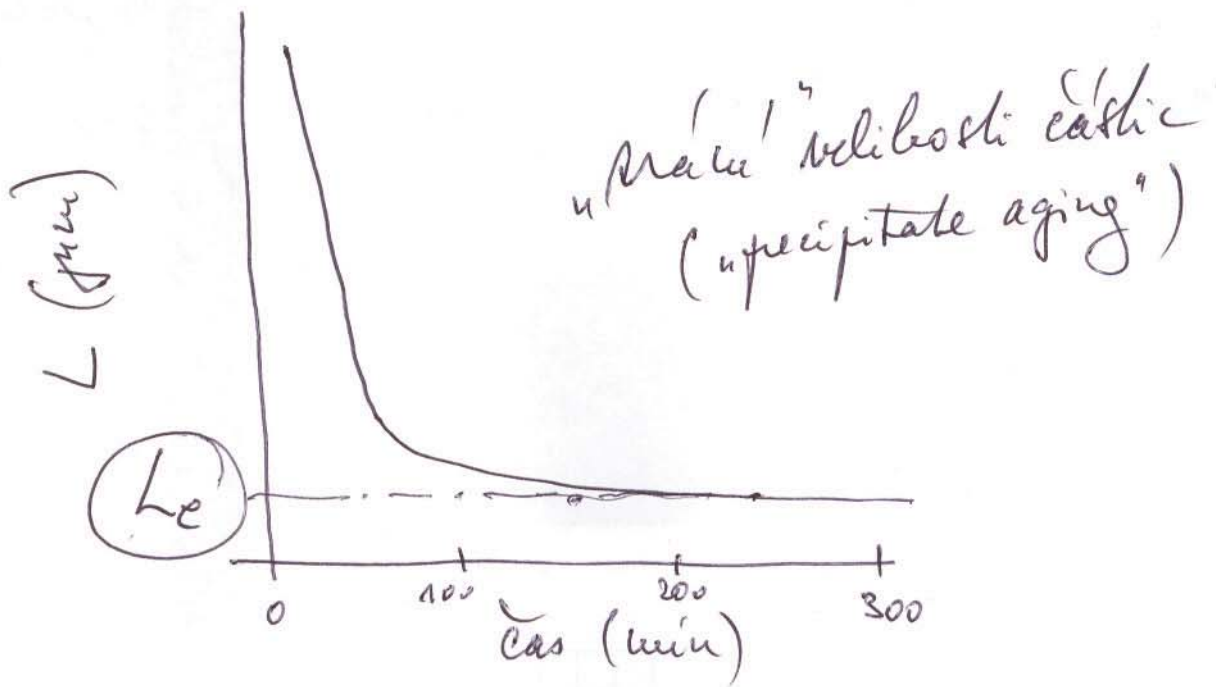
$$k = k(\tilde{f}, \phi) (\cdot)$$

$$\text{laminarne } L_e \sim \alpha \tilde{f}^{-0.14} \quad (2000 \text{s}^{-1} \leq \tilde{f} \leq 80000 \text{s}^{-1})$$

$$\text{turbulentu' } L_e \sim \alpha \tilde{f}^{-0.21} \quad (12 \text{s}^{-1} \leq \tilde{f} \leq 154 \text{s}^{-1})$$

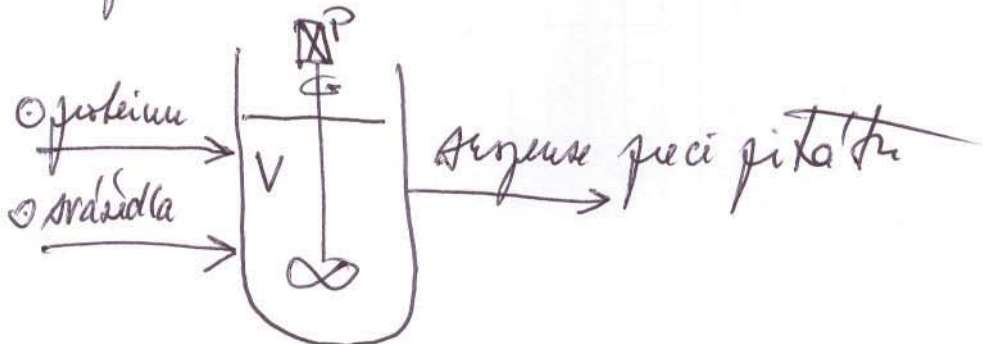
zne obrazu





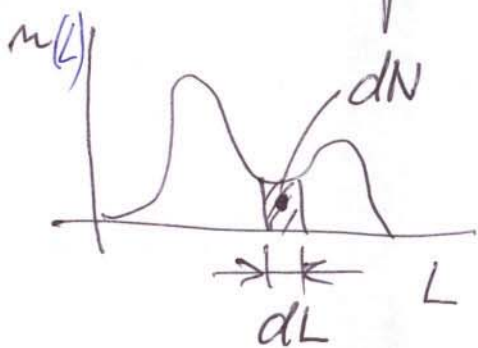
Distribuce velikosti čistic sraženiny (populační bilance)

- v jednotlivých čisticích N snášených použitých čistic v místě ústřední velikosti frakce (monodispersum)
- ve skutečnosti jsou sraženiny polydispersní
→ popis modelu velikosti čistic
- Vložky když nejsou již kontinuálně přihodují
precipitator (tj. dozadu ovládají sražení)



definice:

- hustota pravde podobnosti velikosti čistic



$$n(L) = \frac{dN}{dL}$$

$$\mu G = \frac{dN}{dt} \frac{dL}{dt}$$

$$\mu G = \frac{dN}{dt t}$$

$$dN = n(L) dL$$

$$N = \int_{L_1}^{L_2} n(L) dL$$

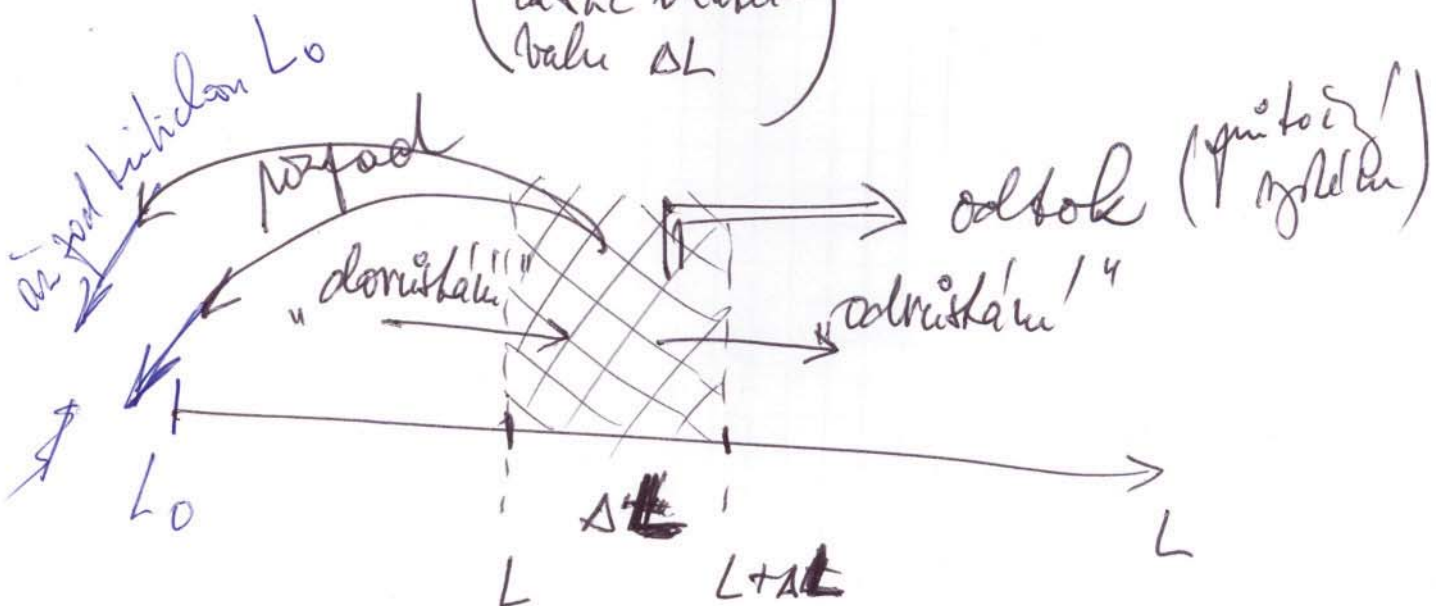
počet čistic v rozmezí $L_1 \dots L_2$

- lineární rychlosť rúška: $G = \frac{dL}{dt}$

► bilance počtu čistic dN ve velikostiach
intervalu $ΔL$:

$$\left(\begin{array}{l} \text{rychlosť} \\ \text{výroby} \end{array} \right) = \left(\begin{array}{l} \text{rychlosť} \\ \text{dorušenia} \end{array} \right) - \left(\begin{array}{l} \text{rychlosť} \\ \text{odstránenia} \end{array} \right) - \left(\begin{array}{l} \text{rychlosť} \\ \text{odberu} \end{array} \right) - \left(\begin{array}{l} \text{rychlosť} \\ \text{zrážiek} \end{array} \right) -$$

$$- \left(\begin{array}{l} \text{rychlosť} \\ \text{rozpadu} \\ \text{čistic v inter-} \\ \text{valu } ΔL \end{array} \right)$$



• ustálečná rada $\rightarrow \underline{\text{akumulace}} = 0$!

$$0 = \left(V \frac{dN}{dt} \right)_{\text{donut}, L} - \left(V \frac{dN}{dL} \right)_{\text{odrážecí}, L+AL} - \dot{Q} \Delta N - VB AL$$

\dot{Q} ... objemový průtok

V ... objem vzdél v řadce

předpokl. $\frac{dN}{dt} = MG$ (na definici $m = G$)

$$(VnG)_L - (VnG)_{L+AL} - \dot{Q} n AL - VB AL = 0$$

délka ΔL a maximální délka $\Delta L \rightarrow 0$:

$$\lim_{\Delta L \rightarrow 0} \frac{(VnG)_L - (VnG)_{L+AL}}{\Delta L} - \dot{Q} n - VB = 0$$

$$\frac{1}{V} \left| + V \frac{d(MG)}{dL} + \dot{Q} n + VB \right| = 0$$

$$\frac{d(MG)}{dL} + \frac{n}{\tau} + B = 0$$

pro řadu běžného proudu, tj. pro řadu $n(L)$,
pohybující se s G a B !

Pebenauke & Glatz

(17.)

$$G = \frac{dL}{dt} = K_0 L$$

$$B = K_1 \mu g^2 M L^3 = K_1 M L^3$$

dynamická viskozita

(?) řada dalších modelů!

zo dosazej!

$$\frac{d(n K_0 L)}{dL} + \frac{n}{\bar{\alpha}} + K_1 M L^3 = 0$$

zde je

$$\frac{K_0 L \frac{du}{dL}}{dL} + n K_0 + \frac{n}{\bar{\alpha}} + K_1 M L^3 = 0$$

$$K_0 L \frac{du}{dL} = -n \left(K_0 + \frac{1}{\bar{\alpha}} + K_1 L^3 \right)$$

$$\frac{dn}{n} = -dL \left(\frac{1}{L} + \frac{1}{K_0 \bar{\alpha}} + \frac{K_1 L^3}{K_0 L} \right)$$

$$\int_{m_0}^n \frac{dn}{n} = \int_{L_0}^L -dL \left(\frac{1 + \frac{1}{K_0 \bar{\alpha}}}{L} + \frac{K_1}{K_0} L^2 \right)$$

↑

$$\ln \frac{n}{n_0} = \left(-\ln \frac{L}{L_0} \right) \cdot \left(1 + \frac{1}{K_0 \bar{\alpha}} \right) - \frac{K_1}{3 K_0} (L^3 - L_0^3)$$

$$\frac{\mu}{\mu_0} = \left(\frac{L_0}{L}\right)^{1+\frac{1}{K_0\alpha}} \exp\left[-\frac{K_1}{3K_0}(L^3 - L_0^3)\right] \quad (18.)$$

L_0 ... kritische' величина, т.е. величина, при которой наше уравнение становится ненормальной!

